

Jahrestagung der Deutschen Bodenkundlichen Gesellschaft München, 5.-10. September 2015

Inhaltsverzeichnis

Organisation	5
Programmübersicht	6
Beteiligte Einrichtungen	12
Interne Sitzungen	14
Öffentliche Vortragsveranstaltung	15
Einladung Mitgliederversammlung	16
Tagungsorte der DBG seit 1950	17
Raumübersicht	18
Tagungsprogramm	
Vortragsprogramm am Montag, 7. September	20
Posterpräsentation am Montag. 7. September	34
Vortragsprogramm am Dienstag, 8. September	40
Vortragsprogramm am Mittwoch, 9. September	53
Posterpräsentation am Mittwoch, 9. September	66
Verzeichnis der Vorsitzenden und Referenten	78
Gesellschaftlicher Abend	94
Kunst und Boden	95
"Ressource Boden" - acatec-Tagung	96
Allgemeine Hinweise	97
Exkursionsprogramm - Übersicht	100
Exkursionsprogramm	101
Anmeldung zur DBG 2015	115
Sponsoren	119
	420

Organisation

Tagungspräsidenten

Prof. Dr. Jean Charles Munch, Helmholtz-Zentrum München Prof. Dr. Carola Küfmann, Ludwig-Maximilians-Universität Prof. Dr. Karl Auerswald, Technische Universität München

Gestaltung des Programms

Prof. Dr. Thomas Scholten, Prof. Dr. Hermann Jungkunst, Prof. Dr. Friederike Lang, Dr. Christian Ahl vokativ GmbH, Göttingen

Für Fragen zur Organisation wenden Sie sich bitte an: dbg-tagung2015@wzw.tum.de

Für Fragen zu den Exkursionen wenden Sie sich bitte an: dbg-exkursion2015@wzw.tum.de

Alle Informationen finden Sie auch auf der Tagungshomepage www.dbges.de in der Rubrik "Jahrestagung-2015".

Montag, 7. September 2015

Zeit	B052	B051	B006	B005
8.00-9.00	K I/1 Bodenphysik und Bodenhydrologie	K II AG Waldböden Klimawandel	K IV AG Bodengase Upscaling	K VI Bodenfunktions- bewertungen
9.00-10.00	(V1–V6)	(V7–V12)	(V13–V18)	(V19–V24)
10.00-10.30				
10.30-11.30	K I/1 Bodenphysik und Bodenhydrologie	K II AG Bodengase Bodengasumsatz	K VII Bodenmineral- phase	K V AG Bodengase Bodengase
11.30-12.30	(V37–V42)	(V43–V48)	(V49–V54)	(V55–V60)
12.30-13.30				
13.30-14.30	K I/2 Messmethoden und Modelle	K IV AG Isotope in der Bodenkunde Isotope	K III Funktion und Diversitäten von	K VI Bodenerosion und Bodenschadverdichtung
14.30-15.30	(V72–V77)	(V78–V83)	Bodenorganismen (V84–V89)	(V90–V95)
15.30-16.00				
16.00-17.00	K I/2 K VII Messmetho- den und Modelle (V114–V115)	K IV Biogeochemische Modelle (V116–V117)	K III Funktion und Diversität von Bodenschadverdichtung (V118–V119)	K VI Bodenerosion und Bodenschadverdichtung (V120–V122)
17.00-18.00		Posterpräsentationen		
18.00-19.00		,		

17.00-19.00 Uhr POSTERAUSSTELLUNG

K I/1 K I/2	Bodenphysik und Bodenhydrologie Messmethoden und Modelle	(P1–P9) (P10–P15)
K I/3	System Boden-Pflanze-Atmosphäre	(P16–P24)
K I/4	Bodengefüge	(P25–P29)
K I/5	Bildgebende Verfahren	(P226–P230)
KII	OBS und kohleartige Substanzen	(P30–P41)
KIII	Bodengase-Pflanzen Interaktionen	(P42–P58)

B139	B138	B41	Zeit
K V Bodengenetik, Bo- densystematik, Boden- klassifikation	K II Transformation OBS (V31–V36)		8.00-9.00
(V25–V30)	(V31-V30)		9.00-10.00
			10.00-10.30
K V AG Paläoböden	K II DOM		10.30-11.30
(V61–V65)	(V66–V71)		11.30-12.30
			12.30-13.30
K V AG DSM Digital Soil Mapping	K II Biochemische Prozesse	K II AG Waldböden Molekulare Marker	13.30-14.30
(V96–V101)	(V102–V107)	(V108–V113)	14.30-15.30
			15.30-16.00
KV AG DSM Proximal Soil Sensing (V123–V125)	K II Biochemische Prozesse (V126–V128)	K II AG Waldböden Molekulare Marker (V129–V131)	16.00-17.00
Posterpräsentationen			17.00-18.00
	rosterproserrationen		18.00-19.00

KIV	AG Isotope in der Bodenkunde Isotope	(P59–P64)
KIV	Terrestrisch-aquatische Kopplungen	(P65–P69)
KIV	AG Bodengase Freie Themen	(P70–P86)
K IV/1 K II	Landwirtschaft und OBS	(P87-P100)
K IV/2	Energiepflanzenanbau)	(P101–P106
K IV u. K II	Landnutzung, Klima, Nährstoffhaushalt	(P107–P113)

Vorträge

Poster

Sonstige

Dienstag, 8. September 2015

Zeit	B052	B051	B006	B005
8.00-9.00	K I/3 System Boden-Pflanze-	K IV/1 K II Landwirt- schaft und OBS	K VIII D-F Symposium "Browndfields"	K VI Freie Themen
9.00-10.00	Atmosphäre (V132–137)	(V138–V143)	(V144–V148)	(V149–V154)
10.00-10.30	,			
10.30-11.30	K I/4 Bodengefüge	K IV/1 K II Landwirt- schaft und OBS	K VIII D-F Symposium "Böden und Klima"	K VI Bodenfunktions- bewertungen
11.30-12.30	(V167–V172)	(V173–V178)	" (V179–V183)	(V184–V189)
12.30-13.30				
13.30-14.30				
14.30-15.30				
15.30-16.00				
16.00-17.00				
17.00-18.00				
18.00-19.00				
ab 20.00		ab 20 Uhr: Gesellschaftsabend		

B139	B138	C 123, Theresienstr. 41	Zeit
K V AG Boden und Achäologie Freie	K II Black Carbon		8.00-9.00
Themen (V155–V160)	(V161–V166)		9.00-10.00
			10.00-10.30
K V AGs Humus- formen/ Bodengase	K II Black Carbon		10.30-11.30
Organische Böden (V190–V195)	(V196–V201)		11.30-12.30
			12.30-13.30
		Öffentliche Vortrags-	13.30-14.30
		veranstaltung	14.30-15.30
		Mitglieder-	15.30-16.00
		versammlung	16.00-17.00
			17.00-18.00
			18.00-19.00
	ab 20 Uhr: Gesellschaftsabend		ab 20.00

Vorträge

Poster

Sonstige

Mittwoch, 9. September 2015

Zeit	B052	B051	В006
8.00-9.00	organismen – Pflanzen	K IV KII Landnutzung, Klima,	K VI Böden im urbanen Raum
9.00-10.00	Interaktionen (V202–207)	Nährstoffhaushalt (V208–V213)	(V214–V219)
10.00-10.30	, , , , , , , , , , , , , , , , , , ,		
10.30-11.30	organismen – Pflanzen	K IV K II Landnutzung, Klima,	
11.30-12.30	Interaktionen (V238–V243)	Nährstoffhaushalt (V244–V249)	(V250–255)
12.30-13.30			
13.30-14.30	K I Bildgebende Verfahren	K II Waldböden Bewirtschaftungsmaß-	K V Bodenschätzung und Boden-
14.30-15.30		nahmen (V278–V283)	bewertuung (V284–V289)
15.30-16.00			
16.00-17.00		K II AG Waldböden Bewirtschaftungsmaß- nahmen (V308–V310)	K II Nährstoffe in Bö- den (V311–V313)
17.00-18.00		Posterpräse	entationen
18.00-19.00		- Tosterprast	Entadonen

17.00-19.00 Uhr POSTERAUSSTELLUNG

K II K II	AG Waldböden Molekulare Marker AG Waldböden P-Status von Waldböden	(P114–P117) (P118–P131)
ΚII	AG Waldböden Klimawandel	(P132–P136)
ΚII	Nährstoffe in Böden	(P137–P141)
ΚII	Nanopartikel und Xenobiotika	(P142–P151)
ΚII	Schwermetalle	(P152–P155)
K III	Freie Themen	(P156–P168)
KIII	AG Humusformen Freie Themen	(P169–P171)

B005	B139	B138	Zeit
K VIII Freie Themen	K II Schwermetalle	K II P-Status Waldböden	8.00-9.00
(V220–V225)	(V226–V231)	(V232–V237)	9.00-10.00
			10.00-10.30
K VIII AG Geschichte der Bodenkunde	K II Organische Schadstoffe	K II P-Status Waldböden	10.30-11.30
Freie Themen (V256–V259)	(V260–V265)	(V266–V271)	11.30-12.30
			12.30-13.30
K IV/2 Energiepflanze- nanbau	K III Freie Themen	K II Nanopartikel und Kolloide	13.30-14.30
(V290–V295)	(V296–V301)	(V302–V307)	14.30-15.30
			15.30-16.00
bis 17.20 Uhr: K V AG Urbane Böden Freie Themen (V314–V317)	bis 17.20 Uhr: K V AG Urbane Böden Bodenbe- wertung (V318–V321)	K VIII AG Boden in Lehre und Unterricht Freie Themen (V322–V324)	16.00-17.00
Doctorpräsontationen			17.00-18.00
	Posterpräsentationen – – – – – – – – – – – – – – – – – –		18.00-19.00

ΚV	AG Boden und Archäologie Freie Themen	(P172–P181)
ΚV	AG Bodensystematik Freie Themen	(P182-P190)
ΚV	AG DSM Freie Themen	(P191-P203)
ΚV	AG Paläopedologie Freie Themen	(P204–P206)
ΚV	AG Urbane Böden Freie Themen	(P207-P208)
K VI	Böden im urbanen Raum	(P209–P210)
K VI	Freie Themen	(P211–P218)
K VI	Bodenerosion und BodenschadverdichtungK I/V	(P219–P225)

Vorträge

Poster

Sonstige

Beteiligte Einrichtungen

Beteiligte Einrichtungen

Die DBG-Jahrestagung 2015 wird organisiert und durchgeführt von der Deutschen Bodenkundlichen Gesellschaft

in Zusammenarbeit mit

- dem Institut für Bodenökologie des Helmholtz-Zentrums München,
- dem Department für Geographie und Landschaftsökologie der Ludwig-Maximilians-Universität München,
- dem Lehrstuhl für Grünlandlehre der Technischen Universität München

unter Schirmherrschaft der

Staatsministerin Ulrike Scharf, Bayerisches Staatsministerium für Umwelt und Verbraucherschutz.

Die Veranstalter bedanken sich herzlich bei den folgenden Institutionen und deren Mitarbeiterinnen und Mitarbeitern, die sich an der Vorbereitung und Durchführung des Exkursionsund Tagungsprogramms beteiligt haben und beteiligen werden:

- Österreichische Agentur für Gesundheit und Ernährungssicherheit GmbH
- Bayerische Landesanstalt für Landwirtschaft, Institut für Agrarökologie
- Bayerische Landesanstalt für Wald und Forst Abteilung Boden und Klima
- Bayerisches Landesamt für Steuern
- Bayerisches Landesamt für Umwelt
- Deutscher Wetterdienst
- Geologischer Dienst Nordrhein-Westfalen
- Hochschule Weihenstephan-Triesdorf, Fachgebiete Vegetationsökologie, Botanik und Vegetationskunde und Forstliche Bodenkunde
- Karlsruhe Institute for Technology, Institut für Meteorologie und Klimaforschung
- Landesamt für Bergbau, Geologie und Rohstoffe Brandenburg
- Österreichische Bodenkundliche Gesellschaft
- Technische Universität Graz, Institut für Angewandte Geowissenschaften
- Technische Universität München, Professur Waldernährung und Wasserhaushalt sowie Lehrstühle für Aquatische Systembiologie, Bodenkunde, Pflanzenernährung, Ökophysiologie der Pflanzen, Renaturierungsökologie, Waldwachstumskunde

Beteiligte Einrichtungen

- Universität Augsburg, Institut für Geographie
- Universität Bern, Geographisches Institut
- Universität Erlangen-Nürnberg, Institut für Geographie
- Universität für Bodenkultur, Wien
- Universität Graz, Institut für Raumforschung
- Universität Hohenheim, Institut für Bodenkunde und Standortlehre und Fachgebiet Landschaftsökologie und Vegetationskunde
- Universität Tübingen, Lehrstuhl für Bodenkunde und Geomorphologie

Die Tagungsorganisatoren bedanken sich außerdem

- bei allen beteiligten Mitarbeiterinnen und Mitarbeitern des Instituts für Bodenökologie am Helmholtz Zentrum München, des Departments für Landschaftsökologie und Geographie, des Lehrstuhls für Grünlandlehre
- bei der Direktion und der Abteilung Kommunikation des Helmholtz-Zentrums München, den Verwaltungen der Ludwig-Maximilians-Universität München und der Technischen Universität München
- bei allen Sponsoren und Unterstützern

Interne Sitzungen

Interne Sitzungen des Vorstandes, der Kommissionen und Arbeitsgruppen, der ABo und den Young Professionals in Soil Science (YPSS)

Alle Sitzungen bis auf die Vorstandssitzung finden in den Räumen Theresienstr. 37 – 41 statt.

Vorstand DBG

Sonntag, 6. September, 18:00 – 20:00, (Luisenstr. 37, 2. Stock 335a)

Kommission I

Montag, 7. September, 16:40 – 17:00, B052

Kommission II

Montag, 7. September, 17:00 - 17:30, B051

Kommission III

Montag, 7. September, 16:40 – 17:00, B006

Kommission IV

Montag, 7. September, 16:40 – 17:00 Uhr, B051

Kommission V /mit Wahlen/

Montag, 7. September, 18:30 – 19:30 Uhr, B005

Kommission VI

Montag, 7. September, 18:30 – 19:00 Uhr, B138

Kommission VII

Montag, 7. September, 18:30 - 19:30 Uhr, B006

Arbeitsgruppe "Boden und Archäologie"

Dienstag, 8. September, 10:30 – 11:30 Uhr, B041

Kommission VIII

Mittwoch, 9. September, 11:15 – 12:00 Uhr, B005

Arbeitsgruppe "Geschichte der Bodenkunde"

Mittwoch, 9. September, 12:00 - 13:00 Uhr, B005

ABo Aktionsplattform Bodenschutz

Montag, 7. September, 18:30 - 19:30 Uhr, B041

YPSS

Montag, 7. September, 18:30 – 21:00 Uhr, B040

Öffentliche Vortragsveranstaltung

Öffentliche Vortragsveranstaltung

Dienstag, 8. September, 13:30-15:15 Uhr, Hörsaal C 123, Theresienstr. 41

Grußworte

Ministerialdirigent Prof. Dr.-Ing. Martin Grambow Bayerisches Staatsministerium für Umwelt und Verbraucherschutz

Jean-Claude Brunet, Consul Général de France en Bavière

Prof. Prof. h.c. Dr. Dr. h.c. Rainer Horn Präsident der 'International Union of Soil Science IUSS'

Dr. Jes Weigelt Koordinator des Global Soil Forums Institute for Advanced Sustainability Studies IASS, Potsdam

Verleihung der Ramann-Medaille

Verleihung des Fritz-Scheffer-Preises

Verleihung der Wiley-Poster-Preise

Festvortrag

"Soil monitoring at regional and national levels in France"

Prof. Dr. Christian Walter

Vice President of the French Association of Soil Science, Agrocampus Ouest, Rennes, France

Dominique Arrouays

President of the French Association of Soil Science, INRA, Orléans, France

The anthropogenic pressure on soils and resulting degradation processes were neglected in France until the end of the 20th century and therefore soil studies concentrated mainly on spatial variability. The presentation will introduce the approaches developed in France since twenty years in order to monitor soil quality changes over time at national and regional levels. The focus will be put on the soil quality monitoring network and on the national soil test database which provided critical baseline information on the current status of the soil resources and their evolution over last decades. The limits of the existing program will also be highlighted and improvement suggested.

Mitgliederversammlung der DBG

Einladung

8. September 2013, 15:30-17:00 Uhr, Hörsaal C 123, Theresienstr. 41

Hiermit lade ich gemäß § 16 (Abs. 1) der Satzung der Deutschen Bodenkundlichen Gesellschaft die nach § 3 und § 4 stimmberechtigten Mitglieder der DBG zur Mitgliederversammlung nach München ein.

Tagesordnung1:

- 1. Eröffnung der Versammlung und Genehmigung der Tagesordnung
- 2 Bericht des Präsidenten.
- 3 Berichte
- 3.1 Bericht des Geschäftsführers
- 3.2 Bericht der Kassenprüfer
- 3.3 Feststellung der Jahresrechnungen 2013 und 2014
- 3.4 Entlastung des Geschäftsführers
- 3.5 Entlastung des Vorstandes
- 4. Satzungsänderungen
- 4.1 Antrag Gerd Wessolek "Tagungsgäste"
- 4.2 Satzungsänderung § 2 gem. Auflagen FA Göttingen
- 5 Wahlen
- 5.1 Wahl der Kassenprüfer 2015 und 2016
- 5.2 Bekanntgabe der Wahlen aus den Kommissionen
- 5.3 Bekanntgabe der Wahlen zum Amt der Vizepräsidenten
- 5.4 Wahl des Präsidenten
- 6. Ehrungen
- 7. Jahrestagungen der DBG in 2017 und 2019
- 8 Verschiedenes

Thomas Scholten, Präsident der DBG

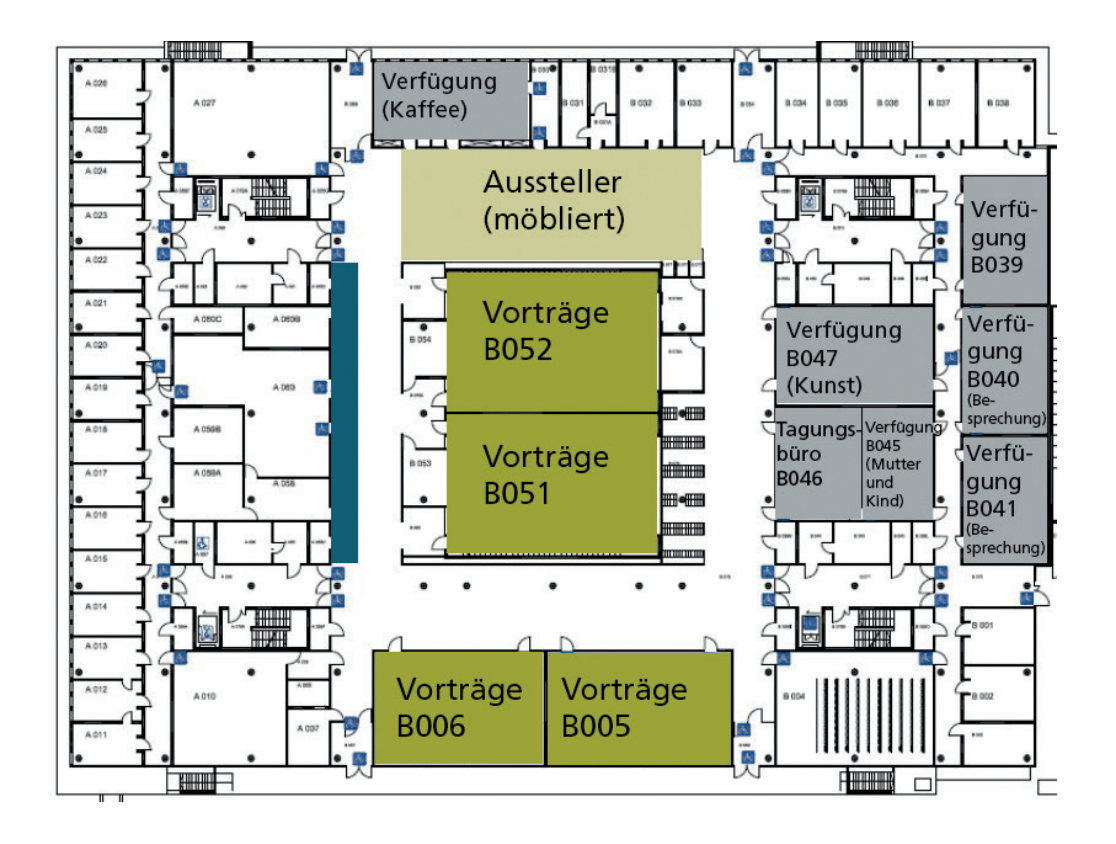
¹ Bitte beachten Sie, dass zu den Tagesordnungspunkten zusätzlich in den Nachrichten der DBG (Grüne Blätter 34/1) Informationen abgedruckt sind. Diese sind Bestandteil der Einladung.

Tagungsorte der DBG seit 1950

Jahr	Ort	Tagungspräsident
1950	München	Krauss
1951	Kiel	Laatsch
1952	Bad Kreuznach	Bosse
1953	Bonn	Mückenhausen
1954	Freiburg	Ganssen
1955	Göttingen	Scheffer/Wittich
1957	Bremen	Baden
1958	IBG Kom. Hamburg	Hartge
1959	Berlin	Ehwald
1961	Wien	Franz
1963	Würzburg	Freiberg
1965	Aachen	Mückenhausen
1967	Mainz	Stöhr
1969	Hannover	Schachtschabel
1971	Hohenheim/IBG–Kom.	Schlichting
1371	u. Deutschland–Exk	Sermenting
1973	Giessen	Schönhals
1975	Regensburg	Wittman
1977	Bremen	Kuntze
1979	Freiburg	Zöttl
1981	Berlin	Blume
1983	Trier	Schröder/Richter
1985	Göttingen	Meyer/Ulrich
1986	IBG-Tagung Hamburg	Hartge
1987	Hohenheim	Schlichting
1989	Münster	Schreiber
1991	Bayreuth	Zech/Kögel-Knabner/
1331	Bayreatti	Kaupenjohann
1993	Kiel	Blume
1995	Halle	Altermann
1997	Konstanz	Stahr
1999	Hannover	Fischer/Böttcher
2001	Wien	Gerzabek
2003	Frankfurt/Oder	Frielinghaus
2005	Marburg/Gießen	Felix-Henningsen/Opp
2007	Tharandt/Dresden	Makeschin
2009	Bonn/Jülich	Amelung/Vereeken
2011	Berlin/Potsdam	Kaupenjohann/Hüttl
2013	Rostock	Leinweber
2015	München	Munch/Küfmann/Auerswald
2017	Göttingen	Kuzyakov
	y -	. 9

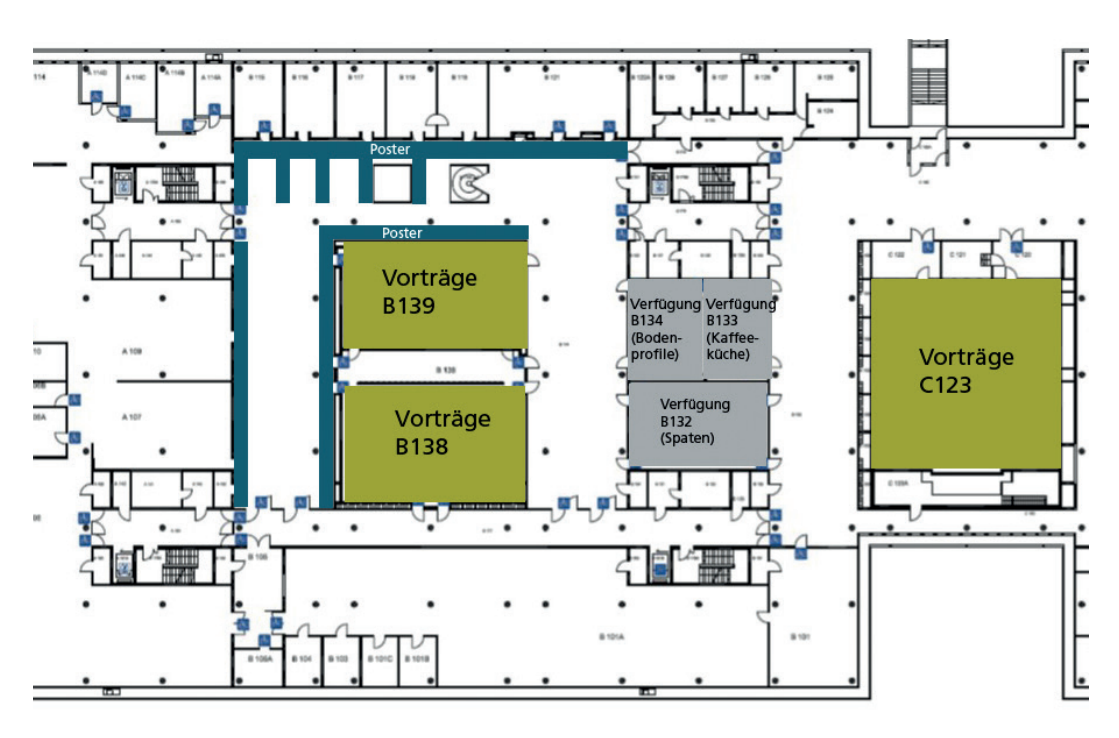
Raumübersicht

Theresienstraße 37-41, EG



Raumübersicht

Theresienstraße 37-41, 1. OG



Vorträge

Aussteller

Poster

Verfügung

Montag, 7. September 2015

K I/1 Bodenphysikalische und -hydro	logische Prozesse
-------------------------------------	-------------------

8:00-10:00 Uhr B052

Vorsitz: Horst Gerke

V1 Auswirkung der K-Düngungsintensität sowie des Matrixpotenzials auf die Mikrostabilität strukturierter Oberböden

P. Heibach, D. Holthusen, R. Horn

V2 Determination of quantitative pore size distributions of soils with ¹H-NMR Relaxometry

M. Meyer, C. Buchmann, G. E. Schaumann

- V3 Branntkalk zur Strukturmelioration von geschüttetem Boden -Auswirkungen auf Bodenstruktur, Wasser- und Gashaushalt S. Filser, A. Mordhorst, I. Zimmermann, H. Fleige, R. Horn
- V4 Structural stability of a silty sand soil as affected by polymer hydrogel and moisture dynamics

C. Buchmann, J. Bentz, G. E. Schaumann

V5 Effekte unterschiedlicher landwirtschaftlicher Anbausysteme auf die standörtlichen Bodeneigenschaften in der südwestsibirischen Kulundasteppe

P. Illiger, G. Schmidt, E. Stephan, T. Plutalova, D. Balykin, M. Frühauf

V6 Redistributed water by saprotrophic fungi triggers carbon mineralization in dry soils

A. Guhr, W. Borken, E. Matzner

K II AG Waldböden Waldböden im Klimawandel

8:00-10:00 Uhr B051

Vorsitz: Jörg Prietzel

V7 Baumwachstumsreaktionen auf Trockenheit an den Punkten der Bodenzustandeserhebung

H. Puhlmann, K. von Wilpert

V8 Kohlenstoffspeicherung im Waldboden in Abhängigkeit von Waldkalkung, Substrat, Bestand, Bodenbearbeitung und Flugasche

J. Evers, U. Paar, N. König, E. Schönfelder, J. Eichhorn

V9 Welche Unsicherheiten resultieren aus der Berechnung der nutzbaren Feldkapazität auf Basis aggregierter Leitprofile?

R. Benning, R. Petzold

V10 Klassifikation oder Kontinuum: Bodenmerkmale in herkömmlichen feldbodenkundlichen Klassifikationssystemen und neuartigen physiographischen Standortsinformationssystemen

T. Mette, S. Osenstetter, W. Falk, S. Brandl, C. Kölling

V11 Regionalisierung von Bodendaten für Deutschland - Datenbasis, Zielgrössen, Modellgüte

K. von Wilpert, D. Zirlewagen, H. Puhlmann

V12 Harmonisierung und Bewertung geschätzter Feinwurzelverteilungen in Waldböden (BZE2)

P. Hartmann, K. H. von Wilpert

K IV AG Bodengase Regionalisierung und upscaling

8:00-10:00 Uhr B006

Vorsitz: Roland Fuß

V13 Quantifizierung der Variabilität von Gasdiffusivitäten in Böden mittels Skalierung

J. Böttcher, E. Jeitler, E. Dupliy, M. Fér, A. Schwen

- V14 Ermittlung langjähriger CO₂-Emissionen und Beurteilung der Moore Oberschwabens auf Basis historischer und aktueller Höhennivellements

 W. Weinzierl. F. Waldmann
- V15 Räumlich explizite Abbildung oberirdischer Phytomasse und C-Exporte in kleinräumig sehr heterogenen Bodenlandschaften erste Ergebnisse UAV-basierter Fernerkundung im CarboZALF-D

 M. Wehrhan, M. Sommer
- V16 Einfluss von Raps auf den Bodenkohlenstoffhaushalt
 A. M. Moffat, V. Huth, C. Brümmer, M. Herbst, M. Andres, J. Augustin
- V17 The negative CO₂ emission in calcareous desert soils in the northwestern China-the history and experimental results

 X. Zhao, C. Zhao, Y. Yu. K. Stahr, Y. Kuzvakov
- V18 Regionalisierung der THG-Emissionen von Ackerstandorten auf organischen Böden

B. Tiemeyer, E. Albiac Borraz, J. Augustin, M. Bechtold, S. Beetz, J. C. Beyer, M. Drösler, M. Ebli, T. Eickenscheidt, S. Fiedler, A. Freibauer, M. Giebels, S. Glatzel, M. Hoffmann, H. Höper, K. Leiber-Sauheitl, M. Peichl-Brak, N. Rosskopf, M. Sommer, J. Zeitz



K VI Bodenfunktionsbewertungen

8:00-10:00 Uhr B005 Vorsitz: Volker Hennings

V19 Ableitung von Kennwerten des Bodenwasserhaushaltes und Vergleich mit gemessenen Wassergehaltsverläufen unter Feldbedingungen

R. Beisecker, C. Piegholdt, F. Helbing

V20 Validierung von Pedotransferfunktionen für Wasserretentions- und Leitfähigkeitskurven von Waldböden

P. Schmidt-Walter, H. Puhlmann, S. Fleck, K. von Wilpert, H. Meesenburg

V21 Bodenfunktionsbewertung und bodenkundlicher Kompensationsbedarf bei Baumaßnahmen in Hessen und Rheinland-Pfalz

R. Miller, S. Sauer, T. Vorderbrügge

- V22 Satellitenbildanalyse zur Ableitung von Bodenbeckungsgraden und zeitlich-dynamischen Modellierung von Bodenerosionsrisiken

 M. Möller, D. Wurbs, H. Gerstmann
- V23 Erosionsgefährdungskarten für Deutschland Auf dem Weg zur aktuellen Gefährdungsanalyse

 J. Bug, K. Kruse, W. Stolz
- V24 Auswirkungen von Bodenbearbeitungsintensität und Kompost auf bodenphysikalische Eigenschaften

D. Uteau Puschmann, F. Barth, M. Finckh, S. Peth

K V Bodengenetik, Bodensystematik und Bodenklassifikation

8:00-10:00 Uhr B139 Vorsitz: Einar Eberhardt

V25 Die dritte Auflage des internationalen Bodenklassifikationssystems WRB, 2014

P. Schad

V26 Ein neues Konzept zur Genese von Marschböden an der Deutschen Nordseeküste

S. Witte, L. Giani

V27 Die Böden der Niedersächsischen Marsch Grundprinzipien der Sediment- und Bodengenese und die Darstellung in der BK50 von Niedersachsen

E. Gehrt, L. Giani, M. Henscher, R. Eilers

V28 Eigenschaften, Verbreitung und Nutzungspotenzial von Böden einer Hochgebirgsregion im Kaukasus NE-Georgiens
T. Hanauer, B. Vashev, B. Kalandaze, Q. Gogidze, C. Pohlenz, T. Urushadze, P. Felix-Henningsen

V29 Soils and vegetation development on abandoned vineyards of the Tokaj Nagy-Hill, Hungary

T. J. Novák, M. Spohn, J. Incze , L. Giani

V30 Systematische Gliederung der Böden Mitteleuropas - Statusbericht G. Milhert

K II Transformation der organischen Bodensubstanz und Reaktion mit natürlichen und synthetischen Stoffen

8:00-10:00 Uhr B138

Vorsitz: Klaus Kaiser

- V31 Einfluss extrem hoher Kohlenstoffgaben auf die Eigenschaften eines tropischen Andosols im ecuadorianischen Amazonasbecken

 A. Zieger, S. Machel, M. Mai, M. Kaupenjohann
- V32 Stabilisierung organischer Bodensubstanz in Agrarböden anhand eines Langzeitversuchs mit Kompost- und Mistdüngung
 L. Paetsch, C. W. Mueller, C. Rumpel, S. Houot, I. Kögel-Knabner
- V33 Einfluss mineralogischer Eigenschaften auf die Menge und Stabilität sequentiell extrahierter Fraktionen der organischen Substanz von Waldoberböden

M. Kaiser, D. P. Zederer, R. H. Ellerbrock, M. Sommer, B. Ludwig

V34 The combined effect of soil pH and measuring temperature on wetting behavior of a natural water repellent soil

A. S. Amer, D. Diehl, G. E. Schaumann

- V35 Interaction of organic chemicals with crystalline soil aliphatic domains *P. Ondruch, A. Jäger, M. Bertmer, J. Kucerik, G. E. Schaumann*
- V36 Interpretation von DRIFT Spektren zur Charakterisierung der organischen Bodensubstanz intakter Gefügeoberflächen
 R. Ellerbrock, M. Leue, H. H. Gerke

To some state of the state of t

K I/1 Bodenphysikalische und -hydrologische Prozesse

10:30-12:30 Uhr B052

Vorsitz: Sascha Iden

- V37 Ein neuer Ansatz für die in situ Bestimmung der Wasserretentionseigenschaften von Böden mit oberflächennahem Grundwasser U. Dettmann, M. Bechtold
- V38 Inverse und vorhersagende Modellierung von dynamischem Ungleichgewicht in der Bodenwasserbewegung

 B. Scharnagl, S. Schlüter, H. J. Vogel
- V39 Wechselwirkung zwischen Vegetationsstruktur und Bodenwasserhaushalt von Savannenstandorten Zentralnamibias

A. Gröngröft

- V40 Modelling root exploration of biopores in soil
 A. Schnepf, K. Huber, G. Bengough, J. Vanderborght, M. Javaux, M. Landl,
 H. Vereecken
- V41 Modellierung von 3D Sedimentverteilungen für die Abschätzung des Einflusses initialer Strukturen auf die Einzugsgebietshydrologie

 T. Maurer, C. Hinz, H. Gerke
- V42 Die Bedeutung unterschiedlicher sommerlicher Auftaumächtigkeiten für Aggregierung und Kohlenstoffstabilisierung in Permafrostböden Nordsibiriens

I. Haase, A. Evgrafova, S. Spielvogel, N. Tananaev, O. Shibistova, P. Kühn, G. Guggenberger, L. Sauheitl

K III AG Bodengase Biologische Steuerung des Bodengasumsatzes

10:30-12:30 Uhr B051

Vorsitz: Sven Marhan

V43 Influence of organic and conventional fertilization history on microbial N₂O production and reduction pathways

H. Krause, R. Well, C. Thonar, A. Kappler, S. Behrens, P. Maeder, A. Gattinger

- V44 Effekt von N-Düngung und DMPP auf Spurengase sowie Enzymaktivität und Genkopien von Nitrifikanten und Denitrifikanten
 - I. Guzman-Bustamante, R. Schulz, R. Hähndel, T. Müller, I. Claß-Mahler, J. Harter, S. Behrens. R. Ruser
- V45 Regenwürmer steuern Lachgas-Emissionen während der Streuzersetzung in Abhängigkeit von der Bodentextur
 - Q. Schorpp, C. Riggers, D. Lewicka-Szczebak, A. Giesemann, R. Well, S. Schrader

- V46 Unterschiedliche Effekte von Biochar und erhöhter Bodentemperatur auf die CO₂-, N₂O- und CH₄-Emissionen eines Ackerbodens
 C. Bamminger, C. Poll, S. Marhan
- V47 Methanfreisetzung aus Böden: Beeinflussung potentieller Produktionsraten, in situ Freisetzung und beteiligter Mikroorganismen durch die Beweidung mit Wiederkäuern

 P. Illmer. E. Prem. M. Mutschlechner. N. Praea
- V48 Substrat-induzierte Atmung und Priming-Effekte in Abhängigkeit von C-, N- und P-Limitierung
 N. Meyer, L. Bornemann, G. Welp, C. Martius, A. Rodionov, W. Amelung

K VII Die Bodenmineralphase: Genese, Eigenschaften und Einfluss auf Stoffumsatzprozesse

10:30-12:30 Uhr B006 Vorsitz: Robert Mikutta

V49 Organic matter controls re-distribution of Fe oxides in soils subjected to submersion

P. Winkler, C. Cerli, S. Fiedler, R. Jahn, K. Kalbitz, K. Kaiser

- V50 Charakterisierung des Redox-Milieus in Böden durch Manganoxid- und Eisenoxid-beschichtete Redox-Stäbe

 K. Dorau. M. Eickmeier. T. Mansfeldt
- V51 Einfluss der Tonmineralbelegung auf die Sorption hydrophober organischer Schadstoffe am Beispiel von Hexachlorbenzol

 L. Böhm, B. Heyde, R. A. Düring
- V52 Slowing of desilication of soils by formation of phytoliths S. Dultz. M. N. Nauven
- V53 Interaktionen zwischen Bodenmineralen und Bakterienzellen und deren Auswirkung auf die Benetzbarkeit von Bodenpartikeln

 A. Miltner, J. Achtenhagen, M. O. Göbel, S. K. Woche, J. Bachmann, M. Kästner
- V54 Mechanisms of carbon-nutrient trading in mycorrhizal symbioses and consequences for carbon sequestration in soils

 A. Andrino, C. Schneider, J. Boy, G. Guggenberger



K IV AG Bodengase Produktion, Freisetzung und Transport

10:30-12:30 Uhr B005 Vorsitz: Sabine Fiedler

- V55 2-dimensionale Muster des Gasdiffusionskoeffizienten und der Methankonsumption in einem Waldbodenprofil während einer niederschlagsfreien Phase M. Maier. H. Schack-Kirchner. F. Lang
- V56 Steuerfaktoren für die Umsetzung der organischen Bodensubstanz in Unterböden

 P. Dletrich, A. Don, M. Helfrich, H. Flessa
- V57 In Niedermooren Südwestdeutschlands hängen Grundwasserspiegel und Bodensauerstoff nicht unmittelbar zusammen

 J. E. Dickopp, A. Lengerer, M. Werth, M. Kazda
- V58 Is the greenhouse gas balance of a drained fen peatland mainly controlled by the soil organic carbon content or the land-use?

 T. Eickenscheidt, J. Heinichen, M. Drösler
- V59 Reed-induced seasonal and diurnal patterns of CH₄ and CO₂ fluxes from a fen in South-West Germany

 M. van den Berg, J. Ingwersen, T. Streck
- V60 Möglichkeiten zur Minderung der N₂O-Freisetzung im Gemüsebau R. Ruser, R. Schulz, H. Pfab, P. Seiz, M. Armbruster, F. Wiesler, T. Müller

K V AG Paläopedologie

10:30-12:30 Uhr B139 Vorsitz: Heinrich Thiemeyer

- V61 Was eine Bodenchronosequenz erzählt und was sie verschweigt ein Beispiel aus Süditalien
 - D. Sauer, R. Al-Sharif, S. Wagner, F. Scarciglia, H. Brückner, E. Eckmeier, K. Stahr
- V62 Tief wurzelnde Pflanzen erschliessen fruchtbare begrabene Böden und nutzen diese als Nährstoffquelle in ehemaligen Plaggen-Esch-Standorten M. Gocke, F. Kessler, J. van Mourik, B. Jansen, G. L. Wiesenberg
- V63 A multi-proxy analysis of two loess-paleosol sequences in the Northern Harz Foreland
 - L. Krauß, J. Zens, C. Zeeden, F. Lehmkuhl
- V64 Polygenetische Paläoböden in den Lössen um Krems, Niederösterreich: Prozesse, Chronologie, Paläoklima

T. Sprafke, C. Thiel, B. Terhorst, R. Peticzka, S. Sedov

Montag

Tagungsprogramm

V65 120.000 Jahre Brand-, und Vegetationsgeschichte der Eifel - Klimarekonstruktion mit Lignin und Black Carbon

A. Kappenberg, N. Conze, F. Sirocko , E. Lehndorff, W. Amelung

K II Gelöste organische Substanz (DOM) in Böden verbindet Ober- und Unterboden sowie terrestrische und aquatische Ökosysteme

10:30-12:30 Uhr B138 Vorsitz: Karsten Kalbitz

- V66 C_{org}-Gehalte stark gestörter organischer Böden beeinflussen die DOM-Qualität stärker als die DOC-Konzentrationen
 S. Frank, M. Bechtold, B. Tiemever, A. Lücke, R. Bol
- V67 Einfluss von Landnutzungsintensität auf die Freisetzung und Zusammen-
- setzung von DOM aus Wlad- und Grünlandflächen

 L. Thieme, S. Bischoff, M. T. Schwarz, B. Michalzik, W. Wilcke, J. Siemens
- V68 Aphid infestation affecting the biogeochemistry of European beech saplings

B. Michalzik, D. F. Levia, S. Bischoff, K. Näthe

- V69 Einfluss von kleinskaligen Unterschieden im Fließverhalten auf die Qualität und Quantität der Verlagerung von DOC in den Unterboden T. Leinemann, R. Mikutta, K. Kalbitz, G. Guggenberger
- V70 Was passiert mit ¹⁴C markierter gelöster organischer Substanz entlang einer Boden-Chronosequenz Abbau, Sorption oder präferentieller Transport?

F. Hagedorn, N. Bruderhofer, A. Ferrari, P. A. Niklaus

V71 Ansteigende Konzentrationen von gelöster organischer Substanz in deutschen Mittelgebirgsbächen: Problemanalyse mit Hilfe von Generalised Additive Models

B. Selle, J. Tittel, A. Musolff

K I/2 Wasser-, Wärme-, Gas- und Stoffhaushalt: Messmethoden und Modelle

13:30-15:30 Uhr B052 Vorsitz: Hans-Jörg Vogel

V72 Ein neues Probenahmesystem zur Gewinnung von Bodengasproben bei gleichzeitiger in-situ Bestimmung des scheinbaren Gasdiffusionskoeffizienten im Boden

T. Laemmel, M. Maier, H. Schack-Kirchner, F. Lang

V73 Analyse der Verdunstungsmethode zur hochaufgelösten Messung pedothermischer Eigenschaften

A. Markert, M. Facklam, G. Wessolek, A. Peters

V74 How soil hydraulic conditions affect heat dissipation from underground electrical power cables

E. Kroener, A. Carminati, G. Campbell, P. Ocłoń , P. Cisek, M. Pilarczyk, A. Vallati, M. Bittelli

V75 Modellierung von Wasser-, Dampf-, Wärmeflüssen und realer Evaporation in großen wägbaren Lysimetern unter trockenen Bedingungen

S. C. Iden, D. Reineke, J. Koonce, M. Berli, W. Durner

V76 Anpassung der Modellinitialisierung des organischen Bodenkohlenstoffs für die Prozessmodellierung

E. Bönecke, U. Franko

V77 Einfluss der Drucksteuerung des unteren Lysimeterrands
U. Weller, K. Weber, S. Reth

K IV AG Isotope in der Bodenkunde Prozessverständnis durch Isotope

13:30-15:30 Uhr B051 Vorsitz: Michaela Dippold

V78 Quantitative evidence of overestimated rhizodeposition using $^{15}{\rm N}$ leaf-labelling

J. Mayer

V79 Exploring mechanisms of the biodiversity-N cycle relationship in grasslands with the help of 15 N tracer experiments

I. AHMAD, A. Velescu, S. Lama, S. Hardegger, Y. Oelmann, W. Wilcke

V80 Quantifizierung der C- und N- Rhizodeposition von Erbse im Freiland ohne räumliche Einschränkungen

A. Hupe, H. Schulz, R. G. Jörgensen, F. Näther, F. Wichern

V81 Stabile Sauerstoffisotopenverhältnisse in Phosphat als Tracer für enzymgesteuerte P-Freisetzung im Boden

E. Sorkau, Y. Oelmann

V82 Nitrogen uptake in an alpine Kobresia pasture on the Tibetan Plateau: localisation by ¹⁵N labelling and implications for a vulnerable ecosystem *P. M. Schleuß, F. Heitkamp, Y. Sun, X. Xu, G. Miehe, Y. Kuzyakov*

V83 Schneller Umsatz Mineral-assoziierten Kohlenstoffs in tropischen Acrisolen S. Strey, R. Strey, S. Söffker, J. Boy, G. Guggenberger

K III Umwelteinflüsse auf Funktion und Diversität von Bodenorganismen

13:30-15:30 Uhr B006 Vorsitz: Thilo Eickhorst

V84 Effects of olive mill wastewater on life-cycle parameters of Folsomia candida

M. P. Kurtz, K. Kenngott, G. E. Schaumann

V85 Verhalten und Wirkung von Tierarzneimitteln im Boden - eine Synthese aus 8 Jahren DFG Forschergruppe 566

W. Amelung, J. Groeneweg, S. Jeschalke, J. Klasmeier, M. Matthies, T. Pütz, M. Schloter, K. Smalla, M. Spiteller, S. Thiele-Bruhn, H. Vereecken, S. Zühlke, B. M. Wilke, J. Siemens

- V86 Das Umweltverhalten und Effekte pharmazeutischer Antibiotika in Böden unterscheiden sich zwischen Einzelsubstanzen und Gemischen S. Thiele-Bruhn
- V87 Effekte von umweltrelevanten Konzentrationen von Nanomaterialien auf Bodenmikroorganismen

A. Grün, M. Schloter, C. Emmerling

- V88 Einfluss der Landnutzungsintensität und Bodencharakteristika auf die mikrobielle Gemeinschaft und Enzymaktivität von Grünlandböden R. Boeddinghaus, D. Berner, S. Marhan, E. Kandeler
- V89 Einfluss des Klimawandels auf die Biomasse und Aktivität von Bodenmikroorganismen in einem Agrarökosystem C. Poll, C. Bamminger, S. Marhan, E. Kandeler

K VI Nicht stofflicher Bodenschutz: Bodenerosion und Bodenschadverdichtung

13:30-15:30 Uhr B005 Vorsitz: Detlef Deumlich

V90 Der Einfluss von Bankterrassen auf die Bodenerosion in einer heterogenen Terrassenlandschaft in China

S. Schönbrodt-Stitt, K. Schmidt, T. Behrens, F. Stumpf, T. Scholten

- V91 Simulation von Abflussbildung und Bodenerosion auf Waldwegen und Rückegassen mittels Kleinberegnungsanlage

 J. Zemke
- V92 Gewässeranschluss erosionsgefährdeter Flächen V. Prasuhn, S. Alder, H. P. Liniger, K. Herweg
- V93 Prozess-basierte Erosionsmodellierung in einem Kleineinzugsgebiet in Zentralchina

F. Stumpf, M. Schindewolf, S. Schönbrodt-Stitt, K. Schmidt, T. Scholten

V94 Bodenerosion im Einzugsgebiet der Steinau (Schleswig-Holstein) W. Baumgarten, D. Mehl, T. Hoffmann, M. Schneider, S. Lorenz, C. Foth. M. Ahne. H. Giese

V95 Bodenabtrag und Oberflächenabfluss bei Streifenbearbeitung zu Zuckerrüben im Vergleich zu praxisüblichen Bestellsystemen D. Laufer, B. Loibl, H. J. Koch

K V AG Digital Soil Mapping

13:30-15:30 Uhr Vorsitz: Thorsten Behrens

Bewertungsmethoden für Bodenfunktionen in der Schweiz V96

A. Keller, L. Greiner, S. Zimmermann, A. Papritz

V97 Prognose von Lokalbodenformen für die forstliche Standortskartierung mit digitalen Methoden

R. Petzold, R. Gemballa, F. Karas

V98 Vergleich verschiedener Interpolationsverfahren zur Erfassung der räumlichen Variabilität der organischen Bodensubstanz in Wald- und Steppengebieten der Mongolei

> T. de la Haye, G. Hoefer, R. Strey, S. Strey, L. Sauheitl, L. Larry, G. Guggenberger, S. Spielvoael

V99 Nutzung schleppergestützter Gamma-Spektrometrie "on-the-go" zur räumlich hochaufgelösten Erhebung von Bodeninformationen - Vergleich mit konventionellen Bodenkarten

S. Pätzold, T. Heggemann, S. Koszinski, A. Rodionov, M. Sommer, G. Welp

Modellierung der Schlag spezifischen Verteilung der organischen Boden-V100 substanz basierend auf stabilen spektralen Bodenmustern mittels multitemporaler Fernerkundung (RapidEye)

> W. Hierold, G. Blasch, D. Spengler, S. Itzerott, M. Wehrhan, M. Sommer, G Wessolek

V101 Remote sensing based detection of grassland use intensity on peat soils A. C. Kalia, N. Billen, L. Herrmann

K II AG Waldböden (1) Biochemische Prozesse in Böden und Bodenkompartimenten

13:30-15:30 Uhr B138

Vorsitz: Anja Miltner

V102 Entkoppelte Kohlenstoff- und Stickstoffmineralisierung in organomineralischen Bodenfraktionen

> C. Bimüller, C. W. Mueller, M. von Lützow, O. Kreyling, A. Kölbl, S. Haug, M. Schloter, I. Kögel-Knabner

V103 Fertilization and root presence of permanent grassland have no effect on microbial biomass and mineralization

C. Knoblauch, C. Watson, N. Wrage-Mönnig, R. Becker, C. Berendonk, F. Wichern

- V104 Going deep Räumliche Variabilität und Interaktionen des organischen Kohlenstoffs im Unterboden
 - S. Heinze, H. Piepho, B. Ludwig, G. Angst, R. Mikutta, K. Kirfel, S. Preußer, B. Marschner
- V105 Sequestrierung von organischem Stickstoff in Reisböden aus unterschiedlichen Ausgangsmaterialien

M. Houtermans, E. Lehndorff, W. Amelung, A. Kölbl, D. W. Utami, D. Said-Pullicino. P. Winkler

V106 Microbial transformations of free versus sorbed alanine analyzed by position-specific C-13 and C-14 labeling and compound-specific C-13-PLFA analysis

C. Apostel, M. Dippold, Y. Kuzyakov

V107 Content, composition and fate of sugars in soil: a review study
A. Gunina. Y. Kuzvakov

K II AG Waldböden Molekulare Marker

13:30-15:30 Uhr B41 Vorsitz: Sandra Spielvogel

V108 Molekulare Differenzierung von Bioporen des Unterbodens mittels Phospholipidanalyse

C. Banfield, M. Dippold, J. Pausch, Y. Kuzyakov

- V109 Rekonstruktion historischer Auen- und Flussstrukturen durch Analyse von Biomarkern in alluvialen Sedimenten
 - J. Herschbach, M. Dippold, A. Sesterheim, N. Günther, E. Fuchs, F. König, S. Spielvogel
- V110 Vertical δ^{13} C and δ^{15} N changes during pedogenesis M. Brunn, S. Spielvogel, L. Condron, A. Wells, Y. Oelmann
- V111 Eintrag von Zersetzungsprodukten aus Schweinekadavern in die Waldböden der Biodiversitätsexploratorien

M. Werth, C. von Hörmann, S. Steiger, M. Ayasse

V112 Durch Wurzeln geförderte Bodenbildung im tiefen Unterboden entschlüsselt mit einem interdisziplinären Ansatz

G. Wiesenberg, M. Gocke

V113 Landnutzung beeinflußt die Reaktion von Böden auf die Zugabe von leicht verfügbarem Kohlenstoff

I. Schöning, H. Y. Gan, M. Schrumpf

K I/2 u. K VII Wasser-, Wärme-, Gas- und Stoffhaushalt: Messmethoden und Modelle

16:00-17:00 Uhr B052 Vorsitz: Hans-Jörg Vogel

V114 Microscopic structure and permittivity of interlayer water in Na⁺ saturated montmorillonite

K. Emmerich, H. Kaden, F. Koeniger, P. Thissen

V115 Calibration of electromagnetic soil moisture sensors: Simplified selection of suitable reference media

S. Kögler, N. Wagner, U. Wollschläger

K IV Biogeochemische Modelle

16:00-17:00 Uhr B051 Vorsitz: Hermann Jungkunst

V116 Model driven measurements of nitrous oxide (N₂O) fluxes from soils under different land use in Brazil

K. Meurer, U. Franko, C. F. Stange, H. F. Jungkunst

V117 Vergleich eines empirischen Modellansatzes mit einem prozessbasierten Ökosystemmodell für die Simulation von $\mathrm{CO_2}$ -Gasflussraten

C. Nendel, X. Specka, U. Hagemann, M. Pohl, M. Hoffmann, D. Barkusky, J. Augustin, M. Sommer, K. van Oost

K III Umwelteinflüsse auf Funktion und Diversität von Bodenorganismen

16:00-17:00 Uhr B006 Vorsitz: Thilo Eickhorst

V118 Einfluss von Substratverfügbarkeit und Umweltbedingungen auf Mikroorganismengemeinschaften im Ober- und Unterboden

S. Preußer, K. Kirfel, J. Niebuhr, G. Angst, P. Dietrich, S. Heinze, E. Kandeler

V119 Zusammensetzung und Funktionalität mikrobieller Gesellschaften in Oberund Unterböden degradierter Grasland-Ökosysteme des Tibetischen Plateaus

A. Breidenbach, J. Meier, L. Steingräber, P. Schleuß, Y. Kuzyakov,

G. Guggenberger, S. Spielvogel

Montag

Tagungsprogramm

K VI Nicht stofflicher Bodenschutz: Bodenerosion und Bodenschadverdichtung

16:00-17:00 B005

Vorsitz: Detlef Deumlich

V120 Bodenphysikalische Untersuchungen zur Bewertung der Bodenverdichtung durch Forstmaschineneinsatz auf Löss-Standorten im Marxheimer Wald (Hofheim am Taunus)

R. Dambeck, C. Skrybeck, H. Thiemeyer

- V121 Maßnahmen zur Behandlung von Fahrspurverdichtung im Wald A. Averdiek. H. C. Fründ. M. Müller-Inkmann. O. Hemker
- V122 Räumliche Analyse von Penetrologgerdaten zur Bewertung unterschiedlicher Grundbodenbearbeitungen

 M. Kuhwald, R. Duttmann, J. Brunotte

K V AG Digital Soil Mapping "Proximal Soil Sensing"

16:00-17:00 Uhr B139

Vorsitz: Armin Keller

- V123 Mid-Infrared spectroscopy as a tool to analyze soil-landscape relationships K. Schmidt, A. Wadoux, L. Ramirez-Lopez, F. Stumpf, T. Scholten, T. Behrens
- V124 Vegetation cover impacts on proximal visible and near-infrared sensing of soil organic carbon

A. Rodionov, S. Pätzold, G. Welp, R. Pude, W. Amelung

- V125 Multisensoreinsatz (VNIR, FTIR, PXRF) an Bohrkernen als Grundlage für eine 3D-Modellierung von Stoffmustern in Bodenlandschaften

 C. Hoffmann. M. Leue. M. Sommer
- K II AG Waldböden (2) Biochemische Prozesse in Böden und Bodenkompartimenten

16:00-17:00 Uhr B138

Vorsitz: Marc-Oliver Göbel

- V126 Arsenic Speciation in Ombrotrophic Peat Soils C. Mikutta, J. J. Rothwell
- V127 Mercury biomethylation in a polluted floodplain of the Canton of Valais, Switzerland: Influence of climate and agricultural practices

 S. Gygax, A. Mestrot, W. Wilcke
- V128 XPS als vielseitiges Instrument zur Charakterisierung biogeochemischer Grenzflächen
 - S. K. Woche, M. O. Göbel, G. Guggenberger, J. Krüger, C. Schurig, G. J. Pronk, R. Olc, D. Tunega, J. Bachmann

K II AG Waldböden Molekulare Marker

16:00-17:00 Uhr B41

Vorsitz: Jörg Prietzel

V129 Turnover of various plant- and microbial-derived lipids in a long-term $\rm C_3\text{-}C_4$ vegetation change experiment

K. Ivanov, Y. Kuzyakov, M. Dippold

V130 Contribution of mineral phosphate fertilizers to the Cd budget of Swiss wheat production systems as revealed by a flux and a stable isotope budget of Cd

M. Imseng, M. Bigalke, A. Keller, M. Müller, E. Frossard, M. Wiggenhauser, M. Rehkämper, W. Wilcke

V131 Aluminum toxicity in a tropical montane forest ecosystem in southern Ecuador

A. Rehmus, M. Bigalke, A. Velescu, M. T. Schwarz, C. Valarezo, W. Wilcke

K I/1 Bodenphysikalische und -hydrologische Prozesse

17:00-19:00 Uhr Posterausstellung

Vorsitz: Thilo Streck

P1 Inwieweit können klassische Stabilitätsparameter durch rheologische Kenngrößen beschrieben werden und wie können diese vorhergesagt werden?

N. Stoppe, T. Neugebauer, R. Horn

P2 Lysimeter- und Feldversuche als Grundlage zur modellgestützten Bewertung der Stickstoffkinetik in der ungesättigten Zone in Abhängigkeit von Bodenphysik und Bewirtschaftung

D. Bednorz, N. Tauchnitz, J. Bischoff, M. Schrödter, B. Koblenz, J. Rücknagel, H. Rupp, O. Christen, R. Meißner

P3 Verification of traffic-induced soil compaction after long-term ploughing and ten years minimum tillage on clay loam soil in South-East Norway

T. Seehusen, T. Børresen, B. I. Rostad, H. Fleige, A. Zink, R. Horn, H. Riley

P4 Übertragung der Änderung der Luftleitfähigkeit auf die gesättigte Wasserleitfähigkeit zur Bestimmung von Porenwasserüberdrücken bei zyklischer Belastung

T. Neugebauer, N. Stoppe, R. Horn

P5 Bodenphysikalische Eigenschaften und Wasserhaushalt von Plaggeneschen

S. Döhler, N. Springer, B. Damm

- P6 HYDROBOD Teil II: Überprüfung des HYDROBOD Verfahrens an natürlichen Ereignissen in Niederösterreich

 T. Bauer, K. Klebinder, B. Sotier, C. Krammer, P. Strauss
- P7 Mikroskalige hydraulische Heterogenitäten in Unterböden J. Krüger, M. O. Göbel, J. Bachmann
- P8 Wird die Verbesserung der bodenhydraulischen Eigenschaften durch Einmischung von Biokohle durch deren Benetzungshemmung aufgehoben?

 M. Bechtold, N. Eibisch, W. Durner, R. Fuß, R. Mikutta, S. K. Woche, M. Helfrich
- P9 Pedotransferfunktionen zur Abschätzung der Trockenraumdichte von Waldböden

C. Steinicke, M. Köhler, B. Ahrends

K I/2 Wasser-, Wärme-, Gas- und Stoffhaushalt: Messmethoden und Modelle

17:00-19:00 Uhr Posterausstellung

Vorsitz: Hans-Jörg Vogel

- P10 Vereinfachte Methode zur Messung und Bewertung hydraulischer Kennwerte von Blumenerden und Substraten im Gartenbau

 U. Schindler, L. Müller, F. Eulenstein
- P11 Bodenhydraulische Eigenschaften von makroporösen Bodenproben aus Multistep-Outflow und Verdunstungsexperimenten

 K. Germer. S. C. Iden. W. Durner
- P12 Hillslope-scale hydrological and snow cover dynamics derived from a wireless soil moisture and temperature monitoring network and time-lapse digital photography

 U. Wollschläger, C. Vogt, S. Kögler, E. Martini
- P13 Validierung des "Hydrologic Evaluation of Landfill Performance" (HELP) Modells anhand von Testfelddaten K. Berger
- P14 Continuous flow measurements of soil flux of CO2, CH4 and N2O S. Reth, R. Winkler
- P15 The integrated modeling concept of the research unit FOR 1695 Regional Climate Change

 T Streck



K I/3 Prozesse und Strukturen im System Boden-Pflanze-Atmosphäre

17:00-19:00 Posterausstellung

Vorsitz: Bärbel Thiemeyer

P16 Bodenwasserverfügbarkeit als steuernder Faktor der Transpiration von Stadtbäumen in Hamburg

S. Thomsen

P17 Effect of mucilage on rhizosphere hydraulic properties: a new experimental approach

N. Schultze, E. Kröner, A. Carminati, D. Vetterlein

- P18 Ecohydrological implications of bush encroachment and bush clearing in Namibian savannahs Study design and research activities

 M. de Blécourt, A. Groengroeft, A. Eschenbach
- P19 Einfluss der Bodenerosion auf CO₂-Austauschraten und C-Bilanzen Ergebnisse und Deutung vierjähriger automatischer Haubenmessungen
 M. Hoffmann, J. Garcia Alba, E. Albiac Borraz, N. Jurisch, H. Rieckh, M. Sommer,
 J. Augustin
- P20 Kleinskalige Analyse von physikalischen Rhizo- und Drilosphäreneigenschaften im Vergleich zum bulk soil C. Haas, D. Holthusen, M. C. Wittig, D. Uteau Puschmann, S. Peth, R. Horn
- P21 Soil water flow heterogeneity introduced by forest canopies: Geostatistical evaluation of high resolution measurements in a temperate mixed beech stand

J. Metzger, N. Dalla Valle, T. Wutzler, J. Filipzik, C. Grauer, J. Weckmüller, D. Schelhorn, A. Hildebrandt

- P22 Wasser- und Stoffhaushalt einer Pappel-Kurzumtriebsplantage im Alpenvorland im Vergleich zu konventioneller Ackerbewirtschaftung

 M. Zacios, L. Zimmermann, K. H. Feger
- P23 Mucilage exuded by plant roots increases water availability in soil M. Holz, E. Kroener, A. Carminati
- P24 Models of water flow and solute transport in the soil-plant continum *F. Heinlein, E. Priesack*



Montag

Tagungsprogramm

K I/4 Bodengefüge: Erfassung und Dynamik

17:00-19:00 Posterausstellung

Vorsitz: Olaf Ippisch

P25 Können Rammkernsondierungen Stechzylinder bei der Bestimmung der Trockenrohdichte ersetzen?

K. Walter, A. Don, B. Tiemeyer, M. Busch

P26 Analyse zweidimensionaler Schrumpfmuster als quantitative Brücke zwischen Eigenschaften der Festphase und der Bodenstruktur

H. Schack-Kirchner, K. Izmailova, F. Lang

P27 Hochaufgelöste raum-zeitliche Variabilität der Oberflächenscherfestigkeit und -rauigkeit von Böden

R. Schneider, S. Thiele-Bruhn, K. N. Raugewitz, A. Schardong

P28 Erodibilität vulkanischer Aschenböden: Der Einfluss von pH, Benetzbarkeit und Oberflächenladung auf die Aggregatstabilität

J. Bachmann, M. O. Göbel, J. Krüger

P29 Schrumpfungsverhalten von aufbereitetem Baggergut- Untersuchungen zur Gleichwertigkeit von Baggergut mit üblichen Bodenmaterialien für den Einsatz im Deichbau

K. Oing, A. Gröngröft, A. Eschenbach, J. Gebert

K I/5 Bildgebende Verfahren in den Bodenwissenschaften

17:00-19:00 Uhr Posterausstellung

Vorsitz: Hans-Jörg Vogel

- P226 Untersuchung der Bodenstrukturentwicklung sowie der Veränderungen physikalischer Eigenschaften von Makroporennetzwerken mit Hilfe der Rötgenstrahl CT Methode
 - S. K. Pagenkemper, D. Uteau, S. Peth, R. Horn
- P227 Wie zugänglich ist die spezifische Oberfläche von Mineralen?
 - eine Vergleichsstudie mit Al-haltigen Mineralen als Modellsubstanzen K. Heister
- P228 Measuring changes of interfaces configurations during hydraulic nonequilibrium in partially saturated porous media via fast x-ray microtomography

 S. Schlueter
- P229 Räumliche Verteilung und Speziierung von P-Verbindungen mit Elektronenmikroskopie und μ-ΧΑΝΕS

P. Leinweber, K. U. Eckhardt, D. Zimmer, N. Siebers

P230 Wie Reiswurzeln ihre Rhizosphäre formen: Radiale Gradienten aus Oxiden, Silikaten und organischem Material

A. Kölbl, C. W. Müller, C. Höschen, J. Lugmeier, I. Kögel-Knabner

KII Org. u. kohleartige Substanzen sowie biochem. Prozesse in Böden u. Bodenkompartimenten

17:00-19:00 Uhr Posterausstellung Vorsitz: Dörte Diehl, Carsten W. Müller

- P30 Ableitung der aktuellen Benetzbarkeit des Bodens von der potentiellen Benetzbarkeit der Organik von Gärsubstraten

 A. Voelkner, R. Ellerbrock, D. Holthusen, R. Horn
- P31 Depletion and recovery of dissolved organic carbon and nitrogen pools in forest floors

M. H. Lee, J. H. Park, E. Matzner

- P32 Geogenes CO₂ beeinflusst die Stabilisierung organischer Bodensubstanz
 T. Rennert, H. Pfanz
- P33 Wechselwirkungen zwischen graphitischen Strukturen in Biokohlen mit Rinderserum-Albumin und Wyoming- Montmorillonit -eine Raman-spektroskopische Analyse-

J. Niemeyer, C. Ahl, F. Rekate, H. Wackerbarth

- P34 How to quantify organic carbon in soils containing carbonates reliably, precisely, fast? A comparison of three different analytical approaches

 I. Hilke, K. Schreider-Goidenko, B. Froehlich, K. Henkel
- P35 Besiedlung von Schichtsilikaten durch Mykorrhiza-Pilze in Neukaledonien und Chile hängt von der Nährstoffversorgung der Böden ab

 A. Dechêne, R. Mikutta, G. Guggenberger, J. Boy
- P36 Characterization of water binding in a model mucilage using ¹H-NMR Relaxometry

 M. Brax, G. E. Schaumann, D. Vetterlein, A. Carminati
- P37 Spatial Variability of Soil Organic Carbon and Total Nitrogen in Permafrost-Affected Soils of Northern Siberia at the Profile Scale

 A. Evgrafova, I. Haase, G. Guggenberger, O. Shibistova, N. Tananaev, B. Mann, L. Sauheitl, S. Spielvogel
- P38 Entwicklung künstlicher Böden mit unterschiedlicher Mineralzusammensetzung unter dem Einfluss mehrerer Zugaben organischer Substanz
 C. Vogel, D. Babin, G. J. Pronk, K. Heister, F. Buegger, M. Schloter, K. Smalla, I. Kögel-Knabner
- P39 Einfluss der Applikation von Pyrokohle und Hydrokohle auf die Sorption und Mineralisierung des Herbizids Isoproturon in einem landwirtschaftlich genutzten Boden

M. Helfrich, N. Eibisch, R. Fuß, R. Mikutta, R. Schroll

P40 Qualitätsparameter für organische Bodensubstanz mittels DRIFT-und Festkörper-¹³C-NMR-Spektroskopie

Seite 38

P41 Bodenalgen als Quelle von organischem Kohlenstoff in Ackeroberböden -Modellierung der saisonalen Dynamik

M. Ludwig, H. Pagel, C. Poll, E. Kandeler, C. Emmerling, S. Thiele-Bruhn

KIII Bodenbiologie u. Bodenökologie - Bodengase - Pflanzen-Interaktionen - Diversität

17:00-19:00 Uhr Posterausstellung

Vorsitz: Sven Marhan

P42 Impact of chemical and physical soil properties on the occurrence of Rhizoctonia root and crown rot in sugar beet (Beta vulgaris subsp. vulgaris) and on Rhizoctonia inoculum potential in the soil

S. Schulze, H. J. Koch

- P43 Zusammensetzung der mikrobiellen Gemeinschaft in Schwarzerden des Pannonischen Raumes: Bedeutung von Niederschlagsregime und Bodentyp K. Michel, J. Hösch, A. Baumgarten, B. Kitzler
- P44 Einfluss der veränderten Gaskonzentrationen auf die C-Dynamik im Unterboden

J. Strücker, R. G. Joergensen

- P45 Auswirkung von Gülle Strip Till und ganzflächiger Gülleapplikation auf die NH, und N,O-Emissionen
 - B. Pietzner, N. Tauchnitz, M. Schrödter, J. Bischoff, B. Koblenz, J. Rücknagel, H. Rupp, R. Meissner, O. Christen
- P46 Effects of protozoan grazing on carbon flow and enzyme activities in rhizosphere and detritusphere
 - S. Loeppmann, F. Clissmann, A. Gunina, J. Pausch, R. Koller, M. Bonkowski, Y. Kuzyakov
- P47 Differenzierung zwischen heterotropher und autotropher Bodenatmung in einem Kurzumtriebs-Pappelbestand

J. Möller, S. Lukas, C. Wachendorf

P48 Temporal dynamics of bush encroachment inferred by spatial patterns of carbon and $\delta^{13}\text{C}.$ A case study in different management systems of the savanna biome, South Africa

A. Sandhage-Hofmann, E. Kotzé, C. C. du Preez, W. Amelung

P49 Dynamik von mikrobiellen Gemeinschaften in zeitweise überfluteten Böden

J. Abrigata, J. Rinklebe

P50 Optimization of Phosphorus Dynamics using Cover Crop Management and Reduced Tillage

M. Hallama, K. Jarosch, C. Pekrun, E. Kandeler

P51	Die Emission von Lachgas aus mit Rinderkot unterschiedlicher Fütterungsgruppen versetztem Boden S. Meyer, A. Sundrum, R. G. Jörgensen, P. Karlovsky
P52	Rhizosphere - hot spot for climate change N. Präg, P. Illmer
P53	Enzymatic activity in urban soils affected by anthropogenic influences on the example of Rostov agglomeration (Russia) S. Gorbov, M. Anisimova, O. Bezuglova, B. Marschner, N. Giro
P54	Einfluß zweier unterschiedlicher Schnitt- und Düngevarianten auf organische Bodenkohlenstoff- und Stickstoffspeicherung auf schnittgenutztem Grünland A. Nüsse, D. Linsler, R. Loges, F. Taube, B. Ludwig
P55	Do veterinary antibiotics impact on symbiotic nitrogen fixation in plants? - A greenhouse experiment with Medicago sativa A. Ostermann
P56	Biochar effects on greenhouse gas emissions from two Hawaiian arable soils K. Biegert, S. Marhan, J. Meulemans, S. E. Crow, J. L. Deenik
P57	Auswirkungen einer in situ Remediation von spurenmetallbelasteten Kastanozems in Georgien auf die Diversität celluloseabbauender Bakterien und der P-Typ-ATPasen bedingten Spurenmetallresistenz H. Kaplan, S. Ratering, P. Felix-Henningsen, S. Schnell
P58	Einfluss der Güllezusammensetzung, Mikrohabitate und Bodenfeuchte auf Bodenmikroorganismen nach Co-Applikation von Antibiotika mit Schweinegülle R. Reichel, S. Thiele-Bruhn
K IV AG	Isotope in der Bodenkunde Prozessverständnis durch Isotope
17:00-19	9:00 Uhr Posterausstellung
Vorsitz: Y	vonne Oelmann
P59	Biologisch mobilisiertes Phosphat im Wurzelbereich von jungen Buchen (Fagus sylvatica L.) auf zwei Standorten mit unterschiedlicher P-Verfügbarkeit S. Hauenstein, Y. Oelmann, T. Pütz

P60 RAMAN als Methode zur Untersuchung des Sauerstoff-Isotopenaustausches

H. Lewandowski, W. Amelung

P61 Plant community composition effects on the nitrogen cycle in grassland of a biodiversity experiment

S. Lama, I. Ahmad, S. Hardegger, Y. Oelmann, W. Wilcke

P62 δ¹⁸O_P als Marker für Phosphat-Umsatz in Böden?
 S. L. Bauke, H. Lewandowksi, H. Wissel, A. Lücke, A. Rodionov, W. Amelung

P63 Feldversuche zur Steigerung der N-Effizienz bei Mais unter Einsatz von zwei Wirkstoffen sowie ¹⁵N-markiertem Harnstoff-Dünger

A. Georgiadis, B. Navé, K. Stahr

P64 Nitrifikation und N₂O-Bildungsprozesse nach Ammonium-Depotdüngung in Laborinkubationen mit lehmigem Sandboden M. Deppe, R. Well, H. Flessa

K IV Terrestrisch-aquatische Kopplungen

17:00-19:00 Uhr Posterausstellung

Vorsitz: Felix Heitkamp

P65 Die Bedeutung von semiterrestrischen Böden für die Grund- und Oberflächenwasserqualität Nordwestdeutschlands

C Nolte

P66 Geogenic phosphate as determinant of benthic food web structure D. Mewes, C. Winkelmann, S. Spielvogel

P67 Mobilisierung von Nickel in einem nordwestdeutschen Grundwasserleiter durch Intensiv-Landwirtschaft?

T. Mansfeldt, H. Mandt, K. Matern, H. Röhm, J. Elbracht, I. Bitz, M. Sitnikova, R. Dohrmann

P68 Modellierung des Transportes und der Transformation von Phosphat-Nanopartikeln entlang eines pH-Gradienten

M. Bork. A. Peters. M. Kaupeniohann

P69 Nährstoffhaushalt in Feuchtgebietsböden Ostafrikas
B. Glasner, S. Fiedler, K. Wagner, N. Brüggemann, C. Leemhuis, G. Gabiri

K IV AG Bodengase

17:00-19:00 Uhr Posterausstellung

Vorsitz: Martin Maier

P70 Microhabitat Effects on N2O Emissions from Floodplain Soils under Controlled Conditions

M. Ley, M. Lehmann, P. Niklaus, B. Frey, T. Kuhn, J. Luster

P71 How climate change would influence N₂O-, CH₄-, and respiratory CO₂ fluxes from forest and grassland lysimeter soils

D. Weymann, N. Brüggemann, T. Pütz, J. Groh, A. Graf, H. Vereecken

- P72 Einfluss von Rapsernterückständen und Bodenbearbeitung auf direkte N_2 O-Emissionen K. Kesenheimer, T. Müller, R. Ruser
- P73 Effects of meteorological events and harvest on ecosystem respiration dynamics of a grassland on organic soils

 K. Leiber-Sauheitl, M. Bechtold, R. Fuß, B. Tiemeyer, A. Freibauer
- P74 Direkte Lachgasemissionen im Rapsanbau R. Fuß, M. Andres, H. Hegewald, K. A. Kesenheimer, S. Köbke, T. Räbiger, T. Suarez-Quiñones
- P75 Calibration of N_2O -Flux measurements by static chambers Results from the Soil N_2O chamber inter-comparison campaign
- P76 Einsatz eines Nitrifikationsinhibitors (PIADIN) bei Gülleapplikation nach dem Strip-Till-Prinzip: Laborversuch zum Effekt auf die NO₃-Bildung und N₂O-Freisetzung

 O. Spott, B. Apelt, E. Thiel
- P77 Effekte der Nitrifikationsinhibierung auf die N₂O-Freisetzung nach Mineraldüngung auf einem sandigem Lehm-Standort Versuchsergebnisse 2011-2014

 E. Thiel, T. Kreuter, C. Schuster
- P78 Dynamische C- und N-Vorräte Schlüsselfaktoren für den C-Gasaustausch bei Mais in einer heterogenen Niedermoorlandschaft M. Pohl, M. Hoffmann, U. Hagemann, M. Giebels, E. Albiac Borraz, M. Sommer, J. Augustin
- P79 Zum Einfluss des Wasserspiegels auf die Treibhausgasflüsse im Uferbereich eines kolluvial überdeckten Solls in Nordostdeutschland (Uckermark)

 S. Fiedler, L. Richter, D. Zak, J. Gelbrecht, J. Augustin, M. Sommer
- P80 Einfluss verschiedener Grünlanderneuerungstechniken auf N₂O Emissionen und NO₃ Dynamik

 C. Buchen, M. Benke, H. Flessa, A. Gensior, M. Helfrich, M. Kayser, D. Lewicka-Szczebak, R. Well
- P81 Harnstoffdüngung in Mitteleuropa Wirkung von Bodenbedingungen, Witterung, und Inhibitoren auf N-Umsätze und Ertrag von Winterweizen A. Pacholski, K. Ni, H. Kage
- P82 Methan- und Lachgasemissionen in Abhängigkeit von Landnutzung, Pegelstand und Bodentemperatur in einem wiedervernässten Niedermoor in Süddeutschland

 A. Lengerer, J. E. Dickopp, M. Werth, M. Kazda

P83 Halbautomatiksystem zur Erfassung klimarelevanter Gasemissionen aus Böden
N. Ruoss, D. Lempio, R. Fuß, R. Well, H. Flessa

P84 Freisetzung von N2O während der Nitrifikation von Amid- und Ammoni- umdüngern

J. Tierling, H. Kuhlmann

P85 Quantifizierung gasförmiger N2-Verluste: Einfluss von wassergefülltem Porenvolumen, Bodentextur, Gärrestkonzentration und atmosphärischer O2-Verfügbarkeit auf die Denitrifikation

S. Fiedler, U. Buczko, G. Jurasinski, J. Augustin

P86 Auswirkungen von Wiedervernässung auf die Treibhausgas-Emissionen bewirtschafteter Niedermoore

R. Wolf. J. Zeitz

K IV/1 u. K II Landwirtschaft und organische Bodensubstanz

17:00-19:00 Posterausstellung

Vorsitz: Ingo Schöning

P87 Humusdynamik im Podzoluvisol in Abhängigkeit von Fruchtfolge und Düngung

V. Bosak, T. Sachyuka

- P88 Verteilung und Zusammensetzung der organischen Bodensubstanz in Nassreisböden: Welche Rolle spielen unterschiedliche Bodentypen?

 L. Urbanski, A. Kölbl, P. Schad, E. Lehndorff, S. R. Utami, C. H. Cao, I. Kögel-Knabner, I. Kögel-Knabner
- P89 Beziehungen zwischen Ton- und C-Gehalt als Bewertungsgrundlage für den Versorgungszustand von Ackerböden mit organischer Substanz C. Siewert, J. Kucerik
- P90 Influence of soil organic matter burial on the net N mineralization and nitrification behaviour of deep-ploughed soils

 Z. Jumshudov. R. Nieder. V. Alcantara. A. Don. R. Well
- P91 Factors of soil organic carbon storage in the Dano catchment (Southwest Burkina-Faso)

O. Hounkpatin, F. Felix Op de Hipt, A. Bossa, G. Welp, W. Amelung

- P92 Influence of land use on carbon and nitrogen dynamics in soils M. Bensemann, D. K. Benbi, R. Nieder
- P93 HTC-Biokohle als Bodenverbesserer und Erosionsschutz? S. Schleicher, W. A. Bischoff, A. Schwarz, C. Munz, J. Pfenning

P94 Stabilisierung von C aus Stroh und Gründüngung im Boden-Ergebnisse eines Inkubationsversuches

T. Dannehl, C. J. Brock

P95 Verhalten von Regenwürmern unter Einfluss von Biogasgärrestdüngung und Fruchtfolgen im ökologischen Landbau

A. Simon. K. Levin. K. J. Hülsbergen. H. J. Reents

P96 Auswirkungen des Wachstums von Winterzwischenfrüchten und deren Abbau nach einem Frostereignis auf Bodenaggregate und mikrobielle Biomasse

D. Linsler, R. Andruschkewitsch, C. Piegholdt, B. Ludwig

P97 Systematische Abschätzung potentiell ackerfähiger Standorte in einem Untersuchungsgebiet mit geringer Datengrundlage

I. Kühling. G. Clemens. T. Wertebach. H. von Dressler. D. Trautz

P98 Die Rolle der Beprobungstiefe in der Bewertung von Bewirtschaftungseinflüssen auf die organische Bodensubstanz L. Knebl. G. Leithold. C. Brock

P99 In situ-Messung von Nitrat im Boden zur Erfassung der zeitlichen Dynamik und zur Düngesteuerung im Gemüsebau

W. A. Bischoff, S. Mayer, T. Müller

P100 Ist Stroheinarbeitung für die Erhöhung der Kohlenstoffvorräte nicht effizient? Gegensätzliche Ergebnisse von Langzeitdaten (IOSDV Puch) und Modellierung (RothC 26-3)

F. Heitkamp, M. Shahbaz, M. Wendland, Y. Kuzyakov

K IV/2 Auswirkungen des Energiepflanzenanbaus

17:00-19:00 Uhr Posterausstellung

Vorsitz: Ulrike Hagemann

P101 Optimierter Gärrest-Einsatz in Energiepflanzenfruchtfolgen - Ergebnisse aus dem Verbundvorhaben EVA

J. Haag, M. Fritz

P102 Analyse der Gärrestwirkung auf den Stickstoffhaushalt von Böden unter besonderer Berücksichtigung des Nitrataustrages ins Grundwasser C. Stasch, L. Giani

P103 Miscanthus als Biogas-Substrat - Auswirkungen auf den Boden T. Ruf, A. Schmidt, C. Emmerling

P104 Landwirtschaftliche Biogasanlage - Fluch oder Segen für den Boden? Modellgestützte Stoffbilanz
N. Pravs, U. Franko

P105 Einfluss der Ausbringung von aufbereiteten Gärrückständen aus der Bioabfallvergärung auf die bodenphysikalischen Eigenschaften N. Dietrich, C. Knoop, J. Krümmelbein, T. Raab

P106 Characterization of different digestate products from biogas production as fertilisers with particular regard to their influence on soil biological processes

I. Bach, T. Müller, E. Kandeler

K IV u. K II Einfluss von Landnutzung und Klima auf den Nährstoffhaushalt

17:00-19:00 Uhr Posterausstellung

Vorsitz: Felix Heitkamp

P110

- P107 Can potassium fertilization, soil amendments and land leveling ameliorate rice production under salt affected soils conditions?

 M. Amer, A. S. Elhenawy, H. El-Ramady
- P108 Effekte der Dünger-N-Formen auf Wurzelwachstum im System Boden-Wurzel-Pflanze
 F. Amberg, B. Koblenz, O. Christen, D. Vetterlein, S. Blaser
- P109 Saatkugeln als Managementoption zur Verbesserung der frühen Wachstumsphase von Hirse an sandigen sahelischen Standorten

 L. Herrmann, C. Nwankwo
 - Können Langzeit-Feldversuche dazu beitragen, aktuelle Forschungsfragen zu Bodenmanagement und Bodenfruchtbarkeit zu beantworten?

H. Spiegel, T. Lehtinen, H. P. Haslmayr, N. D. Schlatter, G. Dersch, A. Baumgarten

P111 Thermal characterization of soil organic matter properties in tropical Andosols of Mount Kilimaniaro

J. N. Becker, M. Dippold, Y. Kuzyakov

- P112 Streifenbearbeitung und umweltverträgliche Gülleausbringung im Silomaisanbau
 - S. Nadler, H. Becker, R. Beisecker
- P113 Temporal changes in physical and chemical properties of paddy soils after topsoil selling in the Mekong Delta (Sóc Trăng province, Vietnam)
 - S. Weigand, T. H. Khanh, J. Kruse, Z. Sebesvari, D. M. Vien, V. T. Guong, W. Amelung



Dienstag, 8. September 2015

8:00-10:00 Uhr B052 Vorsitz: Bärbel Thiemeyer

- V132 The importance of mucilage for water uptake of maize roots M. Ahmed
- V133 Veränderungen der Lachgas- und Methanflüsse eines nährstoffarmen Moores im Nationalpark Harz bei fortschreitender Wiedervernässung N. Tauchnitz. K. Osterloh. O. Spott. S. Bernsdorf. R. Meissner
- V134 Hydraulische Eigenschaften von Böden an historischen Holzkohlemeilerplätzen in Brandenburg

 A. Schneider, F. Hirsch, S. Fritsch, A. Raab, T. Raab
- V135 Einfluss erosionsbedingter Pedogenese auf die Wasser- und Stoffbilanzen ackerbaulich genutzter Parabraunerden mittels wägbarer Lysimeter M. Herbrich, H. H. Gerke, M. Sommer
- V136 Modellierung des Bodenwasserhaushalts bei erosionsbedingter Pedogenese H. Gerke, H. Rieckh, M. Sommer
- V137 Bodenprozesse gibt es Ordnung in der komplexen Vielfalt?

 H. Vogel

K IV/1 u. K II Landwirtschaft und organische Bodensubstanz

8:00-10:00 Uhr B051

Vorsitz: Steffen Seitz

- V138 Vergleich zweier Berechnungsansätze zur standortspezifischen Ermittlung der Stickstoff-Mineralisation von Ackerböden

 T. Seith, R. Beisecker
- V139 Ein Ansatz zur vergleichenden Evaluation von Humusbilanzmethoden mit unterschiedlichen modellspezifischen Anwendungsbereichen

 C. Brock, U. Franko, H. R. Oberholzer
- V140 Bestimmung von Parametern für die VDLUFA-Humusbilanz U. Franko, P. Mewes, S. Höcker
- V141 Einsatz der Mittelinfrarotspektroskopie zur Abschätzung von Gehalten an organischem C und C-Fraktionen in Oberböden von Ackerflächen

 B. Ludwig, D. Linsler, H. Höper, H. Schmidt, M. Vohland

V142 Zeitliche Entwicklung der C_{org}-Vorräte von Ackerböden im Rheinland unter Berücksichtigung von Bodenart und Bewirtschaftung T. Steinmann, W. Amelung, A. Wolf, G. Welp

V143 Langfristige Entwicklung der Kohlenstoffgehalte von Ackerstandorten: Ergebnisse aus der bundesweiten Boden-Dauerbeobachtung und Dauerfeldversuchen

C. Schilli, M. Marx, M. Körschens, M. Kastler, S. Marahrens, F. Glante, G. Lischeid, I. Rinklehe

K VIII Deutsch-Französisches Symposium: Re-use of Brownfields - Evidence and Social Aspects

8:00-10:00 Uhr B006 Vorsitz: Jean Charles Munch

V144 Experiences in brownfield restauration: Conclusions and challenges

J. L. Morel

V145 Reuse of brownfields: Chances, limitations and risks
C. Schwarz

V146 Microbiota and soil remediation: Can we regenerate soils? C. Leyval

V147 From a waste water disposal field to a recreation area in Berlin-Buch: experiences and challenges

G Wessolek

V148 Reuse of brownfields as a driving force in city and land planning D. Grimski

K VI Freie Themen

8:00-10:00 Uhr B005

Vorsitz: Frank Glante

V149 Langzeitwirksamkeit einer temporären mineralischen Oberflächenabdeckung

S. Beck-Broichsitter, H. Fleige, R. Horn

V150 Untersuchungen zur Nährstoffwirkung von Phosphor aus Klärschlammkompost

S. Knorre, S. Bernsdorf, R. Meissner

V151 Mittelfristige Vorhersage der C- & N-Mineralisation mittels Bebrütungsversuch

P. Dominik

- V152 Identifying leaf and tree architectural trait thresholds for throughfall kinetic energy using decision trees

 P. Goebes, K. Schmidt, S. Seitz, T. Scholten
- V153 Bodenerosionsmessungen unter organischem und konventionellem Landbau mit Hilfe kleinräumlicher Messparzellen und künstlicher Beregnung
 S. Seitz, P. Goebes, M. van der Heijden, Z. Song, R. Wittwer, T. Scholten
- V154 Bodenzustandserhebung (BZE) im Land Brandenburg: Gibt es Hinweise für die Notwendigkeit einer Waldkalkung?

 W. Riek, A. Russ, J. Hannemann

K V AG Boden und Archäologie

8:00-10:00 Uhr B139 Vorsitz: Mechthild Klamm

- V155 Angewandte geoarchäologische Methoden auf systematisch durchgeführten Ausgrabungen in Bayern
 S. Berg-Hobohm, B. Kopecky-Hermanns
- V156 Eine holozäne Talfüllung bei Ergersheim, Mittelfranken M. Krech, M. Nadler, B. Terhorst
- V157 Kolluvien als Proxy für Landnutzung- und Besiedlungsgeschichte in Marginalräumen SW Deutschlands

 J. Henkner, T. Scholten, J. Ahlrichs, M. Fuchs, T. Knopf, P. Kühn
- V158 Lipid analysis in forensic pedology -results from recent research and case studies

B. von der Lühe, L. Dawson, R. Mayes, M. Graw, S. Fiedler

V159 Böden zwischen Mesolithikum und Neolithikum. Die "Schwarzerdebefunde" in den rheinischen Lößbörden

E. Eckmeier, R. Gerlach

V160 Befunde und offene Fragen zur Stratigraphie und Bodenentwicklung am archäologischen Fundplatz Ullafelsen im Fotschertal (Tirol, 1860 m)

C. Geitner, D. Schäfer, J. Waroszewski, S. Bussemer

K II Umsatz und Wirkung von Black Carbon und anderen organischen Zusatzstoffen auf die Biogeochemie des Bodens

8:00-10:00 Uhr B138

Vorsitz: Bruno Glaser

V161 Nutzung der natürlichen C-13-Abundanz zur Untersuchung der Stabilität von Biokohlen aus Miscanthus in landwirtschaftlich genutzten Böden M. Gronwald, C. Vos, A. Don, M. Helfrich

V162 Biochar stability in soil: decomposition during 10 years and transformation as assessed by compound-specific 14C analysis

Y. Kuzyakov

V163 Interaktive Alterung verschiedener Biokohlen in einem historischen Meilerund Referenzboden

J. Heitkötter, B. Marschner

V164 Der Einfluss von Biokohle und mit Emschermergel behandelter Biokohle auf das Wasserspeichervermögen, das Pflanzenwachstum und die Nährstoffverfügbarkeit von urbanen Böden im Gewächshausversuch

S. Mever. S. Höke. B. Marschner. B. Stumpe

V165 Zugabe von Biokohle und Ton erhöhen den Nährstoffrückhalt eines tropischen Arenosols

C. Beusch, M. Kaupenjohann

V166 Zugabe von hydrothermal karbonisierter Algenbiomasse erhöht die Stickstoffverfügbarkeit in Böden

A. Lauer, H. Beßler, C. Engels, A. Wagner, M. Kaupenjohann

K I/4 Bodengefüge: Erfassung und Dynamik

10:30-12:30 B052 Vorsitz: Eckart Priesack

- V167 Charakterisierung von Oberflächen von präferenziellen Fließwegen in Bt-Horizonten aus Löß und Geschiebelehm

 M. Leue, S. Peth, H. H. Gerke, D. Uteau-Puschmann, R. H. Ellerbrock, R. Kodesova
- V168 Magnetische Suszeptibilität als Proxy für die Aggregatstabilität von vulkanischen Aschenböden in Südchile
 M. O. Göbel, J. Krüger, H. Fleige, R. Horn, J. Bachmann
- V169 Untersuchungen zu den Steuergrößen der Dispergierungswirkung von Ultraschall: I. Ergebnisse eines Ringversuchs

 M. Graf, G. Kayser, G. Guggenberger, K. Kaiser, F. Büks, M. Kaiser, C. Müller, T. Rennert. M. Schrumpf, G. Welp, F. Lang
- V170 Untersuchungen zur den Steuergrößen der Dispergierungswirkung von Ultraschall: II. Bodenspezifische Anpassung der notwendigen Ultraschallleistung

G. Kayser, M. Graf, F. Lang

V171 Dynamische Bildanalyse von Bodenstrukturen unter einem Langzeitsystemvergleich biologischer und konventioneller Bewirtschaftung in Indien
S. A. Schweizer, M. Graf, N. A. Bhat, B. S. Sisodia, S. Zikeli, G. Cadisch,
G. S. Bhullar

V172 Effects of motion and feeding of the nematode Acrobeloides buetschlii on aggregate stability in a sandy agricultural soil

F. Büks, P. Reger, L. Rueß, M. Kaupenjohann

K IV/1 u. K II Landwirtschaft und organische Bodensubstanz

10:30-12:30 Uhr B051 Vorsitz: Cordula Vogel

- V173 Weidewirtschaft und Bodenkohlenstoffvorräte: Eine globale Analyse S. Spielvogel, J. Weiss, P. Schleuss, J. Hüllen, A. Deggelmann, L. Sauheitl, U. Bange, E. Seeber, Y. Kuzyakov, G. Guggenberger
- V174 Carbon storage capacity of semi-arid grassland soils and sequestration potentials in Northern China

 M. Wiesmeier, S. Munro, F. Barthold, M. Steffens, P. Schad, I. Kögel-Knabner
- V175 Einfluss der Landnutzung auf die Struktur der organischen Bodensubstanz K. Baumann, K. U. Eckhardt, I. Schöning, M. Schrumpf, P. Leinweber
- V176 Sequestrierung organischer Bodensubstanz in Unterböden tiefgepflügter Äcker

 V. Alcantara, A. Don, R. Nieder, R. Well
- V177 Der C-Input bestimmt die organische Bodensubstanz landwirtschaftlicher Böden Auswirkungen eines Strukturwandels

 A. Don
- V178 Einfluss von Mineral-N- und Strohdüngung auf den C_{org}-Gehalt im Boden, die Biomasseproduktion und die N-Verwertung in unterschiedlichen Fruchtfolgen

K. Schweitzer, M. Baumecker, B. Kroschewski

K VIII Deutsch-Französisches Symposium: Böden und Klima

10:30-12:30 Uhr B006 Vorsitz: Heiner Flessa

- V179 Effect of different agronomic management practices on greenhouse gas emissions and nutrient cycling in a long-term field trial *P. Koal, R. Schilling, G. Gerl, K. Pritsch, J. C. Munch*
- V180 Greenhouse gas emissions induced by tillage and fertilisation in an organic grass-clover ley winter wheat sequence

 M. Krauss, R. Ruser, P. Mäder, A. Gattinger
- V181 Nitrous oxide emission fluxes in a variety of land use of the Seine Basin (arable land -conventional and organic crops-, grassland and forest)

 M. Benoit, J. Garnier

- V182 Einfluss von kurzzeitiger Überflutung auf Stickstoffumsetzungen in Auenböden und damit verbundene Lachgas-Emissionen (Vortrag in engl.)

 J. Luster, J. Shrestha, C. Bruderer, P. A. Niklaus, M. Riaz, B. Huber, P. Schleppi,
 R. Barnard, E. Frossard, K. Tockner
- V183 Control of N2O emissions by soil hydraulic funtioning at the local scale C. Hénault. E. Rabot. M. Lacoste. I. Cousin

K VI Bodenfunktionsbewertungen

10:30-12:30 Uhr B005 Vorsitz: Jörg Rinklebe

- V184 Do current European policies support soil functions? K. Helming, N. Glaesner, W. De Vries
- V185 Bewertung ausgewählter Bodenfunktionen von Wattböden im Verlauf der Seekabeltrasse Manslagt Borkum

 B. Schumann, P. Stegmann, L. Giani, L. Makowsky
- V186 Validierung von potenziellen Archivböden Schleswig-Holsteins im Gelände A. Mordhorst, H. Fleige, B. Burbaum, R. Horn
- V187 Boden gut machen Ein Bodenqualitätstest zur Beurteilung des Bodenzustandes im Feld

 C. Emmerling, T. Ruf
- V188 Wärmememission von Hochspannungserdkabelanlagen:Auswirkungen auf Boden und Pflanzen
 P. Trueby
- V189 Management und Schutz von Friedhofsböden I. Zimmermann, H. Fleige, R. Horn

K V AG Humusformen AG Bodengase: Organische Böden-Humusformen, Systematik, Degradation sowie Stoffquelle und -senke

10:30-12:30 Uhr B139 Vorsitz: Gerhard Milbert

- V190 Sind drainierte Moorböden unter forstwirtschaftlicher Nutzung eine Kohlenstoffquelle oder -senke? Ein Fallballspiel aus Finnland
 J. P. Krüger, K. Minkkinen, J. Leifeld, C. Alewell
- V191 Welchen Beitrag kann Moor-Renaturierung zum Klimaschutz leisten?
 M. Drösler, A. Freibauer, B. Tiemeyer, M. Bechtold, J. Augustin, C. Beyer,
 T. Eickenscheidt, S. Fiedler, C. Förster, S. Glatzel, H. Höper

V192 Paramoore und Paraanmoore - Kennzeichnungsprobleme von Moorfolgeböden

A. Bauriegel, J. Zeitz, N. Roßkopf, C. Klingenfuß, H. Fell, D. Kühn

V193 Probleme bei der Ansprache kohlenstoffreicher Böden

K. Krüger, S. Langner, E. Gehrt

V194 Vergleichende Untersuchungen zur Kohlenstoff-Dynamik auf Moorfolgeböden

H. Fell, N. Roßkopf, A. Bauriegel, J. Zeitz

V195 Räumliche Variabilität der THG-Flüsse eines ackerbaulich genutzten, mineralisch überdeckten Niedermoores im Oberrheingraben

M. Ebli, B. Burkhard, S. Fiedler

K II Umsatz und Wirkung von Black Carbon und anderen organischen Zusatzstoffen auf die Biogeochemie des Bodens

10:30-12:30 Uhr B138 Vorsitz: Ruth Ellerbrock

V196 Auswirkungen von Biokohlesubstrat-Gaben zu ertragsschwachen Ackerböden auf das Sickerwasser und die Nährstofffrachten in einem vierjährigen Lysimeterversuch

A. Rademacher, M. Haubold-Rosar

V197 Biochar addition reduces the release of toxic elements under dynamic redox conditions in a contaminated paddy soil

J. Rinklebe, S. M. Shaheen, T. Frohne

V198 Immobilization of historically and freshly applied copper in vineyard soils using compost and biochar-based amendments

E. Deinhofer, S. Johnen, K. M. Keiblinger, W. W. Wenzel, F. Zehetner, M. H. Gerzabek, F. Rosner, G. Dersch, A. Dellantonio, B. Wimmer, G. Pardeller, G. Soja

V199 Immobilisierung von Zink durch Zugabe von pyrogener Biokohle

A. Wagner, M. Kaupenjohann

V200 Ruß in Böden - Quelle oder Senke für PAK?

A. L. Mitze, S. Thiele-Bruhn

V201 Einfluss von Biokohle, Kompost und Biokohlekompost auf die mikrobielle Atmung und Enzymaktivität in einem subtropischen Boden

A. Neuser

Mittwoch, 9. September 2015

K III Bodenorganismen - Pflanzen Interaktionen

8:00 10:00 B052 Vorsitz: Ellen Kandeler

V202 Biogenic weathering along Antarctic chronosequences supporting a phototrophic community succession

M. Aguirre Morales

V203 Rooting patterns of cover crops and soil microbial properties as affected by nitrogen fertilisation

F. Wichern, D. in 't Zandt, M. J. Kanders, C. Berendonk, A. Arico, D. Lehnert, M. Cleven. C. Fritz

- V204 Soil quality, carbon currency and inclusive sustainable approaches O. Dilly
- V205 Egal ob tot oder lebendig? Eine Untersuchung zur Wirkungsweise von Bio-Effektoren im Pflanzenversuch mit Tomate und Mais unter phosphorlimitierten Bodenbedingungen

D. Reinhardt, M. Spohn, S. Marhan, N. Eltlbany, K. Smalla, E. Kandeler

V206 Vegetations- und Düngungseffekte auf die Besiedlungsdichte von arbuskulären Mykorrhizapilzen und die P-Mobilisierung unter Gräsern und Leguminosen

C. Baum, A. Zacher, J. Müller, P. Leinweber

V207 Regulierungs- und Steuerprozesse des Kohlenstoff- und Nährstoffaustausches an der Schnittstelle Mykorrhiza

C. Schneider, A. Andrino, J. Boy, G. Guggenberger

K IV u. K II Einfluss von Landnutzung und Klima auf den Nährstoffhaushalt

8:00-10:00 Uhr B051 Vorsitz: Karl-Heinz Mühling

- V208 Not-wendige Novellierung [des Entwurfes (2014)] der Düngeverordnung (DÜV 2015) von Deutschland hinsichtlich nachhaltiger Nährstoff-Haushalte von Kohlenstoff (C_{org} = Humus), Stickstoff (N), Phosphor (P) und Kalium (K) K. Isermann
- V209 Maßnahmen zur Offenhaltung von Grünlandstandorten: Effekte auf die P-Fraktionen im Boden vierzig Jahre nach Versuchseinrichtung Y. Oelmann, C. Nagel, H. Brauckmann, K. Schreiber, G. Broll
- V210 Hanf als Winterzwischenfrucht Aus durch das Greening?

V211 Spargelanbau und Grundwasserschutz - Ist Grundwasser schonender Spargelanbau möglich?

A. Schwarz, C. Holler, S. Nauheimer, W. A. Bischoff

V212 Changes in the quality and composition of soil organic matter after olive mill waste water application under different climatic conditions in an olive orchard in Bait Reema, Palestinian Authority

N. Tamimi, D. Diehl, G. E. Schaumann

V213 Klimadifferenzierter Einfluss von Landnutzungsänderungen auf die organische Bodensubstanz in südsibirischen Steppenböden

N. Bischoff, R. Mikutta, O. Shibistova, A. Puzanow, E. Reichert, M. Silantjewa, A. Grebennikowa, R. Fuß, F. Schaarschmidt, S. Heinicke, G. Guggenberger

K VI Bodenschutz und Bodenmanagement im urbanen Raum

8:00-10:00 Uhr B006

Vorsitz: Jens Utermann

- V214 Untersuchungen zum Schwermetallrückhalt in standfesten Banketten M. Werkenthin, B. Kluge, G. Wessolek
- V215 Gebiete mit naturbedingten organischen Kohlenstoffgehalten > 1 Masse-% in Unterböden/ im Untergrund und Entwicklung von Umlagerungsempfehlungen
 - S. Höke, M. Kastler, L. Makowsky, F. Rück, A. Hädicke
- V216 Humusstabilität in urbanen Unterböden Konsequenzen für deren Umlagerung

A. Lehmann, N. Billen, S. Willbald, S. Höke, A. Hädicke

V217 Gefügeansprache und Pflanzenbonitur: Bewährte Methodik zur Sicherstellung des Rekultivierungserfolgs im Rahmen der Bodenkundlichen Baubegleitung

S. Sauer, T. Vorderbrügge, M. Peter

V218 Bodenkundliche Baubegleitung: Erfahrungen, Erfolge und Probleme - ein Praxisbericht aus unterschiedlichen Projekten

D. Pecoroni, M. Peter, R. Miller

V219 Bodenkundliche Begleitung beim Bau einer Höchstspannung-Erdkabelleitung in der Westfälischen Tieflandsbucht

T. Weyer, A. Grabe, J. Botschek

٠						_		_					
ı	ĸ	١	/	н	1	ы	rei	- 11	h	Δ	m	ı	n

8:00-10:00 Uhr B005 Vorsitz: Gerd Wessolek

V220 Nationaler BODEN-Atlas Deutschland

K. Kruse, J. Bug, R. Baritz

V221 Das Bodennetzwerk Südbayern - Über den Aufbau einer regionalen Bodenlobby

K. Schacht

V222 Umweltzeichen als Instrument zur Bodenbewusstseinsbildung - Identifikation von potentiellen Zielgruppen

M. Vogel, B. Marschner, R. Antes

V223 Ethnopedologische Analyse der gesellschaftlichen Bodennutzung und des Bodenwissens in Südwestdeutschland

S. Teuber, T. Scholten

V224 Das "Internationale Jahr des Bodens": Aktuelle Themen und öffentliche Aktionen

S. Wagner

V225 Buchprojekt "Von ganz unten"

A. Toland, G. Wessolek

K II Schwermetalle - News from an Old Story

8:00-10:00 Uhr B139 Vorsitz: Christian Mikutta

V226 Gelöste Schwermetallgehalte in Uferbereichen der Unteren Lahn und ihre räumliche Differenzierung in Abhängigkeit von Flussstauungen

J. Hahn, C. Opp, N. Zitzer, G. Laufenberg

V227 Schwermetallgehalte der Leipziger Auenböden und deren Mobilisierbarkeit im Fokus von Renaturierungsmaßnahmen

A. Herkelrath, A. Krüger, B. Schneider, J. Heinrich

V228 Impact of emerging and low cost alternative amendments on the (im) mobilization and phytoavailability of Cd and Pb in a contaminated floodplain soil

S. M. Shaheen, J. Rinklebe

V229 EU-Projekt P-REX: Sekundäre Phosphordünger aus dem Abwasserpfad eine Risikobewertung für den Einsatz in der Landwirtschaft

F. Kraus, M. Kaupenjohann, C. Kabbe, W. Seis, A. Peters

V230 Fate of fertilizer derived U in agricultural soils
M. Bigalke, E. Frossard, M. Wiggenhauser, A. Keller, M. Müller, M. Imseng, C. Kusonwiriyawong, W. Wilcke

V231 Einflüsse der Harmonisierungsmethoden und Unsicherheiten bei der Ableitung von Hintergrundwerten für anorganische Spurenstoffe in Böden F. Stange, L. Konen, F. Krone, W. Duijnisveld

K II Der P-Status von Waldböden - Ursache oder Folge ökosystemarer Wechselwirkungen

8:00-10:00 Uhr B138 Vorsitz: Friederike Lang

- V232 P-Speziierung deutscher Waldböden mittels K-edge XANES-Spektroskopie

 J. Prietzel, F. Werner
- V233 Phosphorus of colloidal forest soil fractions as revealed by liquid-state
 ³¹P-NMR

 A. Missong, R. Bol, S. Willbold, J. Siemens, E. Klumpp
- V234 Dissolved phosphorus species in soil water of forests K. Kaiser, D. Brödlin, F. Hagedorn
- V235 Phosphorfraktionen in präferentiellen Fließwegen von Waldböden D. Julich, M. Kirsten, K. H. Feger
- V236 Sequenzielle Schälung von Bodenaggregaten Eine Methode zur Erfassung chemischer Gradienten in Bodenaggregaten, vorgestellt am Beispiel von Phosphor und Kohlenstoff

 T. Hallas, J. Krüger, F. Lang
- V237 Untersuchung räumlicher Muster der Phosphor-Speziierung in natürlichen Bodenaggregaten mittels NanoSIMS, µXRF und µXANES

 F. Werner. J. Prietzel

K III Bodenorganismen - Pflanzen Interaktionen und freie Themen

10:30-12:30 Uhr B052 Vorsitz: Stefan Schrader

- V238 Einfluss des Rübenzystennematoden auf Ertrag und Evapotranspiration toleranter, anfälliger und resistenter Zuckerrüben

 H. J. Koch, M. Hauer
- V239 Der Einfluss von Vegetation auf die Komplexität initialer Nahrungsnetze und den Verlauf der Primärsukzession in einer Bergbaufolgelandschaft C. Rißmann

V240 Mikrobieller Kohlenstoffumsatze während des Abbaus von Maisstreu - ein Mikrokosmenexperiment
K. Müller, S. Marhan, C. Poll, E. Kandeler

V241 Mikrobielle C:N:P-Stöchiometrie und Nutzung organischen Phosphors bei unterschiedlicher P-Verfügbarkeit

C. Heuck, A. Weig, M. Spohn

V242 Wie reagiert ein N/P kolimitiertes Weideökosystem auf N oder P Anreicherung?

A. Tischer, M. Werisch, F. Döbbelin, T. Camenzind, M. C. Rillig, K. Potthast, U. Hamer

V243 Einfluss eines bepflanzten Bodenfilters auf die Elimination von Bakterien aus dem Ablauf eine Kleinkläranlage unter Berücksichtigung von Antibiotika resistenten Keimen und deren Resistenzgenen

S. Knauth. I. Dobner. T. Eickhorst

K IV u. K II Einfluss von Landnutzung und Klima auf den Nährstoffhaushalt

10:30-12:30 Uhr B051

Vorsitz: Jens Boy

- V244 Einfluss von Abwasserbewässerung und Biokohle auf die Nährstoffauswaschung aus Böden in urbaner Landwirtschaft Westafrikas

 S. Werner. B. Marschner
- V245 Modellierung von Lachgasemissionen in subtropischen Getreide- und Faserkulturen Möglichkeiten zur Mitigation

 H. Mielenz, P. J. Thorburn, C. Scheer, M. J. Bell, M. De Antoni Migliorati, P. R. Grace
- V246 Kohlenstoffänderung durch Landnutzungswechsel in Zentralbrasilien: ein Vergleich der beiden Hauptbodentypen Ferralsol und Acrisol

R. Strey, S. Strey, O. Weber, J. Boy, G. Guggenberger

V247 Biogeochemical and biological responses of a tropical montane ecosystem in Ecuador to environmental change

S. Leimer, A. Velescu, J. M. Peña Herrera, P. Emck, T. Peters, R. Rollenbeck, K. Trachte, J. Bendix, W. Wilcke

- V248 Effekte des Landnutzungswandels in Süd-Ecuador auf die C- und N-Speicherung in unterschiedlichen Fraktionen der organischen Bodensubstanz
 K. Potthast, A. Tischer, A. Potthast, T. Rosenau, U. Hamer
- V249 Decrease of soil carbon stocks and availability by converting tropical forest to oil palm and rubber plantations

T. Guillaume, D. Muhammad, Y. Kuzyakov

Mittwoch

Tagungsprogramm

K V Freie Themen

10:30-12:30 Uhr B006

Vorsitz: Luise Giani

V250 Der Einfluss von Bodeneigenschaften auf das Waldgrenzökoton im Rolwaling Himal, Nepal

M. Müller, T. Scholten

V251 Chronosequenzielle Veränderungen post-agrarischer Böden in verschiedenen Klimazonen Russlands

O. Kalinina, S. V. Goryachkin, D. I. Lyuri, L. Giani

V252 Neue Kennwerte für die Wasserbindung in Böden

U. Dehner, A. Bauriegel, A. Bräunig, B. Burbaum, K. J. Hartmann, F. Idler,

A. Lamparter, W. Martin, K. Meyer, H. P. Schrey, F. Waldmann

V253 Einsatz der Wiki-Technologie für die Methodendokumentation Boden im FISBO BGR

R. Baritz, K. Kruse, J. Bug, M. Heber

V254 Geodaten heute und morgen - Die integrierte geowissenschaftliche Landes-

aufnahme Baden-Württemberg (GeoLa)

F. Waldmann

V255 Bodenflächendaten 1:50.000 Hessen - Differenzierung der Auen auf Grund-

lage der Bodenschätzung

F. Ullrich, V. Herche

K VIII AG Geschichte der Bodenkunde

10:30-12:30 Uhr B005

Vorsitz: Karl Stahr

V256 München "Hauptstadt der Bewegung" - Bau und Boden für die besondere

"Führerstadt"

A. Skowronek

V257 Ausstellung: Der Spaten - ein Bodenbearbeitungsgerät im Wandel der Zeit

(K. Mueller)

K. Mueller

V258 Dan H. Yaalon: Ein Schicksal und ein Lebenswerk

K. Stahr

V259 Julius Fink - Quartärgeologe und Feldbodenkundler

O. nestroy

K II Organische Schadstoffe - Belastungssituation und Verhalten in Böden

10:30-12:30 Uhr B139 Vorsitz: Annette Eschenbach

- V260 Field scale Boscalid residues and DT50 estimation in a sandy soil
 L. Weihermüller, A. S. Karlsson, W. Tappe, S. Mukherjee, S. Spielvogel,
 H. Vereecken
- V261 Klassifikation und Modellierung von nichtextrahierbaren Rückständen aus Pestiziden in Boden
 M. Kästner, K. M. Nowak, A. Miltner, S. Trapp, A. Schäffer
- V262 Bindung und Mobilisierung von Arzneimitteln in mit Abwasser bewässerten Böden und Sediment aus dem Valle del Mezquital, Mexiko M. Carrillo, G. Braun, J. Siemens, C. Siebe, W. Amelung
- V263 Advances in quantum chemical modeling of organic pollutants-soil interaction

A. Ahmed, S. Thiele-Bruhn, O. Kühn, P. Leinweber

- V264 The effect of plant diversity on polycyclic aromatic hydrocarbons (PAHs) and their derivatives in soils: Results from the Jena Experiment

 B. A. Musa Bandowe
- V265 Auf dem Weg zu einer harmonisierten Erhebung und Bewertung der Hintergrundbelastung persistenter organischer Schadstoffe in Böden B. M. Bussian, B. Aichner, P. Lehnik-Habrink, S. Hein, M. Pandelova, B. Henkelmann, K. W. Schramm

K II Der P-Status von Waldböden - Ursache oder Folge ökosystemarer Wechselwirkungen

10:30-12:30 Uhr B138 Vorsitz: Yvonne Oelmann

- V266 Einfluss der Humusform auf die Vorräte an organischem und mikrobiellem P im Mineralboden und die potentielle Bedeutung dieser Fraktionen für die P-Ernährung der Rotbuche (Fagus sylvatica L.)

 D. P. Zederer. U. Talkner
- V267 Reconstruction of the microbial phosphorus turnover in forest soils F. Bergkemper, M. Schloter, S. Schulz
- V268 Konkurrenz zwischen Mikroben und Wurzeln um Phosphor in organischen und mineralischen Horizonten
 T. Zilla, A. Zavi i , M. A. Dippold, A. Polle, Y. Kuzyakov

V269 Saisonale Veränderungen von Phosphor in Hedley-Fraktionen unterschiedlicher Verfügbarkeit unter dem Einfluss von Pflanzenaufnahme: Ergebnisse eines Topfversuches

J. Niederberger, M. Kohler, J. Bauhus

V270 Von der Neuerschließung zum Recycling - Hinweise auf unterschiedliche P-Nutzungsstrategien von Buchenwaldökosystemen entlang eines geologischen P-Gradienten

> F. Lang, J. Krüger, W. Amelung, J. Bauhus, E. Bünemann, E. Frossard, E. Kandeler, K. Kaiser, R. Mikutta, A. Polle, J. Prietzel, M. Schloter

V271 P-Gehalte und -Dynamiken in einem Transekt des Forstgebiets Burgwald (Hessen)

С. Орр

K I Bildgebende Verfahren in den Bodenwissenschafen

13:30-15:30 Uhr B052

Vorsitz: Steffen Schlüter

V272 Strukturen und Prozesse auf der Mikroskala - NanoSIMS in der Bodenkunde

C. W. Mueller, C. Höschen, G. Angst, L. Heinrich, A. Dottl, A. Kölbl, M. Steffens, H. Buddenbaum

V273 Räumlich aufgelöste SOM-Quantifizierung durch NanoSIMS mittels Skalierungsfaktoren

C. Schurig, T. Schrank, C. W. Müller, C. Höschen, L. Pohl, I. Kögel-Knabner

V274 imVisIR: Hochaufgelöste Klassifikation und Elementkartierung der Pseudovergleyung in Parabraunerdeprofilen

S. Kriegs, H. Buddenbaum, D. Rogge, M. Steffens

V275 Imaging VNIR-SWIR-spectroscopy - POM enrichment in longterm ungrazed soil profiles

L. Zeh, D. Rogge, H. Buddenbaum, M. Steffens

V276 Combination of X-ray micro tomography and soil solution studies to analyse root system development and soil chemistry in situ as a response to different N-forms

S. Blaser, D. Vetterlein, E. Thiel

V277 Morphologische Untersuchung der 3D-Architektur von Bioporen mittels Mikrotomographie (μ CT)

M. C. Wittig, D. Uteau-Puschmann, C. Haas, D. Holthusen, R. Horn, S. Peth

Mittwoch

Tagungsprogramm

K II AG Waldböden (1) Auswirkungen forstlicher Bewirtschaftungsmaßnahmen

13:30-15:30 Uhr B051

Vorsitz: Jörg Prietzel

V278 Technische Optimierungsmöglichkeiten von Holzerntemaschinen zur Reduktion von Spannungseinträgen und ihre Aus-wirkungen auf die Bodenstruktur von Waldböden

R. Riggert, H. Fleige, B. Kietz, T. Gaertig, R. Horn

V279 Pionierpflanze oder Dauerbesiedler? Einfluss von Juncus effusus L. auf Strukturbildung und Belüftung verdichteter Waldböden

J. Haas, M. Leibfried, A. Kühne, H. Schack-Kirchner, F. Lang

V280 Accumulation of harvest residues on skid trails: a problem for phosphorus nutrition?

K. Stutz, K. Stüwe, G. Kändler, H. Schack-Kirchner, F. Lang

V281 Die P-Mobilisierungsrate in der organischen Auflage verändert sich durch moderate Zugabe von Nährstoffen in einem tropischen Bergregenwald in Südecuador

K. Dietrich, Y. Oelmann

V282 Kompensation nutzungsbedingter Nährstoffentzüge durch Rinde-Asche-Pellets in Wäldern der Oberlausitz

C. Knust, K. Schua, K. Feger

V283 Natürliche Regeneration von Fahrspuren im Wald: Bodenphysikalische und bodenbiologische Betrachtungen

C. Ebeling, T. Gaertig

K V Bodenschätzung und Bodenbewertung

13:30-15:30 Uhr B006

Vorsitz: Bernhard Keil

V284 Bodenbewertung und Ertragspotentialschätzung von Agrarstandorten in Russland und Kasachstan

L. Müller, V. Hennings, U. Schindler, A. K. Sheudshen, V. G. Sychev, S. M. Lukin, E. N. Smolentseva, O. V. Rukhovich, V. Romanenkov, L. Onishenko, A. S. Saparov, K. Pachikin, A. Otarov, A. Behrendt, F. Eulenstein

V285 Präzisierte Richtwerte der Indikatoren des Müncheberger Soil Quality Ratings für die Anwendung auf deutsche Standortbedingungen V. Hennings. L. Müller

V286 Räumliche Ertragsabschätzung mit dem EPIC Modell und der SOTER-Datenbank unter verschiedenen Management- und Klimaszenarien im Tarim Becken (China)

H. Othmanli, C. Y. Zhao, K. Stahr

V287 Bewertung des Ertragspotentials landwirtschaftlich genutzter Standorte im Großen Kaukasus (Georgien) anhand des "Müncheberg Soil Quality Ratings"

C. Pohlenz, T. Hanauer, B. Vashev, P. Felix-Henningsen

V288 Abschätzung des Erosionsgeschehens in Mittelgebirgslagen durch den Vergleich von Bodenschätzungsdaten der Erstschätzung und aktuellen Nachschätzungen

L. Glaum, V. Herche, H. E. Goldbach, K. Friedrich, T. Vorderbrügge, B. Vashev

V289 Klimaabhängige Simulation der Weizenerträge im Landkreis Gießen mit Bodenschätzungsdaten und dem FarmActor-ExpertN-Modell

B. Vashev, P. S. Parker, F. Gebser, J. Aurbacher

K IV/2 Auswirkungen des Energiepflanzenanbaus

13:30-15:30 Uhr B005

Vorsitz: Axel Don

V290 Können die Spurengasemissionen durch Nitrifikationshemmer reduziert werden?

K. H. Mühling, M. Rohwer

V291 Applikationstechnik und Einsatz von Nitrifikationsinhibitoren beeinflussen gasförmige N-Verluste, N-Düngereffizienzen und N-Bilanzsalden bei Gärrestdüngung

M. Andres, T. Kreuter, J. Augustin

V292 C- und N-Mineralisation von Biokohlen aus Miscanthus und Holzschnitzeln und Priming-Effekt bei Applikation zu zwei verschiedenen Böden
S. Heumann, P. Schrimpf, L. Sauheitl, J. Böttcher

V293 Auswirkungen von Biokohle-Kompost auf verschiedene Bodeneigenschaften unter Agrarholzanbau

F. von Glisczynski, R. Pude, A. Sandhage-Hofmann

V294 Die Lachgasemission nach Gärrestausbringung zu Energiemais wird stark von der Jahreswitterung und vom Standort beeinflusst

J. Augustin, M. Rohwer, S. Fiedler, G. Heintze, M. Pohl, U. Hagemann

V295 Analyse der Bedeutung von Fruchtart, Witterung, Standort und N-Düngung für den Ökosystem-CO₂-Austausch von Energiepflanzen

U. Hagemann, N. Jurisch, S. Fiedler, G. Heintze, M. Pohl, M. Rohwer, J. Augustin

Mittwoch

Tagungsprogramm

K III Freie Themen aus der Bodenbiologie bzw. Bodenökologie

13:30-15:30 Uhr B139

Vorsitz: Christian Proll

- V296 A metabolomics approach to infer organisms-environment interactions in permafrost soils of the Taymyr peninsula, northern Siberia
 - O. Shibistova, V. Ossipov, R. Mikutta, N. Gentsch, G. Zrazhevskaya, B. Wild, J. Schnecker, A. Richter, J. Bárta, P. apek, H. antr ková, N. Lashchinskiy,

S. Evgravofa, A. Gittel, R. Alvez, T. Urich, G. Guggenberger

V297 Linking physicochemical and biological soil characteristics by combined thermogravimetry-evolved gas analysis and respirometry

J. Kucerik, C. Siewert, G. E. Schaumann

V298 Bioverfügbarkeit organischer Substanz aus Permafrostböden: Einfluss von Substratqualität und Temperatur

N. Gentsch, R. Mikutta, O. Shibistova, B. Wild, J. Schnecker, A. Richter, H. Antrková, P. Apek, J. Bárta, R. Fuß, G. Guggenberger

V299 Flächendeckende Ableitung der Wurzelbiomasse auf dem Qinghai-Tibet Plateau aus Klima- und Topographiedaten: zur Eignung verschiedener Transferfunktionen

A. Bosch, C. Dörfer, K. Schmidt, J. He, T. Scholten

- V300 Unterschiede mikrobieller Aktivitätsparameter in Ober- und Unterböden unter fünf Buchenwäldern auf unterschiedlichem Ausgangsgestein

 J. Niebuhr, S. Heinze, P. Dietrich, B. Marschner
- V301 Einfluss von Verteilung, Menge und Größe von Buchenfeinwurzeln auf die C-Dynamik im Ober- und Unterboden einer sandigen Braunerde
 S. Vormstein, M. Kaiser, B. Ludwig

K II Nanopartikel und Kolloide/Transport- und Tiefenverteilung

13:30-15:30 Uhr B138

Vorsitz: Britta Stumpe

V302 Einfluss von kohlenstoffbasierten Nanoröhren auf Sorptions-, Mineralisations- und Mobilisierungsprozesse von organischen Schadstoffen in landwirtschaftlich genutzten Böden

J. Breidenbach, B. Marschner, B. Stumpe

V303 Säulenversuche zur Remobilisierung von sterisch stabilisierten Silbernanopartikeln aus Ackerböden

M. Hoppe, R. Mikutta, J. Utermann, S. Kaufhold, W. Duijnisveld, C. F. Stange, E. Fries, G. Guggenberger

V304 Einfluss von organischer Bodensubstanz auf die Mobilität von Eisenoxid-Kolloiden in Goethit-gecoatetem Sand und in natürlichem Boden

J. F. Carstens, J. Bachmann, I. Neuweiler

V305 Auswirkungen sommerlicher Starkniederschlägen auf den P-Austrag von Dränflächen

D. Zimmer, P. Kahle, C. Baum

V306 Nutrient availability drives dissolved organic matter cycling in a tropical

montane forest of Écuador

A. Velescu, C. Valarezo, W. Wilcke

V307 Biogeochemical Factors Governing Cobalt, Nickel, Selenium, and Vanadium

Dynamics in Periodically Flooded Egyptian North Nile Delta Rice Soils

T. Frohne, J. Rinklebe, S. M. Shaheen, J. White, R. DeLaune

K II AG Waldböden (2) Auswirkungen forstlicher Bewirtschaftungsmaßnahmen

16:00-17:00 Uhr B051 Vorsitz: Jörg Prietzel

V308 Neugliederung der Forstlichen Wuchsregionen auf bodenkundlicher Basis E. Kolb. A. Göttlein

V309 Kohlenstoff- und Nährstoffvorräte von Böden unter Rein- und Mischbeständen von Buche und Douglasie

M. Cremer, J. Prietzel

V310 Vergangenheit, Gegenwart und Zukunft der Versauerung in den Wäldern Bayerns - Ergebnisse aus dem forstlichen Umweltmonitoring

S. Raspe, W. Weis, C. Kölling

K II Nährstoffe in Böden - Spezies und Bioverfügbarkeit

16:00-17:00 Uhr B006 (130)

Vorsitz: Ute Hamer

V311 Silicon cycling and availability in Southeast Asian paddy soils T. Klotzbücher, A. Marxen, D. Vetterlein, F. Leuther, R. Jahn

V312 Rice straw decomposition as a source of plant-available Si in a paddy soil derived from strong weathered soil material

A. Marxen, T. Klotzbücher, D. Vetterlein, R. Jahn

V313 Phosphorrecycling mittels einer Kombination aus Niedertemperaturkonvertierung und thermochemischer Nachbehandlung von Klärschlamm

D. Steckenmesser, C. Vogel, D. Steffens

K V AG Urbane Böden

16:00-17:20 Uhr B005

Vorsitz: Birgit Kocher

- V314 Schutz von Baumwurzeln städtischer Bäume und unterirdischer Infrastruktur in urbanen Gebieten durch die Entwicklung eines selbstverdichtenden Flüssigbodens mit wurzelwachstumshemmenden Eigenschaften V. J. Felde. J. Simon. S. Kimm-Friedenberg. S. Peth. B. Middendorf
- V315 Einsatz bodenbiologischer Indikatoren in Stadtböden U. Hamer, S. Hoeke
- V316 Lasergestützte Quantifizierung der Muldenspeicher unterschiedlicher Pflasterarten

T. Nehls, M. Menzel, G. Wessolek

V317 Vergleich von landwirtschaftlich genutzten urbanen und ländlichen Böden in Westafrika mittels Infrarotspektroskopie

V. Häring, B. Marschner

K V AG Urbane Böden Bodenbewertung in der Planungspraxis

16:00-17:20 B139 Vorsitz: Lutz Makowsky

V318 Eine neue Methode zur Visualisierung des stofflichen Zustands von Böden in Auen Deutschlands

M. Marx, C. Schilli, M. Kastler, C. Kaufmann-Boll, G. Lischeid, J. Rinklebe

V319 Bewertung der Ökosystemleistungen von Moorböden - ein Mehrwert für den Bodenschutz

C. Heller, D. Möller, C. Klingenfuß, J. Zeitz

V320 Bodenphysikalische Eigenschaften organischer Böden und deren Relevanz für die Bodenfunktionsbewertung

N. Roßkopf, A. Bauriegel, M. Facklam, H. Fell, D. Kühn, J. Zeitz

V321 Klimafunktion von Stadtböden am Beispiel Hamburg

A. Eschenbach, S. Wiesner, S. Thomsen, K. Jensen, F. Ament



<u>Tagungsprogramm</u>

K VIII AG Boden in Lehre und Unterricht

16:00-17:00 Uhr B138

Vorsitz: Mohsen Makki

V322 Zum Einsatz von geoökologisch-bodengeographischen Catenen für hochschuldidaktische Lehrpfade in ausgewählten Schutzgebieten des nordostdeutschen Jungmoränenlandes

S. Bussemer, T. Mayer, C. Kunkel, A. Heise

V323 Bodenkommunikation am Umweltbildungszentrum Vrees - das Netzwerk "Landwirtschaft - Energie - Umwelt"

K. Gever

V324 Bruno Braunerde und die Bodentypen

A. Hofmann

K II AG Waldböden Molekulare Marker

17:00-19:00 Uhr Posterausstellung

Vorsitz: Michaela Dippold

P114 Iron cycling in a spruce forest (Wüstebach catchment, Germany) using δ⁵⁶Fe values of different reservoirs

C. Ockert, R. Bol, D. C. Hezel, F. Wombacher, C. Münker, H. Vereecken, W. Amelung

P115 Der Einfluss von integriertem Maisanbau im Nassreisanbau auf die Stickstoffdynamik im Boden

I. Thiemann, Y. He, J. Siemens, N. Brüggemann, W. Amelung, E. Lehndorff

P116 The fate of plant waxes in a forest ecosystem under elevated CO2 concentrations and increased nitrogen deposition

M. Griepentrog, S. Bodé, P. Boeckx, G. Wiesenberg

P117 Quellen und räumliche Verteilung organischer Bodensubstanz in Oberund Unterboden unter Buche

G. Angst, S. John, K. Kirfel, I. Kögel-Knabner, J. Rethemeyer, D. Hertel, C. W. Mueller

K II AG Waldböden P-Status von Waldböden - Ursache oder Folge ökosystemarer Wechselwirkungen?

17:00-19:00 Uhr Posterausstellung

Vorsitz: Jaane Krüger

P118 Einfluss langjähriger Streumanipulation auf mikrobielle Aktivität und Kohlenstoff, Stickstoff und Phosphorfraktionen im Boden eines Buchenwalds M. Spohn, W. Huang

	D. Brödlin, F. Hagedorn, K. Kaiser
P120	Forested Headwater Catchment Analysis on Nanoparticulate and Fine Colloidal Bound Phosphorus N. Gottselig, T. Meyn, V. Nischwitz, C. Halle, H. Vereecken, W. Amelung, R. Bol, J. Siemens, E. Klumpp
P121	Limitiert Phosphor das Wachstum bayerischer Wälder? K. Mellert, W. Weis, T. Schäff, C. Kölling
P122	Ursachen für die kleinräumige Heterogenität der P Mobilität im Boden eines Buchenwaldes T. S. Loeffler, J. Krüger, F. Lang
P123	Effects of soil drying-rewetting cycles on the release of water-soluble organic and inorganic phosphorus in forest soils M. Dinh, M. Spohn, E. Matzner
P124	Mikrodialyse zur Messung des diffusiv verfügbaren Phosphats D. Demand, H. Schack-Kirchner, F. Lang
P125	Niederschlag organischer Substanz in den alkalischen Extrakten der modifizierten Hedley Fraktionierung während der pH Wert Anpassung: Auswirkung auf die Bestimmung des anorganischen Phosphorgehalts M. Kirsten, K. H. Feger, D. Julich
P126	Nährstoffflüsse in den Wäldern Bayerns auf Basis der zweiten Bodenzustandserhebung W. Weis, T. Schäff, C. Kölling
P127	Die Bedeutung von Pilz-Pilz und Bakterien-Pilz Interaktionen für die Phosphordynamik in Waldböden <i>P. Nassal, S. Marhan, E. Kandeler</i>
P128	Study on the effect of silvicultural measures on the vertical distribution of cesium (Cs-137) M. Eden, B. Felbermeier, R. Mosandl , J. Völkel, J. Winkelbauer
P129	Einfluss von Lignin auf ausgewählte Bodeneigenschaften und Funktionen in Waldökosystemen D. Dann, F. Lang
P130	The ability of beech seedlings (Fagus sylvatica) to shape their rhizosphere in order to cope with low phosphorus availability S. Meller, B. Frey, E. Frossard, M. Spohn, J. Luster

Zusammenhänge zwischen bodenökologischen Eigenschaften, Aggregateigenschaften und der Verteilung von Phosphor im Aggregat

Dissolved organic phosphorus (DOP) and its potential role for ecosystem

P119

P131

S. Stahr

K II AG Waldböden Waldböden im Klimawandel

17:00-19:00 Uhr Posterausstellung

Vorsitz: Sandra Spielvogel

- P132 Swiss forest SOC storage driven by climate or historical land-use? S. Gosheva, L. Walthert, P. Niklaus, S. Zimmermann, F. Hagedorn
- P133 Kohlenstoffsequestrierung von Dichtefraktionen aus nährstoffarmen Waldböden Norddeutschlands entlang eines Klimagradienten E. Grüneberg
- P134 Mögliche Einflüsse ausgewählter Standortsmerkmale auf die Trockenstressreaktionen von Eichen in Brandenburg

 J. Hannemann, S. Löffler, W. Riek
- P135 Does long-term N deposition in temperate forest soils affect carbon turnover in different functional soil organic matter pools?

 S. Kloss, M. Aubertin, W. Wanek, S. J. Forstner, K. M. Keiblinger, P. Schleppi, F. Hagedorn, P. Gundersen, M. H. Gerzabek, S. Zechmeister-Boltenstern
- P136 Effekte von Bodenfeuer auf die Stoffdynamik von gelöster und partikulärer organischer Substanz und auf die Bodenatmung in Humusauflagen von Kiefernwäldern in Thüringen

 K. Näthe, B. Michalzik

K II Nährstoffe in Böden - Spezies und Bioverfügbarkeit

17:00-19:00 Uhr Posterausstellung

Vorsitz: Jan Siemens

P137 Spezifische Charakteristika ("Traits") von Gräsern und Kräutern zeigen in einem Pflanzen-Diversitätsexperiment keinen Einfluss auf den Stickstoffgehalt im Boden

N. Hacker, Y. Oelmann, W. Wilcke

P138 The effects of Apatite in the subsoil on wheat root growth and architecture

R. Bol, M. Jin, C. Ockert, A. Schnepf, H. Lewandowski, W. Amelung

P139 Vergleichende Untersuchung und Interkalibrierung verschiedener P-Extraktionsmethoden

J. Schick, S. Kratz, R. Shwiekh, D. Rückamp, E. Schnug

P140 Chemische Charakterisierung der Gärreste und deren Einfluss auf die Auswaschung der leichtlöslichen P-Formen im Boden

E. Heilmann, S. Bachmann, D. Zimmer, J. Kruse, B. Eichler-Löbermann, P. Leinweber

P141 Placement of Pseudomonas sp. PRORADIX around NH_4 +-based fertilizer depots in maize stimulates root exploitation of the fertilizer depot in soil *P. Nkebiwe, M. Weinmann, G. Neumann, T. Müller*

	K	Ш	Nano	partikel	und	Xenobiot	ika
--	---	---	------	----------	-----	----------	-----

17:00-19:00 Uhr Posterausstellung Vorsitz: Gerald Jandl, Rüdiger Reichel

- P142 Contamination of Plant Foods with Nicotine: An Overview H. El-Ramady, N. A. Abdalla, T. A. Alshaal, A. S. Elhenawy, M. Amer, A. S. Shehata, J. Paulsen, M. Kleinwächter, D. Selmar, H. Taha
- P143 Einfluss von Holzhackschnitzelzugabe unterschiedlicher chemischer Qualität auf den Abbau von Rohöl im Boden
 G. Jandl, A. Rodríguez Arranz, C. Baum, P. Leinweber
- P144 Effect of plastic mulches on mycobiome and mycotoxin risk in soil

 K. Munoz Sepulveda, M. Schmidt-Hevdt, D. Diehl, D. Stoll, G. E. Schaumann
- P145 Quantitäten und Qualitäten der Kohlenstoffflüsse durch Winderosion ein Prozess mit Klimarelevanz?

 R. Funk, M. Leue, C. Hoffmann, M. Sommer
- P146 EDTA application to the soil affects plant uptake of macro- and micronutrients

 E. Bloem, S. Haneklaus, R. Hänsch, E. Schnug
- P147 Verhalten von organischen Schadstoffen in Permafrost beeinflussten Böden

A. Zschocke, A. Eschenbach

- P148 Persistente organische Schadstoffe in Böden und Sedimenten des Südkaukasus Das unsichtbare Erbe der Sowjetunion M. Schatz, E. Babayev, L. Böhm, B. Kalandadze, R. A. Düring
- P149 Freisetzung von Antibiotika aus mit Abwasser bewässerten Böden und Sediment durch Tenside und Abwasserbehandlung
 G. Braun , M. Carrillo, J. Siemens, W. Amelung
- P150 Stabilität von Ag und TiO₂ Nanopartikeln in Böden N. Volk, S. Klitzke, M. Kaupenjohann, F. Lang
- P151 Einfluss der Porenwassergeschwindigkeit und der elektrischen Leitfähigkeit auf DOC- Konzentrationen in ungestörten Bodensäulen eines anthropogen überprägten Moorstandorts N. Pfaffner, B. Tiemeyer, K. Kaiser, S. Fiedler

<u>Tagungsprogramm</u>

K II Schwermetalle - News from an Old Story

17:00-19:00 Uhr Posterausstellung

Vorsitz: Jörg Rinklebe

- P152 Anorganische Hintergrundwerte in Elbauen von Sachsen-Anhalt K. J. Hartmann, R. Jahn, W. Kainz, U. Langer
- P153 Ableitung von Hintergrundwerten für anorganische Spurenstoffe in Böden am Beispiel von Arsen

 L. Konen, W. H. Duijnisveld, C. F. Stange, F. Krone
- P154 Substratübergreifende Sorptionsisothermen für Arsenat und Vanadat D. Rückamp, J. Utermann, F. Stange
- P155 Ergebnisvergleich von Spurenelementanalysen aus Königswasser- und Königswasser/Mikrowellen-Aufschlüssen

 W. Kainz, F. Stange

K III Freie Themen aus der Bodenbiologie bzw. Bodenökologie

17:00-19:00 Uhr Posterausstellung

Vorsitz: Christian Poll

- P156 Beeinflusst die Landnutzungsintensität die Ressourcenverteilung innerhalb der mikrobiellen Bodengemeinschaft? Ein Mikrokosmen-Feldexperiment A. Gebala, S. Marhan, T. Rennert, E. Kandeler
- P157 SoilReg Mikrobielle Regulation von Bodenfunktionen in Agrarökosystemen
 H. Pagel, E. Kandeler, J. Seifert, A. Camarinha-Silva, P. Kügler, T. Rennert, T. Streck

H. Pagei, E. Kandelei, J. Sellert, A. Camarinna-Silva, P. Kuglei, T. Kerinert, T. Streck

- P158 New method for the simulation of tides in mesocosms in order to analyze C turnover and soil respiration

 T. Dinter, Y. Kuzyakov
- P159 Einfluss der Bodenbearbeitungsintensität und Nutzung nach Umbruch von Pappel und Weidenplantagen auf die organische Bodensubstanz

 C Wachendorf
- P160 Einfluss der Bodenbearbeitungsintensität auf die Interaktion von Bodenfeuchte, Temperatur und mikrobiellen Umsatz
 S. Faust, H. J. Koch, R. G. Jörgensen
- P161 Temperature sensitivity of microbial-mediated soil organic matter decomposition: Predicting factors at the regional scale

 R. S. Ali, C. Poll, J. Ingwersen, M. S. Demyan, E. Kandeler

- P162 Accumulation of Bt-toxins and their effects on microorganisms in paddy soil systems during consecutive cultivations of Bt-rice

 L. Liu, S. Knauth, H. Schmidt, T. Eickhorst
- P163 Einfluss von Pflanzenkohle und Bodentemperatur auf die Aggregatdynamik, C-Fraktionen und Basalatmung eines Lössbodens

 D. Grunwald, M. Kaiser, C. Bamminger, C. Poll, S. Marhan, B. Ludwig
- P164 The protozoic Si pool in temperate forest ecosystems Quantification, abiotic controls and interactions with earthworms

 D. Puppe, O. Ehrmann, D. Kaczorek, M. Wanner, M. Sommer
- P165 Spatial and temporal dynamics of earthworm communities in an alley cropping system

 M. Potthoff, N. Lamersdorf, J. Isselstein
- P166 Steuerungsmechanismen der Kohlenstoffspeicherung in Mangrovenböden die P/N-Wippe im Mangrovenwald

 J. Weiss, C. Weiss, R. Mikutta, G. Guggenberger, J. Boy
- P167 Einfluss von Holzkohle als Bodenzuschlagsstoff auf die Pflanzenentwicklung von Brassica rapa subsp. pekinensis und das Vermeidungsverhalten von Eisenia fetida

 C Metz
- P168 In die Tiefe gehen?! Quantifizierung der vertikalen Abundanz von Feinwurzeln in Tiefenprofilen in Altbuchenwäldern auf unterschiedlichem geologischem Substrat.

 K. Kirfel. S. Heinze. D. Hertel. C. Leuschner

KIII freie Themen und AG Humusformen

17:00-19:00 Uhr Posterausstellung

Vorsitz: Christine Wachendorf

- P169 Biological indicators of topsoil formation a case study from forest sites in Estonia
 - U. Graefe, R. Kõlli, G. Milbert, G. Broll
- P170 Räumliche Modellierung von Humusformen und Enchyträen in zwei italienischen Alpentälern auf der Basis von GIS und Fuzzy-Logik
 N. Hellwig, U. Graefe, D. Tatti, K. Anschlag, J. M. Gobat, G. Broll
- P171 Die Humusauflage als essentielles Waldbodenkompartiment für die Nährstoffversorgung von Waldökosystemen

 J. Krüger, K. Kaiser, F. Lang

<u>Tagungsprogramm</u>

K V AG Boden und Archäologie

17:00-19:00 Uhr Posterausstellung

Vorsitz: Eileen Eckmeyer

- P172 Bodenkundliche Befunde im Bereich zweier neolithischer Steinkammergräber am Hellweg bei Soest (Westfälische Tieflandsbucht)

 H. Betzer
- P173 Eine fraktionierende Phosphatprospektion im Bereich der vorgeschichtlichen Siedlung auf der Milseburg (Ldkr. Fulda, Hessen)

 C. Weihrauch, C. Opp, V. Makowski
- P174 Natürliche Entwicklung und anthropogene Veränderung von Böden in einer früh- bis postklassischen Maya-Siedlung in Mexiko

 K. Kothieringer, K. Lambers
- P175 Auswertung archäologischer Grabungsakten für die bodenkundliche Landesaufnahm

 D. Kühn. H. Müller. S. Schwarzländer
- P176 "urbs libzi"- Bodenkundliche Untersuchungen zur frühen Stadtgeschichte an der "Hainspitze" in Leipzig

 B. Schneider, C. Tinapp, S. Heinrich, P. Schug
- P177 Böden im Kontext der historischen Landnutzung in der Umgebung zweier Siedlungen in Nordjordanien

 B. Lucke. G. Schörner
- P178 Römisch-kaiserzeitliche Bootslandeplätze und Warenumschlagplätze im Bereich der Allermündung

 1 Brandt
- P179 Daily life in a late antique city element mapping and biomarker analyses
 J. J. Birk, S. Fiedler, M. Surek, K. Horn, V. Ivani evi , I. Bugarski, R. Schreg
- P180 Biomarker für Fäkaleinträge Steroidsignaturen in Dung alter Nutztierrassen, Kompost und archäologischem Bodenmaterial

 K. Prost, P. L. Bradel, F. Lauer, E. Lehndorff, R. Gerlach, W. Amelung
- P181 Boden- und Münzkunde im Wandel der Zeit Eine Zwischenbilanz aus bodenkundlicher Sicht

 H. Ulonska

K V AG Bodensystematik

17:00-19:00 Uhr Posterausstellung

Vorsitz: Ernst Gehrt

P182 Klimaschutzfunktion von Bodennutzungen - eine Erfassungs- und Bewertungsmethode auf Regionalebene

F. Rück

P183 Bodenübersichtskarte 1:200.000 (BÜK200) - Status 2015 D. Krug, U. Stegger, E. Eberhardt

P184 Die Parabraunerde aus mehrschichtigem Lösslehm als eine Leitform der äolisch geprägten Bodenlandschaften Südwestdeutschlands

M. Kösel

P185 Knickmarsch- Was ist das?

O. Donnerhack. E. Gehrt

P186 Grundlagen der Nutzung von Gammaspektrometrie zur nicht invasiven Erkundung von Bodeneigenschaften 1: Überprüfung der spezifischen Schwächungskoeffizienten von Wasser, Kalk und organischer Substanz N. Reinhardt, L. Herrmann

P187 Berechnung und Regionalisierung von Kohlenstoffvorräten rheinland-pfälzischer Böden

T. Sauer, U. Dehner, T. Wiesner, E. D. Spies

P188 The layered subsurface - periglacial slope deposits as crucial elements for soil formation and interflow within the Critical Zone CZ

J. Huber, M. Leopold, J. Völkel

P189 Bundesweite Vereinheitlichung der INSPIRE-konformen Bereitstellung von Bodendaten der Staatlichen Geologischen Dienste

E. Eberhardt, A. Bauriegel, M. Goldschmitt, K. Hartmann, W. Martin, H. Schrey, F. Waldmann

P190 Bodenkundliche Untersuchungen auf ausgewählten Moorstandorten in Rheinland-Pfalz

B. vom Lehn, U. Dehner

K V AG Digital Soil Mapping

17:00-19:00 Uhr Posterausstellung

Vorsitz: Karsten Schmidt

P191 Reliefparameterbasierte Bodenmustervorhersage im Kraichgau zur Verbesserung der Bodenkarte 1: 50 000 von Baden-Württemberg

C. Fritz. B. Schumacher, F. Baumann, B. Mächtle, W. Fleck

- P192 Vergleich bodennaher und fernerkundlicher Gammaspektrometrie zur Charakterisierung der räumlichen Heterogenität von Böden auf der Feldskala G. Welp, T. Heggemann, A. Rodionov, A. Steuer, M. Ibs-von Seht, W. Amelung, S. Pätzold P193 Einsatz von hochauflösenden DGMP zur Ausgrenzung von Bodenkarten und Grundwasserflurabständen in vollhydromorphen Standortsmosaiken am Beispiel der forstlichen Standortskarte des Oberen Spreewaldes (Brandenburg) A. Konopatzky, J. Hannemann P194 Mobile Gamma-Spektrometrie zur Detektion von Texturparametern in Böden aus unterschiedlichen Substraten T. Heggemann, G. Welp, S. Koszinski, S. Pätzold P195 Nutzen von kleinräumigen Feldbodenkarten im teilflächenspezifischen Pflanzenbau S. Hinck, H. Kolata, N. Emeis, K. Mueller P196 Hubschraubergestützte und bodennahe Gamma-Spektrometrie in der nordostdeutschen Jungmoränen-Bodenlandschaft S. Koszinski, T. Heggemann, M. Ibs-von Seht, S. Pätzold, H. Petersen, A. Steuer, G. Welp, M. Sommer P197 Reliefklassifizierung für die Erstellung von Bodenkarten anhand von geomorphons (GRASS GIS) F. Gruber, J. Baruck, A. Simon, C. Geitner P198 Regionalisierung bodenchemischer Kennwerte für die forstliche Standortserkundung in Sachsen D. Ziche, E. Grüneberg, J. Höhle, R. Gemballa, F. Jacob, N. Wellbrock, H. Andreae P199 Messung der elektrischen Leitfähigkeit zur Charakterisierung von Feldstrukturen P. Pohlig, L. Weihermüller, C. von Hebel, J. van der Kruk, H. Vereecken P200 Eignung der Gammapektrometrie zum Kartieren der Mächtigkeit und C-Vorräte von Moorböden N. Billen, L. Herrmann, S. Kern, H. Kuhfeld P201 Nachhaltige Landnutzung innovativ - Hochauflösende Standortmodellierung als zukünftiges Planungsinstrument in Baden-Württemberg
- P. Gries, L. M. Funke, F. Baumann, K. Schmidt, T. Behrens, T. Scholten
- P202 Entwurf einer digitalen, Layer-strukturierten Bodenkarte am Beispiel Südtirol J. Baruck, F. E. Gruber, G. Geitner
- P203 Schätzung von Bodeneigenschaften mit VIS-NIR Spektroskopie - Möglichkeiten der Modellübertragung und Effekte des Spiking M. Vohland, M. Seidel, M. Ludwig, M. Harbich, O. Nitzsche, B. Ludwig, S. Thiele-Bruhn

Tagungsprogramm

K V AG Paläopedologie

17:00-19:00 Uhr Posterausstellung

Vorsitz: Frnst Gehrt

P204 Signale klimabedingter Extremwettereignisse in Mooren des Ammergebirges und seines Vorlandes (TUM Critical Zone Observatory)

D. Schwindt, J. Völkel, J. Winkelbauer

P205 Charakterisierung der klimatisch und anthropogen bedingten Hang- und Auendynamik im Einzugsgebiet der Ammer anhand geophysikalischer Prospektion (TUM Critical Zone Observatory)

P. Waltl, D. Schwindt, J. Völkel

P206 Farbmessungen zur Charakterisierung interstadialer Löss-/Paläobodensequenzen

B. Terhorst, S. Meyer-Heintze, T. Sprafke, C. Schäfer

K V AG Urbane Böden

17:00-19:00 Uhr Posterausstellung

Vorsitz: Ernst Gehrt

P207 Städtische Oberbodenfeuchte beeinflusst die lokale Lufttemperatur

S. Wiesner, F. Ament, A. Eschenbach

P208 Kriegsbeeinflusste Böden: Untersuchung von Bodenaufbau und Lage-

rungsdichte an zwei Standorten

M. Winkler, B. Steinweg, S. Harnischmacher

K VI Bodenschutz und Bodenmanagement im urbanen Raum

17:00-19:00 Uhr Posterausstellung

Vorsitz: Andreas Lehmann

P209 Mobilität von Cadmium aus Farbpigmenten in klärschlammgedüngten Böden

U. Kalbe, N. Bandow, A. Meißner-Wiesner, F. Simon

P210 Veränderungen chemischer und physikalischer Bodeneigenschaften auf

Hochbaustellen

B. Marx, C. Schilli, J. Rinklebe



Tagungsprogramm

K VI Freie Themen

17:00-19:00 Uhr Posterausstellung

Vorsitz: Silke Höke

P211 Wirtschaftsdüngermanagement - ein Beitrag zum klimafreundlichen Bodenmanagement in Westsibirien

M. Störrle, H. J. Brauckmann, G. Broll

P212 Schadstoffbelastung der Böden langjährig betriebener, dezentraler Regenwasserversickerungsanlagen

B. Kluge, A. Markert, M. Facklam, G. Wessolek

P213 Kohlenstoff- und Stickstoffmobilität in Landschaften im Umbruch auf Basis kolluvialer und alluvialer Prozesse

J. Völkel, I. Kögel-Knabner, H. P. Schmid

- P214 Sulfatfreisetzungspotential und -dynamik aus Trümmerschuttböden S. Abel. T. Nehls. G. Wessolek
- P215 Nach Substrat- und Bodeneigenschaften gruppierte forstliche Befundeinheiten als Auswertungsstraten für Waldernährungsdaten

 U. Talkner, W. Riek, I. Dammann, M. Kohler, K. J. Meiwes
- P216 Phosphor-Verfügbarkeit in Waldböden der bundesweiten Bodenzustandserhebung (BZE)

M. Kohler, J. Niederberger, J. Bauhus

P217 Boden in der Dauerbeobachtung: Ergebnisse der 15-jährigen Datenerfassung der Ökosystemaren Umweltbeobachtung in den Biosphärenreservaten Brandenburgs

R. Bartsch. T. Lüdicke. V. Luthardt

P218 Bodenbearbeitungssysteme und deren langfristige Auswirkung auf die Metalldynamik in Agrarökosystemen

C. Breitstadt, B. Vashev, R. A. Düring

K VI Nicht stofflicher Bodenschutz: Bodenerosion und Bodenschadverdichtung

17:00-19:00 Uhr Posterausstellung

Vorsitz: Jens Utermann

P219 Rückegassen als Wald-Infrastruktur - Förderung natürlicher Regenerationsprozesse unter Berücksichtigung ökonomischer und ökologischer Belage

H. Fründ, A. Averdiek, G. Clemens, C. Ebeling, F. Moczia, M. Müller-Inkmann,

O. Hemker, H. von Dressler, T. Gaertig

Tagungsprogramm

- P220 Die neue Kartieranleitung zur Erfassung aktueller Wassererosionsformen J. Botschek, N. Billen, R. Brandhuber, J. Bug, D. Deumlich, R. Duttmann, D. Elhaus, K. Mollenhauer, V. Prasuhn, C. Röder, W. Schäfer, A. Thiermann, E. Unterseher, D. Wurbs
- P221 Comparison of erosion modelling based on high-resolution radar rain data with aerial photo erosion classification
 - M. Kistler, F. Fischer, R. Brandhuber, K. Auerswald
- P222 Entwicklungen zur Bestimmung der Regenerosivität D. Deumlich
- P223 Erstellung von 3D-Oberflächenmodellen im Submillimeterbereich für die Bodenerosionsforschung
 T. Scholten, M. Ahner, P. Goebes, S. Seitz, Z. Song, K. Schmidt
- P224 Auswirkungen verschiedener Bodenbearbeitungsverfahren auf ausgewählte Bodeneigenschaften eines Praxisversuchs in Mecklenburg-Vorpommern *P. Kahle, G. Korn, E. Lehmann*
- P225 Integration von Bodenschutzmaßnahmen in urbane Konzepte zur Klimaanpassung
 M. Kastler, C. Molt, M. Steinrücke, S. Höke, D. Vogt-Sädler

Abdalla, N. A.	P142	Arico, A.	V203
Abel, S.	P214	Armbruster, M.	V60
Abrigata, J.	P49	Aubertin, M.	P135
Achtenhagen, J.	V53	Auerswald, K.	P221
Aguirre Morales, M.	V202	Augustin, J.	V16, V18, V117,
Ahl, C.	P33		V191, V291,
Ahlrichs, J.	V157		V294 , V295, P19,
Ahmad, I.	V79 , P61		P78, P79, P85
Ahmed, A.	V263	Aurbacher, J.	V289
Ahmed, M.	V132	Averdiek, A.	V121 , P219
Ahne, M.	V94	Ayasse, M.	V111
Ahner, M.	P223	Babayev, E.	P148
Ahrends, B.	P9	Babin, D.	P38
Aiad, M.	P107	Bach, I.	P106
Aichner, B.	V265	Bachmann, J.	V53, V128, V168,
Al-Sharif, R.	V61	Da alama anno C	V304, P7, P28
Albiac Borraz, 2.	P78	Bachmann, S.	P140
Albiac Borraz, E.	V18, P19	Balykin, D.	V5
Alcantara, V.	V176 , P90	Bamminger, C.	V46 , V89, P163
Alder, S.	V92	Bandow, N.	P209
Alewell, C.	V190 P161	Banfield, C.	V108 V173
Ali, R. S.	P142	Bange, U.	
Alshaal, T. A. Alvez, R.	V296	Baritz, R. Barkusky, D.	V220, V253 V117
Amberg, F.	P108	Barnard, R.	V182
Amelung, W.	V48, V65, V85 ,	Bárta, J.	V296, V298
Amelang, w.	V105, V124,	Barth, F.	V24
	V142, V262,	Barthold, F.	V174
	V270, P48, P60,	Bartsch, R.	P217
	P62, P91, P113,	Baruck, J.	P197, P202
	P114, P115, P120,	Bauer, T.	P6
	P138, P149, P180,	Bauhus, J.	V269, V270, P216
	P192	Bauke, S. L.	P62
Ament, F.	V321, P207	Baum, C.	V206 , V305, P143
Amer, A. S.	V34	Baumann, F.	P191, P201
Amer, M.	P107 , P142	Baumann, K.	V175
Andreae, H.	P198	Baumecker, M.	V178
Andres, M.	V16, V291 , P74	Baumgarten, A.	P43, P110
Andrino, A.	V54 , V207	Baumgarten, W.	V94
Andruschkewitsch, R.	P96	Bauriegel, A.	V192, V194,
Angst, G.	V104, V118,		V252, V320, P189
	V272, P117	Bechtold, M.	V18, V37, V66,
Anisimova, M.	P53		V191, P8 , P73
Anschlag, K.	P170	Beck-Broichsitter, S.	V149
Antes, R.	V222	Becker, H.	P112
Antrková, H.	V296, V298	Becker, J. N.	P111
Apek, P.	V296, V298	Becker, R.	V103
Apelt, B.	P76	Bednorz, D.	P2
Apostel, C.	V106	Beetz, S.	V18

Behrendt, A. Behrens, S. Behrens, T. Beisecker, R. Bell, M. J. Benbi, D. K. Bendix, J. Bengough, G. Benke, M. Benning, R. Benoit, M. Bensemann, M. Bensemann, M. Bentz, J. Berendonk, C. Berg-Hobohm, S. Berger, K. Bergkemper, F. Berli, M. Berner, D. Bernsdorf, S. Bertmer, M. Beßler, H. Betzer, H. Beusch, C. Beyer, J. C. Beyer, J. C. Beyer, J. C. Bejert, K. Bigalke, M. Billen, N. Bimüller, C. Birk, J. J. Bischoff, J. Bischoff, S. Bischoff, S. Bischoff, S. Bischoff, S. Bischoff, S. Bischoff, S.	V284 V43, V44 V90, V123, P201 V19, V138, P112 V245 P92 V247 V40 P80 V9 V181 P92 V4 V103, V203 V155 P13 V267 V75 V88 V133, V150 V35 V166 P172 V165 V191 V18 P53 V171 V171 P56 V130, V131, V230 V101, V216, P200, P220 V102 P179 P2, P45 V213 V67, V68 V211, P93, P99	Bönecke, E. Böttcher, J. Bol, R. Bonkowski, M. Bork, M. Borken, W. Bornemann, L. Børresen, T. Bosak, V. Bosch, A. Bossa, A. Botschek, J. Boy, J. Bradel, P. L. Bräunig, A. Brandhuber, R. Brandl, S. Brandt, I. Brauckmann, H. J. Brauc, G. Brax, M. Breidenbach, A. Breidenbach, J. Breitstadt, C. Brock, C. Brödlin, D. Bruderer, C. Bruderhofer, N. Brückner, H. Brüggemann, N. Brümmer, C. Brunn, M. Brunotte, J. Buchemann, C.	V76 V13, V292 V66, V233, P114, P120, P138 P46 P68 V6 V48 P3 P87 V299 P91 V219, P220 V54, V83, V207, V246, P35, P166 P180 V252 P220, P221 V10 P178 V209, P211 V262, P149 P36 V119 V302 P218 V139, P94, P98 V234, P119 V209, P170, P211 V182 V70 V61 P69, P71, P115 V16 V110 V122 P80 V2, V4
Bischoff, W. A.	V211, P93, P99	Buchmann, C.	V2, V4
Bittelli, M.	V74	Buczko, U. Buddenbaum, H. Buegger, F.	P85
Bitz, I.	P67		V272, V274,
Blasch, G.	V100		V275
Blaser, S.	V276 , P108		P38
Bloem, E.	P146 P116 P116	Büks, F.	V169, V172
Bodé, S.		Bünemann, E.	V270
Boeckx, P.		Bug, J.	V23 , V220, V253,
Boeddinghaus, R.	V88	Bugarski, I.	P220
Böhm, L.	V51 , P148		P179

Burbaum, B.	V186, V252	Deumlich, D.	P220, P222
Burkhard, B.	V195	Dickopp, J. E.	V57 , P82
Busch, M.	P25	Diehl, D.	V34, V212, P144
Bussemer, S.	V160, V322	Dietrich, K.	V281
Bussian, B. M.	V265	Dietrich, N.	P105
Cadisch, G.	V171	Dietrich, P.	V56 , V118, V300
Camarinha-Silva, A.	P157	Dilly, O.	V204
Camenzind, T.	V242	Dinh, M.	P123
Campbell, G.	V242 V74		P158
		Dinter, T.	
Cao, C. H.	P88	Dippold, M.	V106, V108,
Carminati, A.	V74, P17, P23,		V109, V129,
6 ''' 14	P36	5.1	V268, P111
Carrillo, M.	V262 , P149	Dobner, I.	V243
Carstens, J. F.	V304	Döbbelin, F.	V242
Cerli, C.	V49	Döhler, S.	P5
Christen, O.	P2, P45, P108	Dörfer, C.	V299
Cisek, P.	V74	Dohrmann, R.	P67
Claß-Mahler, I.	V44	Dominik, P.	V151
Clemens, G.	P97, P219	Don, A.	V56, V161, V176,
Cleven, M.	V203		V177 , P25, P90
Clissmann, F.	P46	Donnerhack, O.	P185
Condron, L.	V110	Dorau, K.	V50
Conze, N.	V65	Dottl, A.	V272
Cousin, I.	V183	Drösler, M.	V18, V58, V191
Cremer, M.	V309	du Preez, C. C.	P48
	P56	Düring, R. A.	
Crow, S. E.		Duijnisveld, W.	V51, P148, P218
Dalla Valle, N.	P21	Dulji ilsvela, vv.	V231, V303,
Dambeck, R.	V120	D. It- C	P153
Damm, B.	P5	Dultz, S.	V52
Dammann, I.	P215	Dupliy, E.	V13
Dann, D.	P129	Durner, W.	V75, P8, P11
Dannehl, T.	P94	Duttmann, R.	V122, P220
Dawson, L.	V158	Ebeling, C.	V283 , P219
De Antoni Migliorati, M	. V245	Eberhardt, E.	P183, P189
de Blécourt, M.	P18	Ebli, M.	V18, V195
de la Haye, T.	V98	Eckhardt, K. U.	V175, P229
De Vries, W.	V184	Eckmeier, E.	V61, V159
Dechêne, A.	P35	Eden, M.	P128
Deenik, J. L.	P56	Ehrmann, O.	P164
Deggelmann, A.	V173	Eibisch, N.	P8, P39
Dehner, U.	V252 , P187, P190	Eichhorn, J.	V8
Deinhofer, E.	V198	Eichler-Löbermann, B.	P140
DeLaune, R.	V307	Eickenscheidt, T.	V18, V58 , V191
Dellantonio, A.	V198	Eickhorst, T.	V243, P162
Demand, D.	P124	Eickmeier, M.	V50
Demyan, M. S.	P161	Eilers, R.	V27
Deppe, M.	P64	El-Ramady, H.	P107, P142
		3.	
Dersch, G.	V198, P110	Elbracht, J.	P67
Dettmann, U.	V37	Elhaus, D.	P220

Elhenawy, A. S.	P107, P142	Franko, U.	V76, V116, V139,
Ellerbrock, R.	V36 , P30		V140 , P104
Ellerbrock, R. H.	V33, V167	Freibauer, A.	V18, V191, P73
Eltlbany, N.	V205	Frey, B.	P70, P130
Emck, P.	V247	Friedrich, K.	V288
Emeis, N.	P195	Fries, E.	V303
Emmerich, K.	V114	Fritsch, S.	V134
Emmerling, C.	V87, V187 , P41,	Fritz, C.	V203, P191
Emmermig, C.	P103	Fritz, M.	P101
Engels, C.	V166	Froehlich, B.	P34
Eschenbach, A.	V321 , P18, P29,	Frohne, T.	V197, V307
Escricinador, A.	P147, P207	Frossard, E.	V130, V182,
Eulenstein, F.	V284, P10	11033814, L.	V230, V270, P130
Evers, J.	V8	Frühauf, M.	V5
•			
Evgrafova, A.	V42, P37	Fründ, H. C.	V121, P219
Evgravofa, S.	V296	Fuchs, E.	V109
Facklam, M.	V73, V320, P212	Fuchs, M.	V157
Falk, W.	V10	Funk, R.	P145
Faust, S.	P160	Funke, L. M.	P201
Feger, K. H.	V235, V282, P22,	Fuß, R.	V213, V298, P8,
Falls aurea sian. D	P125		P39, P73, P74 ,
Felbermeier, B.	P128	Calabria C	P83
Felde, V. J.	V314	Gabiri, G.	P69
Felix Op de Hipt, F.	P91	Gaertig, T.	V278, V283, P219
Felix-Henningsen, P.	V28, V287, P57	Gan, H. Y.	V113
Fell, H.	V192, V194 ,	Garcia Alba, J.	P19
	V320	Garnier, J.	V181
Fér, M.	V13	Gattinger, A.	V43, V180
Ferrari, A.	V70	Gebala, A.	P156
Fiedler, S.	V18, V49, V158,	Gebert, J.	P29
	V191, V195,	Gebser, F.	V289
	V294, V295, P69,	Gehrt, E.	V27 , V193, P185
	P79 , P85 , P151,	Geitner, C.	V160 , P197
	P179	Geitner, G.	P202
Filipzik, J.	P21	Gelbrecht, J.	P79
Filser, S.	V3	Gemballa, R.	V97, P198
Finckh, M.	V24	Gensior, A.	P80
Fischer, F.	P221	Gentsch, N.	V296, V298
Fleck, S.	V20	Georgiadis, A.	P63
Fleck, W.	P191	Gerke, H.	V36, V41, V135,
Fleige, H.	V3, V149, V168,		V136, V167
	V186, V189,	Gerl, G.	V179
	V278, P3	Gerlach, R.	V159, P180
Flessa, H.	V56, P64, P80,	Germer, K.	P11
	P83	Gerstmann, H.	V22
Förster, C.	V191	Gerzabek, M. H.	V198, P135
Forstner, S. J.	P135	Geyer, K.	V323
Foth, C.	V94		
Frank, S.	V66		

Giani, L.	V26, V27, V29,	Guggenberger, G.	V42, V54, V69,
Giebels, M. Giese, H. Giesemann, A. Giro, N. Gittel, A.	V185, V251, P102 V18, P78 V94 V45 P53 V296		V83, V98, V119, V128, V169, V173, V207, V213, V246, V296, V298, V303, P35, P37,
Glaesner, N. Glante, F.	V184 V143	Guhr, A.	P166 V6
Glasner, B.	P69	Guillaume, T.	V249
Glatzel, S.	V18, V191	Gundersen, P.	P135
Glaum, L.	V288	Gunina, A.	V107 , P46
Gobat, J. M.	P170	Guong, V. T.	P113
Gocke, M.	V62 , V112	Guzman-Bustamante, I.	
Göbel, M. O.	V53, V128, V168 , P7, P28	Gygax, S. Haag, J.	V127 P101
Goebes, P.	V152 , V153, P223	Haas, C.	V277, P20
Göttlein, A.	V308	Haas, J.	V277,123
Gogidze, Q.	V28	Haase, I.	V42 , P37
Goldbach, H. E.	V288	Hacker, N.	P137
Goldschmitt, M.	P189	Hädicke, A.	V215, V216
Gorbov, S.	P53	Hähndel, R.	V44
Goryachkin, S. V.	V251 P132	Hänsch, R.	P146
Gosheva, S. Gottselig, N.	P132 P120	Häring, V. Hagedorn, F.	V317 V70 , V234, P119,
Grabe, A.	V219	riagedom, r.	P132, P135
Grace, P. R.	V245	Hagemann, U.	V117, V294,
Graefe, U.	P169 , P170		V295, P78
Graf, A.	P71	Hahn, J.	V226
Graf, M.	V169 , V170,	Hallama, M.	P50
	V171	Hallas, T.	V236
Grauer, C.	P21	Halle, C.	P120
Graw, M. Grebennikowa, A.	V158	Hamer, U.	V242, V248, V315
Greiner, L.	V213 V96	Hanauer, T.	V28 , V287
Griepentrog, M.	P116	Haneklaus, S.	P146
Gries, P.	P201	Hannemann, J.	V154, P134 , P193
Grimski, D.	V148	Harbich, M.	P203
Groeneweg, J.	V85	Hardegger, S.	V79, P61
Gröngröft, A.	V39 , P29	Harnischmacher, S.	P208
Groengroeft, A.	P18	Harter, J.	V44
Groh, J.	P71	Hartmann, K.	V252, P152, P189
Gronwald, M.	V161	Hartmann, P. Haslmayr, H. P.	V12
Gruber, F. Gruber, F. E.	P197 P202	Haubold-Rosar, M.	P110 V196
Grün, A.	V87	Hauenstein, S.	P59
Grüneberg, E.	P133 , P198	Hauer, M.	V238
Grunwald, D.	P163	Haug, S.	V102
Günther, N.	V109	He, J.	V299

He, Y. Heber, M. Hegewald, H. Heggemann, T.	P115 V253 P74 V99, P192, P194 ,	Hildebrandt, A. Hilke, I. Hinck, S. Hinz , C.	P21 P34 P195 V41
Heibach, P. Heilmann, E. Hein, S. Heinichen, J.	P196 V1 P140 V265 V58	Hirsch, F. Höcker, S. Hoefer, G. Höhle, J. Höke, S.	V134 V140 V98 P198 V164, V215 ,
Heinicke, S. Heinlein, F. Heinrich, J. Heinrich, L. Heinrich, S.	V213 P24 V227 V272 P176	Höper, H. Hösch, J. Höschen, C. Hoffmann, C.	V216, V315, P225 V18, V141, V191 P43 V272, V273, P230 V125 , P145
Heintze, G. Heinze, S. Heise, A.	V294, V295 V104 , V118, V300, P168 V322	Hoffmann, M. Hoffmann, T. Hofmann, A.	V18, V117, P19, P78 V94 V324
Heister, K. Heitkamp, F. Heitkötter, J. Helbing, F.	P38, P227 V82, P100 V163 V19	Holler, C. Holthusen, D. Holz, M.	V211 V1, V277, P20, P30 P23
Helfrich, M. Heller, C. Hellwig, N.	V56, V161, P8, P39, P80 V319 P170	Hoppe, M. Horn, K. Horn, R.	V303 P179 V1, V3, V149, V168, V186,
Helming, K. Hemker, O. Hénault, C. Henkel, K.	V184 V121, P219 V183 P34	Hounkpatin, O.	V189, V277, V278, P1, P3, P4, P20, P30, P226 P91
Henkelmann, B. Henkner, J. Hennings, V. Henscher, M.	V265 V157 V284, V285 V27	Houot, S. Houtermans, M. Huang, W. Huber, B.	V32 V105 P118 V182
Herbrich, M. Herbst, M. Herche, V. Herkelrath, A. Herrmann, A.	V135 V16 V255, V288 V227 P75	Huber, J. Huber, K. Hüllen, J. Hülsbergen, K. J. Hupe, A.	P188 V40 V173 P95 V80
Herrmann, L. Herschbach, J. Hertel, D.	V101, P109 , P186, P200 V109 P117, P168	Huth, V. Ibs-von Seht, M. Iden, S. C. Idler, F.	V16 P192, P196 V75 , P11 V252
Herweg, K. Heuck, C. Heumann, S. Heyde, B. Hezel, D. C.	V92 V241 V292 V51	Illiger, P. Illmer, P. Imseng, M. in ,t Zandt, D.	V5 V47, P52 V130, V230 V203 V29
Hierold, W.	P114 V100	Incze , J. Ingwersen, J.	V59, P161

lsermann, K. Isselstein, J.	V208 P165	Kandeler, E.	V88, V89, V118, V205, V240,
Itzerott, S.	V100		V203, V240, V270, P41, P50,
Ivani evi , V.	P179		P106, P127, P156,
Ivanov, K.	V129		P157, P161
Izmailova, K.	P26	Kanders, M. J.	V203
Jacob, F.	P198	Kaplan, H.	P57
Jäger, A.	V35	Kappenberg, A.	V65
Jahn, R.	V49, V311, V312,	Kappler, A.	V43
	P152	Karas, F.	V97
Jandl, G.	P143	Karlovsky, P.	P51
Jansen, B.	V62	Karlsson, A. S.	V260
Jarosch, K.	P50	Kastler, M.	V143, V215,
Javaux, M.	V40	Kaufhald C	V318, P225
Jeitler, E. Jensen, K.	V13 V321	Kaufhold, S. Kaufmann-Boll, C.	V303 V318
Jeschalke, S.	V85	Kaupenjohann, M.	V31, V165, V166,
Jin, M.	P138	Rauperijonarin, ivi.	V172, V199,
Jörgensen, R. G.	V80, P44 ,P51,		V229, P68, P150
Jorgensen, II. G.	P160	Kayser, G.	V169, V170
John, S.	P117	Kayser, M.	P80
Johnen, S.	V198	Kazda, M.	V57, P82
Julich, D.	V235 , P125	Keiblinger, K. M.	V198, P135
Jumshudov, Z.	P90	Keller, A.	V96 , V130, V230
Jungkunst, H. F.	V116	Kenngott, K.	V84
Jurasinski, G.	P85	Kern, S.	P200
Jurisch, N.	V295, P19	Kesenheimer, K.	P72, P74
Kabbe, C.	V229	Kessler, F.	V62
Kaczorek, D.	P164	Khanh, T. H.	P113
Kaden, H.	V114	Kietz, B.	V278
Kändler, G.	V280	Kimm-Friedenberg, S.	V314
Kästner, M. Kage, H.	V53, V261 P81	Kirfel, K.	V104, V118, P117, P168
Kahle, P.	V305, P224	Kirsten, M.	V235, P125
Kainz, W.	P152, P155	Kistler, M.	P221
Kaiser, K.	V49, V169, V234 ,	Kitzler, B.	P43
	V270, P119,	Klasmeier, J.	V85
	P151, P171	Klebinder, K.	P6
Kaiser, M.	V33 , V169, V301,	Kleinwächter, M.	P142
	P163	Klingenfuß, C.	V192, V319
Kalandadze, B.	V28, P148	Klitzke, S.	P150
Kalbe, U.	P209	Kloss, S.	P135
Kalbitz, K.	V49, V69	Klotzbücher, T.	V311 , V312
Kalia, A. C.	V101	Kluge, B.	V214, P212
Kalinina, O.	V251	Klumpp, E.	V233, P120
		Knauth, S.	V243 , P162
		Knebl, L.	P98 V103
		Knoblauch, C. Knoop, C.	P105
		κπουρ, C.	1 103

Knopf, T.	V157	Krüger, A.	V227
Knorre, S.	V150	Krüger, Jaane	V236, V270,
Knust, C.	V282	_	P122, P171
Koal, P.	V179	Krüger, Jiem	V128, V168, P7 ,
Koblenz, B.	P2, P45, P108	<i>3 ,</i>	P28
Koch, H. J.	V95, V238 , P42,	Krüger, J. P.	V190
	P160	Krüger, K.	V193
Kodesova, R.	V167	Krümmelbein, J.	P105
Köbke, S.	P74	Krug, D.	P183
Kögel-Knabner, I.	V32, V102, V174,	Kruse, J.	P113, P140
Roger-Kriabilet, I.	V273, P38, P88,	Kruse, K.	V23, V220 , V253
	P117, P213, P230	Kucerik, J.	V35, V297 , P89
Köglor S	V115 , P12		
Kögler, S.	,	Kügler, P.	P157
Köhler, M.	P9	Kühling, I.	P97
Kölbl, A.	V102, V105,	Kühn, D.	V192, V320, P175
Kallin - C	V272, P88, P230	Kühn, O.	V263
Kölling, C.	V10, V310, P121,	Kühn, P.	V42, V157
14" · F	P126	Kühne, A.	V279
König, F.	V109	Kuhfeld, H.	P200
König, N.	V8	Kuhlmann, H.	P84
Koeniger, F.	V114	Kuhn, T.	P70
Körschens, M.	V143	Kuhwald, M.	V122
Kösel, M.	P184	Kunkel, C.	V322
Kohler, M.	V269, P215, P216	Kurtz, M. P.	V84
Kolata, H.	P195	Kusonwiriyawong, C.	V230
Kolb, E.	V308	Kuzyakov, Y.	V17, V82, V106,
Koller, R.	P46		V107, V108,
Kõlli, R.	P169		V119, V129,
Konen, L.	V231, P153		V162 , V173,
Konopatzky, A.	P193		V249, V268, P46,
Koonce, J.	V75		P100, P111, P158
Kopecky-Hermanns, B.	V155	Lacoste, M.	V183
Korn, G.	P224	Laemmel, T.	V72
Koszinski, S.	V99, P194, P196	Lama, S.	V79, P61
Kothieringer, K.	P174	Lambers, K.	P174
Kotzé, E.	P48	Lamersdorf, N.	P165
Krammer, C.	P6	Lamparter, A.	V252
Kratz, S.	P139	Landl, M.	V40
Kraus, F.	V229	Lang, F.	V55, V72, V169,
Krause, H.	V43	23119, 11	V170, V236,
Krauß, L.	V63		V270 , V279,
Krauss, M.	V180		V280, P26, P122,
Krech, M.	V156		P124, P129, P150,
Kreuter, T.	V291, P77		P171
Kreyling, O.	V102	Langer, U.	P152
Kriegs, S.	V102 V274	_	V193
		Langner, S.	
Kröner, E.	V74 , P17, P23	Larry, L.	V98
Krone, F.	V231, P153	Lashchinskiy, N.	V296
Kroschewski, B.	V178	Lauer, A.	V166

Lauer, F.	P180	Ludwig, B.	V33, V104, V141 ,
Laufenberg, G.	V226	Ludwig, b.	V301, P54, P96,
			P163, P203
Laufer, D.	V95 P31	Ludwig M	,
Lee, M. H.		Ludwig, M.	P41 , P203
Leemhuis, C.	P69	Lücke, A.	V66, P62
Lehmann, A.	V216	Lüdicke, T.	P217
Lehmann, E.	P224	Lugmeier, J.	P230
Lehmann, M.	P70	Lukas, S.	P47
Lehmkuhl, F.	V63	Lukin, S. M.	V284
Lehndorff, E.	V65, V105, P88,	Luster, J.	V182 , P70, P130
	P115, P180	Luthardt, V.	P217
Lehnert, D.	V203	Lyuri, D. I.	V251
Lehnik-Habrink, P.	V265	Machel, S.	V31
Lehtinen, T.	P110	Mächtle, B.	P191
Leiber-Sauheitl, K.	V18, P73	Mäder, P.	V43 , V180
Leibfried, M.	V279	Mai, M.	V31
Leifeld, J.	V190	Maier, M.	V55 , V72
Leimer, S.	V247	Makowski, V.	P173
Leinemann, T.	V69	Makowsky, L.	V185, V215
Leinweber, P.	V175, V206,	Mandt, H.	P67
	V263, P140,	Mann, B.	P37
	P143, P229	Mansfeldt, T.	V50, P67
Leithold, G.	P98	Marahrens, S.	V143
Lempio, D.	P83	Marhan, S.	V46, V88, V89,
Lengerer, A.	V57, P82		V205, V240, P56,
Leopold, M.	P188		P127, P156, P163
Leue, M.	V36, V125, V167 ,	Markert, A.	V73 , P212
	P145	Marschner, B.	V104, V163,
Leuschner, C.	P168		V164, V222,
Leuther, F.	V311		V244, V300,
Levia, D. F.	V68		V302, V317, P53
Levin, K.	P95	Martin, W.	V252, P189
Lewandowski, H.	P60 , P62, P138	Martini, E.	P12
Lewicka-Szczebak, D.	V45, P80	Martius, C.	V48
Ley, M.	P70	Marx, B.	P210
Leyval, C.	V146	Marx, M.	V143, V318
Liniger, H. P.	V92	Marxen, A.	V311, V312
Linsler, D.	V141, P54, P96	Matern, K.	P67
Lischeid, G.	V143, V318	Matthies, M.	V85
Liu, L.	P162	Matzner, E.	V6, P31, P123
Löffler, S.	P134	Maurer, T.	V41
Loeffler, T. S.	P122	Mayer, J.	V78
Loeppmann, S.	P46	Mayer, S.	P99
Loges, R.	P54	Mayer, T.	V322
Loibl, B.	V95	Mayes, R.	V158
Lorenz, S.	V94	Meesenburg, H.	V20
Lucke, B.	P177	Mehl, D.	V94
		Meier, J.	V119
		Meißner-Wiesner, A.	P209

Meissner, R.	V133, V150, P45	Müller, C.	V32, V102, V169,
Meißner, R.	P2		V272 , V273, P117
Meiwes, K. J.	P215	Müller, C. W.	P230
			P175
Meller, S.	P130	Müller, H.	
Mellert, K.	P121	Müller, J.	V206
Menzel, M.	V316	Müller, Karolin	V240
Mestrot, A.	V127	Müller, Klaus	V257 , P195
Mette, T.	V10	Müller, L.	V284 , V285, P10
Metz, C.	P167	Müller, M.	V130, V230,
Metzger, J.	P21		V250
Meulemans, J.	P56	Müller, T.	V44, V60, P72,
Meurer, K.	V116	ividiici, i.	P99, P106, P141
		Münkor C	
Mewes, D.	P66	Münker, C.	P114
Mewes, P.	V140	Muhammad, D.	V249
Meyer-Heintze, S.	P206	Mukherjee, S.	V260
Meyer, K.	V252	Munch, J. C.	V179
Meyer, M.	V2	Munoz Sepulveda, K.	P144
Meyer, N.	V48	Munro, S.	V174
Meyer, S.	V164, P51	Munz, C.	P93
Meyn, T.	P120	Musa Bandowe, B. A.	V264
Michalzik, B.	V67, V68 , P136	Musolff, A.	V71
Michel, K.	P43	Mutschlechner, M.	V47
Middendorf, B.	V314	Nadler, M.	V156
Miehe, G.	V82	Nadler, S.	P112
Mielenz, H.	V245	Näthe, K.	V68, P136
Mikutta, C.	V126	Näther, F.	V80
Mikutta, R.	V69, V104, V213,	Nagel, C.	V209
	V270, V296,	Nassal, P.	P127
	V298, V303, P8,	Nauheimer, S.	V211
	P35, P39, P166	Navé, B.	P63
Milbert, G.	V30 , P169	Nehls, T.	V316 , P214
			•
Miller, R.	V21 , V218	Nendel, C.	V117
Miltner, A.	V53 , V261	Nestroy, O.	V259
Minkkinen, K.	V190	Neugebauer, T.	P1, P4
Missong, A.	V233	Neumann, G.	P141
Mitze, A. L.	V200	Neuser, A.	V201
Moczia, F.	P219	Neuweiler, I.	V304
Möller, D.	V319	Nguyen, M. N.	V52
Möller, J.	P47	Ni, K.	P81
Möller, M.	V22	Niebuhr, J.	V118, V300
Moffat, A. M.	V16	Nieder, R.	V176, P90, P92
Mollenhauer, K.	P220	Niederberger, J.	V269 , P216
Molt, C.	P225	Niemeyer, J.	P33
Mordhorst, A.	V3, V186	Niklaus, P.	V70, V182, P70,
Morel, J. L.	V144		P132
Mosandl , R.	P128	Nischwitz, V.	P120
Mühling, K. H.	V290	Nitzsche, O.	P203
Müller-Inkmann, M.	V121, P219	Nkebiwe, P.	P141
22	. = . , . = . =	Nolte, C.	P65

N. 71 T.	1/20	ם ווו	D454
Novák, T. J.	V29	Pfaffner, N.	P151
Nowak, K. M.	V261	Pfanz, H.	P32
Nüsse, A.	P54	Pfenning, J.	P93
Nwankwo, C.	P109	Piegholdt, C.	V19, P96
Oberholzer, H. R.	V139	Piepho, H.	V104
Ocłoń, P.	V74	Pietzner, B.	P45
,			
Ockert, C.	P114 , P138	Pilarczyk, M.	V74
Oelmann, Y.	V79, V81, V110,	Plutalova, T.	V5
	V209 , V281, P59,	Pohl, L.	V273
	P61, P137	Pohl, M.	V117, V294,
Oing, K.	P29		V295, P78
Olc, R.	V128	Pohlenz, C.	V28, V287
Ondruch, P.	V35	Pohlig, P.	P199
•			
Onishenko, L.	V284	Poll, C.	V46, V89 , V240,
Орр, С.	V226, V271 , P173		P41, P161, P163
Osenstetter, S.	V10	Polle, A.	V268, V270
Ossipov, V.	V296	Potthast, A.	V248
Osterloh, K.	V133	Potthast, K.	V242, V248
Ostermann, A.	P55	Potthoff, M.	P165
,	V284	,	
Otarov, A.		Präg, N.	V47, P52
Othmanli, H.	V286	Prasuhn, V.	V92 , P220
Paar, U.	V8	Prays, N.	P104
Pachikin, K.	V284	Prem, E.	V47
Pacholski, A.	P81	Preußer, S.	V104, V118
Paetsch, L.	V32	Priesack, E.	P24
Pätzold, S.	V99 , V124, P192,	Prietzel, J.	V232 , V237,
	P194, P196	, ,	V270, V309
Pagenkemper	P226	Pritsch, K.	V179
Pagel, H.		Pronk, G. J.	V175 V128, P38
3	P41, P157		·
Pandelova, M.	V265	Prost, K.	P180
Papritz, A.	V96	Pude, R.	V124, V293
Pardeller, G.	V198	Pütz, T.	V85, P59, P71
Park, J. H.	P31	Puhlmann, H.	V7 , V11, V20
Parker, P. S.	V289	Puppe, D.	P164
Paulsen, J.	P142	Puzanow, A.	V213
Pausch, J.	V108, P46	Raab, A.	V134
Pecoroni, D.	V218	Raab, T.	V134, P105
Peichl-Brak, M.	V18	Rabot, E.	V183
•		•	
Pekrun, C.	P50	Rademacher, A.	V196
Peña Herrera, J. M.	V247	Räbiger, T.	P74
Peter, M.	V217, V218	Ramirez-Lopez, L.	V123
Peters, A.	V73, V229, P68	Raspe, S.	V310
Peters, T.	V247	Ratering, S.	P57
Petersen, H.	P196	Raugewitz, K. N.	P27
Peth, S.	V24, V167, V277,	Reents, H. J.	P95
- =: -/ =:	V314, P20, P226	Reger, P.	V172
Peticzka, R.	V64	Rehkämper, M.	V172 V130
Petzold, R.	V9, V97	Rehmus, A.	V131

Reichel, R.

P58

Pfab, H.

V60

Reichert, E.	V213	Ruser, R.	V44, V60 , V180,
Reineke, D.	V75		P72
Reinhardt, D.	V205	Russ, A.	V154
Reinhardt, N.	P186	Sachyuka, T.	P87
Rekate, F.	P33	Said-Pullicino, D.	V105
Rennert, T.	V169, P32 , P40,	Sandhage-Hofmann, A.	V293, P48
	P156, P157	Saparov, A. S.	V284
Reth, S.	V77, P14	Sauer, D.	V61
Rethemeyer, J.	P117	Sauer, S.	V21, V217
Riaz, M.	V182	Sauer, T.	P187
Richter, A.	V296, V298	Sauheitl, L.	V42, V98, V173,
Richter, L.	P79	•	V292, P37
Richter, S.	V210	Scarciglia, F.	V61
Rieckh, H.	V136, P19	Schaarschmidt, F.	V213
Riek, W.	V154 , P134, P215	Schacht, K.	V221
Riggers, C.	V45	Schack-Kirchner, H.	V55, V72, V279,
Riggert, R.	V278	,	V280, P26 , P124
Riley, H.	P3	Schad, P.	V25 , V174, P88
Rillig, M. C.	V242	Schäfer, C.	P206
Rinklebe, J.	V143, V197 ,	Schäfer, D.	V160
•	V210, V228,	Schäfer, W.	P220
	V307, V318, P49,	Schäff, T.	P121, P126
	P210	Schäffer, A.	V261
Rißmann, C.	V239	Schardong, A.	P27
Rodionov, A.	V48, V99, V124 ,	Scharnagl, B.	V38
	P62, P192	Schatz, M.	P148
Rodríguez Arranz, A.	P143	Schaumann, G. E.	V2, V4, V34, V35,
Röder, C.	P220	·	V84, V212, V297,
Röhm, H.	P67		P36, P144
Rogge, D.	V274, V275	Scheer, C.	V245
Rohwer, M.	V290, V294,	Schelhorn, D.	P21
,	V295	Schick, J.	P139
Rollenbeck, R.	V247	Schilli, C.	V143 , V318, P210
Romanenkov, V.	V284	Schilling, R.	V179
Rosenau, T.	V248	Schindewolf, M.	V93
Rosner, F.	V198	Schindler, U.	V284, P10
Roßkopf, N.	V18, V192, V194,	Schlatter, N. D.	P110
	V320	Schleicher, S.	P93
Rostad, B. I.	P3	Schleppi, P.	V182, P135
Rothwell, J. J.	V126	Schleuß, P. M.	V82, V119, V173
Rück, F.	V215, P182	Schloter, M.	V85, V87, V102,
Rückamp, D.	P139, P154	•	V267, V270, P38
Rücknagel, J.	P2, P45	Schlüter, S.	V38, P228
Rueß, L.	V172	Schmid, H. P.	P213
Ruf, T.	V187, P103	Schmidt-Heydt, M.	P144
Rukhovich, O. V.	V284	Schmidt-Walter, P.	V20
Rumpel, C.	V32	Schmidt, A.	P103
Ruoss, N.	P83	Schmidt, G.	V5
Rupp, H.	P2, P45	Schmidt, H.	V141, P162

Schmidt, K.	V90, V93, V123 , V152, V299, P201, P223	Schweitzer, K. Schweizer, S. A. Schwen, A.	V178 V171 V13
Schnecker, J.	V296, V298	Schwindt, D.	P204 , P205
Schneider, A.	V134	Sebesvari, Z.	P113
Schneider, B.	V227, P176	Sedov, S.	V64
Schneider, C.	V54, V207	Seeber, E.	V173
Schneider, M.	V94	Seehusen, T.	P3
Schneider, R.	P27	Seidel, M.	P203
Schnell, S.	P57	Seifert, J.	P157
Schnepf, A.	V40 , P138	Seis, W.	V229
Schnug, E.	P139, P146	Seith, T.	V138
Schönbrodt-Stitt, S.	V90 , V93	Seitz, S.	V152, V153 , P223
Schönfelder, E.	V8	Seiz, P.	V60
Schöning, I.	V113 , V175	Selle, B.	V71
Schörner, G.	P177	Selmar, D.	P142
Scholten, T.	V90, V93, V123,	Sesterheim, A.	V109
	V152, V153,	Shahbaz, M.	P100
	V157, V223,	Shaheen, S. M.	V197, V228 ,
	V250, V299,	,	V307
	P201, P223	Shehata, A. S.	P142
Schorpp, Q.	V45	Sheudshen, A. K.	V284
Schrader, S.	V45	Shibistova, O.	V42, V213, V296 ,
Schramm, K. W.	V265	•	V298, P37
Schrank, T.	V273	Shrestha, J.	V182
Schreg, R.	P179	Shwiekh, R.	P139
Schreiber, K.	V209	Siebe, C.	V262
Schreider-Goidenko, K.	P34	Siebers, N.	P229
Schrey, H. P.	V252, P189	Siemens, J.	V67, V85, V233,
Schrimpf, P.	V292		V262, P115,
Schrödter, M.	P2, P45		P120, P149
Schroll, R.	P39	Siewert, C.	V297, P89
Schrumpf, M.	V113, V169,	Silantjewa, M.	V213
	V175	Simon, A.	P95 , P197
Schua, K.	V282	Simon, F.	P209
Schug, P.	P176	Simon, J.	V314
Schultze, N.	P1 7	Sirocko , F.	V65
Schulz, H.	V80	Sisodia, B. S.	V171
Schulz, R.	V44, V60	Sitnikova, M.	P67
Schulz, S.	V267	Skowronek, A.	V256
Schulze, S.	P42	Skrybeck, C.	V120
Schumacher, B.	P191	Smalla, K.	V85, V205, P38
Schumann, B.	V185	Smolentseva, E. N.	V284
Schurig, C.	V128, V273	Söffker, S.	V83
Schuster, C.	P77	Soja, G.	V198
Schwarz, A.	V211 , P93	Sommer, M.	V15, V18, V33,
Schwarz, C.	V145		V99, V100, V117,
Schwarz, M. T.	V67, V131		V125, V135,
Schwarzländer, S.	P175		V136, P19, P78,
			P79, P145, P164,

P196

Song, Z. Sorkau, E. Sotier, B. Specka, X. Spengler, D. Spiegel, H. Spielvogel, S.	V153, P223 V81 P6 V117 V100 P110 V42, V98, V109, V110, V119, V173, V260, P37, P66	Stutz, K. Suarez-Quiñones, T. Sun, Y. Sundrum, A. Surek, M. Sychev, V. G. Taha, H. Talkner, U. Tamimi, N. Tananaev, N.	V280 P74 V82 P51 P179 V284 P142 V266, P215 V212 V42, P37
Spies, E. D. Spiteller, M. Spohn, M. Spott, O.	P187 V85 V29, V205, V241, P118 , P123, P130 V133, P76	Tappe, W. Tatti, D. Taube, F. Tauchnitz, N. Tenzer, S.	V260 P170 P54 V133 , P2, P45 P40
Sprafke, T. Springer, N. Stahr, K.	V64 , P206 P5 V17, V61, V258 , V286, P63	Terhorst, B. Teuber, S. Thiel, C. Thiel, E.	V64, V156, P206 V223 V64 V276, P76, P77
Stahr, S. Stange, C. F. Stange, F. Stasch, C. Steckenmesser, D.	P131 V116, V303, P153 V231, P154, P155 P102 V313	Thiele-Bruhn, S. Thiemann, I. Thieme, L.	V85, V86 , V200, V263, P27, P41, P58, P203 P115 V67
Steffens, D. Steffens, M. Stegger, U.	V313 V174, V272, V274, V275, P40 P183	Thiemeyer, H. Thiermann, A. Thissen, P. Thomsen, S.	V120 P220 V114 V321, P16
Stegmann, P. Steiger, S. Steingräber, L. Steinicke, C. Steinmann, T.	V185 V111 V119 P9 V142	Thonar, C. Thorburn, P. J. Tiemeyer, B. Tierling, J.	V43 V245 V18 , V66, V191, P25, P73, P151 P84
Steinrücke, M. Steinweg, B. Stephan, E. Steuer, A.	P225 P208 V5 P192, P196	Tinapp, C. Tischer, A. Tittel, J. Tockner, K.	P176 V242 , V248 V71 V182
Störrle, M. Stoll, D. Stolz, W. Stoppe, N. Strauss, P.	P211 P144 V23 P1 , P4 P6	Toland, A. Trachte, K. Trapp, S. Trautz, D. Trueby, P.	V225 V247 V261 P97 V188
Streck, T. Strey, R. Strey, S. Strücker, J. Stüwe, K. Stumpe, B. Stumpf, F.	V59, P15 , P157 V83, V98, V246 V83 , V98, V246 P44 V280 V164, V302 V90, V93 , V123	Tunega, D. Ullrich, F. Ulonska, H. Unterseher, E. Urbanski, L. Urich, T. Urushadze, T.	V128 V255 P181 P220 P88 V296 V28

Utami, D. W.	V105	Wadoux, A.	V123
Utami, S. R.	P88	Wagner, A.	V166, V199
Uteau-Puschmann, D.	V24, V167, V277, P226	Wagner, K. Wagner, N. Wagner, S.	P69 V115 V61, V224
Utermann, J. Valarezo, C. Vallati, A.	V303, P20, P154 V131, V306 V74	Waldmann, F.	V14, V252, V254 , P189
van den Berg, M.	V59	Walter, K.	P25
van der Heijden, M.	V153	Walthert, L.	P132
van der Kruk, J.	P199	Waltl, P.	P205
van Mourik, J.	V62	Wanek, W.	P135
van Oost, K.	V117	Wanner, M.	P164
Vanderborght, J.	V40	Waroszewski, J.	V160
Vashev, B.	V28, V287, V288,	Watson, C.	V103
	V289 , P218	Weber, K.	V77
Velescu, A.	V79, V131, V247,	Weber, O.	V246
	V306	Weckmüller, J.	P21
Vereecken, H.	V40, V85, V260,	Wehrhan, M.	V15 , V100
	P71, P114, P120,	Weig, A.	V241
	P199	Weigand, S.	P113
Vetterlein, D.	V276, V311,	Weihermüller, L.	V260 , P199
	V312, P17, P36,	Weihrauch, C.	P173
View D. M.	P108	Weinmann, M.	P141
Vien, D. M.	P113	Weinzierl, W.	V14
Völkel, J.	P128, P188, P204,	Weis, W.	V310, P121, P126
Voelkner, A.	P205, P213	Weiss, C.	P166
	P30	Weiss, J.	V173, P166
Vogel, C.	V313, P38	Well, R.	V43, V45, V176,
Vogel, H. J.	V38, V137		P64, P80, P83,
Vogel, M.	V222		P90
Vogt-Sädler, D.	P225	Wellbrock, N.	P198
Vogt, C.	P12	Weller, U.	V77
Vohland, M.	V141, P203	Wells, A.	V110
Volk, N.	P150	Welp, G.	V48, V99, V124,
vom Lehn, B.	P190		V142, V169, P91,
von der Lühe, B.	V158	Wendland, M.	P192 , P194, P196
von Dressler, H.	P97, P219		P100
von Glisczynski, F.	V293	Wenzel, W. W.	V198
von Hebel, C.	P199	Werisch, M.	V242
von Hörmann, C.	V111	Werkenthin, M.	V214
von Lützow, M.	V102	Werner, F.	∨232, ∨237
von Wilpert, K.	V7, V11 , V12,	Werner, S.	∨244
	V20	Wertebach, T.	P97
Vorderbrügge, T.	V21, V217, V288	Werth, M.	V57, V111 , P82
Vormstein, S.	V301	Wessolek, G.	V73, V100, V147 ,
Vos, C.	V161		V214, V225,
Wachendorf, C.	P47, P159		V316, P212, P214
Wackerbarth, H.	P33	Weyer, T.	V219

Weymann, D. P71 White, J. V307 Wichern, F. V80, V103, **V203** Wiesenberg, G. V62, **V112**, P116 Wiesler, F. V60 V174 Wiesmeier, M. V321, **P207** Wiesner, S. Wiesner, T. P187 Wiggenhauser, M. V130, V230 Wilcke, W. V67, V79, V127, V130, V131, V230, V247, V306, P61, P137 Wild, B. V296, V298 Wilke, B. M. V85 Willbald, S. V216 Willbold, S. V233 Wimmer, B. V198 P128, P204 Winkelbauer, J. Winkelmann, C. P66 Winkler, M. P208 Winkler, P. V49, V105 Winkler, R. P14 Wissel, H. P62 Witte, S. V26 Wittig, M. C. V277, P20 Wittwer, R. V153 Woche, S. K. V53, **V128**, P8 Wolf, A. V142 Wolf, R. P86 Wollschläger, U. V115, **P12** Wombacher, F. P114 Wrage-Mönnig, N. V103 Wurbs, D. V22, P220 Wutzler, T. P21 Xu, X. V82 Yu, Y. V17 Zacher, A. V206 Zacios. M. **P22** Zak. D. P79 V268 Zavi i . A. Zechmeister-Boltenstern, S. P135 Zederer, D. P. V33, **V266** Zeeden, C. V63 Zeh. L. V275 Zehetner, F. V198

V18, V192, V194,

V319, V320, P86

Zeitz, J.

Zemke, J. Zens, J. Zhao, C. Zhao, C. Y. Zhao, X. Ziche, D. Zieger, A. Zikeli, S. Zilla, T. Zimmer, D. Zimmermann, I. Zimmermann, L. Zimmermann, S. Zink, A. Zirlewagen, D. Zitzer, N. Zrazhevskaya, G. Zschocke, A. Zühlke, S.

V91 V63 V17 V286 V17 P198 V31 V171 **V268** V305, P140, P229 V3, **V189** P22 V96, P132 Р3 V11 V226 V296 P147 V85

Gesellschaftlicher Abend

Gesellschaftlicher Abend in den Räumen des Bayerischen Landtages

8. September 2015, 20 Uhr

Die Deutsche Bodenkundliche Gesellschaft lädt am Dienstag ab 20.00 Uhr zu einem geselligen Abend in die Räume des bayerischen Landtages ein. Einlass in den Senatssaal des Maximilianeums ist ab 19.30 Uhr, bitte bringen Sie Ihre Eintrittskarte mit.

Der "Schmankerl Service der Erdinger Bäuerinnen" hat das 'flying buffet' übernommen, es werden sowohl bayerische als auch internationale Spezialitäten gereicht. Bei den Getränken können Sie auf bayerisches Bier zurückgreifen oder die Weine der Winzereigenossenschaft Sommerach aus Franken kosten.

Der Senatssaal ist auf zirka 280 Personen ausgelegt.

Anfahrt:

Von der Theresienstr. gehen Sie zirka 800 m zu Fuß zur U-Bahnhaltestelle "Odeonsplatz", nehmen die U4 Richtung Arabellapark und steigen schon wieder nach 3 min an der Haltestelle Max-Weber-Platz aus. Von dort gehen Sie wieder zu Fuß zirka 500 m zurück, zum Eingang des Maximilianeums in der Max-Planck-Str. 1.



Musikalisch wird der Abend durch die "Stoaberg – Musikanten" arrangiert.

Kunst und Boden

Kunst und Boden - Integrierte Posterausstellung auf der DBG Jahrestagung 2015, München

Kuratorisches Programm der Kommission VIII von Alexandra Toland und Gerd Wessolek

Während naturwissenschaftliche Forschungsbereiche die Grundlagen und Entscheidungshilfen für den Gesetzgeber und den Markt liefern, spielen die Künste bei der Formulierung und Vermittlung den Boden betreffender Nachhaltigkeitsfragen eine zunehmend wichtige und kritische Rolle. Die Künste bieten neue Ansätze zum Verständnis und zur Wertschätzung von Natur und Umwelt und öffnen damit ästhetische und ethische Diskurse. Wie überschneidet sich künstlerische Praxis mit naturwissenschaftlichem Verständnis und wie könnte eine engere Zusammenarbeit der Natur- und Geisteswissenschaften mit Künstlern zur Entwicklung des "Bodenwertes" in der Öffentlichkeit und Politik erreicht werden? Mit welchen Bildern, Objekten und kreativen Ansätzen können wir eine zweite, nachhaltigere "Grüne Revolution" anstreben?

Geleitet von diesen Fragen integrieren wir eine Ausstellung von "Best Praxis" Bodenkunstprojekten auf der DBG-Tagung 2015 in München in die wissenschaftliche Posterausstellung.
Der Schwerpunkt liegt auf künstlerischen Experimenten und visueller Forschung sowie auf
der Visualisierung ästhetischer Eigenschaften des Bodens. Einige Poster zeigen die Entwicklung und Methoden der laufenden künstlerischen Arbeiten in Text und Fotodokumentation.
Andere Poster zeigen Ansichten von Kunstwerken. Weiterhin zeigen wir Beteiligungsprozesse der Künstler in Zusammenarbeit mit Wissenschaftlern und Mitgliedern der Öffentlichkeit. Mit der Darstellung von verschiedenen Etappen der künstlerischen Arbeit möchten
wir künstlerische Ansätze und wissenschaftliche Forschung gegenüberstellen. Durch die
Integration von Kunstpostern in Deutschlands größte wissenschaftliche Bodenkonferenz
werden die Fachdisziplinen Bodenwissenschaften und Kunst näher zusammen gebracht,
um Möglichkeiten für die interdisziplinäre Zusammenarbeit zu fördern und den Horizont
des Bodenschutzes und der Kommunikation zu erweitern. Dr. Alexandra Toland wird durch
die Ausstellung führen. Die Termine werden vor Ort in München angekündigt.

Wir bedanken uns bei den folgenden beteiligten Künstlerinnen und Künstlergruppen:

Ulrike Arnold Betty Beier

Margaret Boozer

Center for Land Use Interpretation

Georg Dietzler

Chris Fremantle and Mike Bonaventure, et al.

Future Farmers Ekkeland Götze Sarah Hirneisen Ellie Irons

Mathias Kessler Anneli Ketterer Nance Klehm

Helen Lessick Patrick Lydon & Suhee Kang

Ayumi Matsuzaka

Daniel McCormick & Mary O'Brien

Maria Michail

Myriel Milicevic and Ruttikorn Vuttikorn

Daro Montag Matthew Moore Jay Noller

Bonnie Ora Sherk Laura Parker

Claire Pentecost Aviva Rahmani Smudge Studio Tattfoo Tan Alexandra Toland Urbaniahoeye

Ken Van Rees Gerd Wessolek Thomas Weyer Peter Ward

Elvira Wersche

"Ressource Boden"- acatec-Tagung

acatech-Tagungsveranstaltung im Internationalen Jahr des Bodens zusammen mit der Deutschen Bodenkundlichen Gesellschaft

Ressource Boden - Nachhaltiges und Modernes Landmanagement

10. September 2015, 10:00 bis 13:00 Uhr, Deutsches Museum München

Tagesordnungspunkte

- 09:00 Begrüßungskaffee/ Anmeldung und Registrierung
- 10:00 Begrüßung und Moderation (Prof. Dr. R. Hüttl)
- 10:15 Impulsvorträge aus Politik, Wirtschaft und Wissenschaft
 - politische Grußworte und Rahmenbedingungen
 - Beiträge aus allen Bereichen, die sich mit innovativen Technologien für eine ressourcenorientiertes Landmanagement beschäftigen
 - Vorstellung der aktuellen Aktivitäten der acatech-Initiativgruppe Boden-, Wasser-, Land- und Stoffstrommanagement
- 11:30 kleine Pause
- 12:00 Podiumsdiskussion (Prof. Dr. F. Makeschin)
 - -Diskussion mit Vertretern aus Politik, Wirtschaft und Gesellschaft
- 13:00 Imbiss Übergang zur Bodenausstellung
- 13:30 Offizielle Eröffnung der Ausstellung "Bodenentdeckung" der Deutschen Bodenkundlichen Gesellschaft im Deutschen Museum (Prof. Dr. F. Lang, Prof. Dr. J. C. Munch)

Schwerpunkt der Ausstellung sind Bodenfunktionen, Bodennutzung und Bodenmesstechnik mit folgenden Bereichen:

- Landwirtschaftliche Bodennutzung
- Forstliche Bodennutzung
- Naturschutz

Allgemeine Hinweise

Allgemeine Hinweise

Tagungsort

Die Vortragsveranstaltungen, Posterpräsentationen und die Mitgliederversammlung finden in den Gebäuden der LMU München, Theresienstr. 37-41, München, statt (siehe Stadtplan auf der Rückseite des Einbandes).

Anreise

Wir empfehlen dringend die Anreise mit öffentlichen Verkehrsmitteln. An der Theresienstraße gibt es keine Parkmöglichkeiten.

Anmeldung und Tagungsbüro

Anmeldung ist am Sonntag, 6. September, 16.00 Uhr bis 18.30 Uhr im Foyer der Luisenstr. 37, Dep. für Geographie (Begrüßungsabend) möglich.

An den Folgetagen ist die Anmeldung in der Theresienstr. 37-41, Raum B046, möglich (siehe Raumplanung).

Öffnungszeiten:

Montag, 7. September, 7.30 Uhr bis 17.30 Uhr

Dienstag, 8. September., 7.30 Uhr bis 14.30 Uhr

Mittwoch, 9. September, von 7.30 Uhr bis 16.30 Uhr durchgehend besetzt.

Das Tagungsbüro ist während der Öffnungszeiten unter 0049-(0)551-500 80 235 telefonisch zu erreichen.

Internetseite der Tagung:

http://www.dbges.de/wb/pages/jahrestagung.php

Vorträge

In allen Räumen stehen Beamer und Notebooks zur Verfügung. In jedem Vortragsraum steht ein Verantwortlicher für die Bedienung der Technik bereit. Eigene Notebooks sind nicht zugelassen. Bitte bringen Sie Ihre Vorträge auf einem USB-kompatiblen Datenträger mit, den Sie spätestens 15 Minuten vor Beginn der jeweiligen Sitzung beim Verantwortlichen abgeben. Bitte verwenden Sie Powerpoint 2003 bis 2010 oder OpenOffice 3.4 kompatible Präsentationen.

Bitte tragen Sie während der gesamten Veranstaltung Ihre Namensschilder, da die Einlasskontrolle zu den Hörsälen Sie ansonsten nicht passieren lässt. Die Namensschilder berechtigen auch zum Eintritt in das Deutsche Museum am Donnerstag, 10. September, zur acatech-Veranstaltung und zur Eröffnung der Bodenausstellung.

Allgemeine Hinweise

Internet / W-LAN

Die Anmeldung für das Konferenznetz erfolgt durch den Veranstalter – das Passwort wird im Tagungsbüro aushängen.

Während der Tagung wird ein Internet-Zugang über WLAN zur Verfügung gestellt.

Poster

Postertafeln werden im Tagungsgebäude in den Präsentationsbereichen bereitgestellt. Die Poster können während der Öffnungszeiten des Tagungsbüros aufgehängt werden. Das Format ist DIN AO Hochformat. Jedes Poster soll nach folgenden Punkten gegliedert werden: Titel, Fragestellung, Material und/oder Methoden, Ergebnisdarstellung, wichtige Schlussfolgerungen, Namen der Autoren und Adresse.

Bitte verwenden Sie keine Schriftgröße kleiner als 6 mm! Auch Abbildungen und Tabellen sowie Graphiken müssen noch aus 2,5 m Entfernung gut lesbar sein. Bitte achten Sie darauf, nur das Wesentliche zu präsentieren. Die Postertafeln sind fortlaufend mit den Nummern versehen, die auch in diesem Programmheft stehen. Achten Sie auf sichtbare Hinweise zur Aufstellung! Eine Übersicht wird mit den Tagungsmaterialien ausgegeben. Material zum Anbringen der Poster wird gestellt. Während der Zeit der Postervorführung (s. Programm) besteht Anwesenheitspflicht für die Autoren. Für Schäden an den Postern, z.B. im Zusammenhang mit nicht rechtzeitiger Räumung (Mittwoch, 19:30 Uhr) kann keine Haftung übernommen werden.

Veröffentlichung der Beiträge in den Berichten der DBG

Die Kurzfassungen der Poster und Vorträge sind entsprechend der "Regularien für das Erstellen der pdf Dokumente für die Berichte der DBG" anzufertigen.

http://www.dbges.de/wb/pages/publikationen.php

Besonders wichtig ist dabei, dass in der Kopfleiste zu erkennen ist, welcher Kommission der Vortrag/das Poster zugeordnet war. Die Zeitspanne, in welcher Sie selbst Ihr Dokument ins Internet stellen können, wird Ihnen auf der Homepage angezeigt. Sie wird etwa 4 Wochen ab Ende der Tagung betragen.

Achtung: Der Erstautor darf gegenüber der Ankündigung im Programmheft nicht gewechselt werden – dies führt automatisch zur Aussortierung des Beitrages!

Firmenausstellung

Von Montag, 7. September, bis Mittwoch, 9. September, können sich alle Teilnehmer und Teilnehmerinnen über aktuelle Produkte und Serviceangebote zahlreicher Firmen informieren. Die Ausstellung beginnt jeweils zwischen 8 und 9 Uhr und endet spätestens mit dem letzten Vortrag.

Hinweise für Aussteller

In den Foyers der Hörsaalgebäude Theresienstr. 37-41 stehen Flächen für die Ausstellungen zur Verfügung. Ab Freitag, dem 04.09., ist es ab 16 Uhr möglich, die Stände aufzubauen.

Allgemeine Hinweise

DBG-Vorstandssitzung

Die DBG-Vorstandssitzung findet am Sonntag 6. September um 18.00 Uhr in der Luisenstr. 37, 2. Stock, Raum 335a, statt.

Pausenversorgung, Mahlzeiten

Während der Pausen zwischen den Vortragsblöcken werden in den Foyers der Hörsaalgebäude Getränke und Snacks durch den "Schmankerl Service der Erdinger Bäuerinnen" angeboten. Darüber hinaus gibt es zahlreiche Möglichkeiten zum Mittagessen in der Umgebung des Tagungsortes (siehe Karte auf der Rückseite des Einbandes).

Kinderbetreuung

Bei Bedarf wird eine kostenfreie Kinderbetreuung auf dem Campus in Nähe der Vortragsräumlichkeiten angeboten. Entsprechende Wünsche bitte auf dem Anmeldeformular angeben.

Exkursionsprogramm - Übersicht

Übersicht über die Exkursionstermine

Abfahrt und Ankunft

Abfahrt und Ankunft aller Exkursionen mit Ausnahme der Zwei-Tages-Exkursion (A-02) und der MVV-basierten Exkursionen (F-01, F-02, G-01) ist der Sophie-Scholl-Platz vor der Münchner Ludwig-Maximilians-Universität.

Abfahrt und Ankunft für die Zwei-Tages-Exkursion (A-02) ist der Bahnhof Garmisch (Anreise nach Garmisch und Übernachtung in Garmisch wird durch die Teilnehmer organisiert)

Treffpunkt aller MVV-basierten Exkursionen

ist vor der DB Lounge (Nähe von Gleis 24, 1. Stock); Rückfahrt erfolgt in Kleingruppen (MVV-Gruppenticket) nach Belieben.

Mittwoch 2.9.2015	Donnerstag 3.9.2015	Freitag 4.9.2015	Samstag 5.9.2015	Sonntag 6.9.2015	Donnerstag 10.9.2015
	5-Tage	es-Exkursion A-0)1 (15)		
2-Tages-Exkur			sion A-02 (15)		
1-Ta			Tagesexkusion	en	
			B-01 (40) B-02 (40) B-03 (20) B-04 (30)	C-01 (30) C-02 (30) C-03 (30)	D-01 (40) D-02 (30) D-03 (35) D-04 (40) D-05 (40)
			Halbtages-Exkursic		nen
			E-01 (25) E-02 (25)	F-01 (40) F-02 (27)	G-01 (30)

Hinter der Exkursionsnummer ist in Klammern die maximale Teilnehmerzahl angegeben.

A-01: Böden und Landschaften am Großglockner (5-tägig)

Othmar Nestroy Universität Graz

Termin: Mittwoch 2. September 2015 bis Sonntag 6. September 2015

Treffpunkt: Geschwister-Scholl-Platz, 11:00 Uhr Rückkehr: Geschwister-Scholl-Platz, 17:00 Uhr

Preis: 450,00 €; incl. Übernachtungen mit Frühstück.

Teilnehmer: 15

Die Teilnehmerzahl ist auf 15 Personen begrenzt (Hochgebirgsexkursion). Es handelt sich zwar um keine extreme Hochgebirgsexkursion, doch ist eine gute körperliche Verfassung notwendig.

Stützpunkt ist das Glocknerhaus an der Gletscherstraße, das über einen Seminarraum für Instruktion bei Schlechtwetter verfügt. Das Tagesprogramm richtet sich nach der Wetterlage (Begehungen der Bodenprofile im Gelände sowie gegebenenfalls abends Instruktionen im Glocknerhaus).

Quartiere werden auf Basis Zweibettzimmer mit Toilette und Dusche am Gang vom Exkursionsleiter bestellt. Änderungen bezüglich der Zimmerbestellungen sind nur über den Exkursionsleiter (o.nestroy@tugraz.at) möglich.

Ausrüstung: feste Bergschuhe (eingegangen), Hüttenschuhe, Hirschtalg, Kälte- und Regenschutz, warme Unterwäsche, Schal, Handschuhe, Sonnenbrille, Schneebrillen, Sonnenöl, Lippenschutz, Kartenmaterial, Essbesteck für die Mittagessen im Freien (bei Schönwetter).

Die Kosten decken An- und Abreise mit dem Bus von und nach München sowie die Fahrten im Bereich des Großglockners, die Übernachtungen mit Frühstück und die Straßenmaut. Nicht enthalten sind Mittag- und Abendessen, Getränke sowie persönlichen Ausgaben. Für die vier Mittagessen, die (hoffentlich) im Gelände eingenommen werden, sind ist ein Halt für den Einkauf in einem Supermarkt vorgesehen. Eine Fahrt mit eigenem PKW ist nicht möglich.

Vorgesehenes Programm

Die Anreise erfolgt von München über Mittersill und Zell am See zur Großglockner-Hochalpenstraße. Auf dieser mit Halten zur Erläuterungen der Gesteine und der morphologischen Situation über das Fuscher Törl zum Glocknerhaus an der Gletscherstraße zur Kaiser-Franz-Joseph-Höhe.

Es sind dann folgende Standorte und Profile vorgesehen (wetterabhängig):

- 1. Fallbichl: Hangpseudogley, oberbodenverdichtet, stark kolluvial beeinflusst, schwach podsoliert.
- 2. Gamsgrube am Hofmannsweg zum Gletschertor: carbonathaltige Braunerde, Stock werksprofil.
- 3. Hochtor-Standort: carbonatfreier Grobmaterial-Rohboden, Polsterpflanzenstufe.
- 4. Senfteben: carbonatfreie Typische Braunerde, kolluvial beeinflusst.
- 5. Serpentinit-Standort: Typischer Ranker, (Moder-Ranker).
- 6. Wallackhaus: Hangpseudogley, schwach podsoliert, ehemalige 15N-Versuchsfläche.

Neben diesen Bodenprofilen sind noch Informationspunkte entlang der Großglockner-Hochalpenstraße vorgesehen. Falls es Zeitplan und Wetter erlauben, könnte bei Wunsch auf der Rückreise die Stadt Salzburg kurz besichtigt werden.

A-02: Boden-, Standorts- und Vegetationsentwicklung der sub-alpinen und montanen Stufe im Wetterstein- und Ammergebirge (2-tägig)

Eckart Kolb¹, Axel Göttlein¹, Jörg Ewald²

¹ Waldernährung und Wasserhaushalt, Technische Universität München

² Botanik und Vegetationskunde, Hochschule Weihenstephan-Triesdorf

Termin: Freitag 4. September 2015 bis Samstag 5. September 2015

Treffpunkt: Bahnhof Garmisch, 8:00 Uhr

Rückkehr: Ankunft Bahnhof Oberau, 18:00 (Zugabfahrt nach München Hbf 18:16 Uhr)

50,00 €; die Anreise nach Garmisch und die Übernachtung in Garmisch von Freitag auf Samstag wird von den Exkursionsteilnehmern selbst organisiert;

Mittagessen erfolgt aus dem Rucksack.

Teilnehmer: 15

Preis:

Achtung: Die Exkursion führt ins Hochgebirge. Geeignetes Schuhwerk, wetterfeste Kleidung und hinreichende körperliche Eignung (Trittsicherheit, Kondition) sind unabdingbar. Wegen der besonderen Verantwortung und der rechtlichen Situation im Gebirge können die Exkursionsführer Teilnehmer, deren Ausrüstung oder körperliche Verfassung ungeeignet erscheinen, noch zu Beginn der Exkursion zurück lassen.

Die Exkursion stellt die Standorts- und Vegetationsvielfalt der Nördlichen Kalkalpen im Werdenfelser Land dar. Unterschiedliche Höhenstufen und geologische Substrate bedingen im Wechselspiel mit den Bodenbildungsprozessen eine bemerkenswerte pflanzliche Biodiversität. WINALP stellt Waldtypen und Substrate im Maßstab 1:25.000 in Form von hierarchiefreien Codes dar. Eine Besonderheit sind mächtige Tangelhumusauflagen, die auf feinerdearmen Substraten den Hauptwurzelraum der Wälder darstellen und besonders empfindlich auf Biomasseentzüge und Klimawandel reagieren. Boden- und ernährungskundliche Aspekte von Schutzwaldpflege und sanierung werden dargestellt.

- Tag: Boden-, Standorts- und Vegetationsentwicklung auf kalkhaltigen Gesteinen in der subalpinen Stufe des Wettersteingebirges (Leitung: Dr. E. Kolb , Prof. Dr. Dr. A. Göttlein; Start- und Endpunkt: Garmisch-Partenkirchen Bhf. um 8.00 Uhr bzw. 17.00 Uhr)
- Tag: Boden-, Standorts- und Vegetationsentwicklung auf typischen Gesteinen der montanen Stufe des Ammergebirges (Leitung Prof. Dr. J. Ewald, Prof. Dr. Dr. A. Göttlein; Startpunkt: Garmisch-Partenkirchen Bhf. um 7.35 Uhr bzw. 8.30 Oberammergau, Laber-Seilbahn; Endpunkt: Oberau Bhf um 18 Uhr)



B-01: Der Meteoritenkrater "Nördlinger Ries"

Karl Stahr1, Reinhard Böcker¹, Reinhard Jochum²

¹ Institute of Soil Science and Land Evaluation, Hohenheim University

² Bayerisches Landesamt für Umwelt, Augsburg

Termin: Samstag 5. September 2015
Treffpunkt: Geschwister-Scholl-Platz, 8:00 Uhr
Rückkehr: Geschwister-Scholl-Platz, 21:00 Uhr

Preis: 90,00 €; incl. zweier Mahlzeiten und der Eintrittskarte ins Riesmuseum

Teilnehmer: 40

Der Meteorkrater des Ries ist in Mitteleuropa eine einmalige geologische Erscheinung. Ein 1 km großer Himmelskörper hat vor ca. 25 Millionen Jahren einen Trichter geschaffen, der bis ins Grundgebirge reicht. Heute noch ist der Suevit und in der Hochebene des Ries die Seesedimente des Neogen sowie Tone und Kalke ein Zeugnis dieses Ereignisses und der Folgeperioden. Bodenkundlich ist besonders interessant, dass Pelosole / Vertisole aus tonigen Ablagerungen des ehemaligen Riessees entstanden sind. Am Rande des Riessees haben sich Süß/Brackwasserkalke Riff-ähnlich aufgebaut. Sie bilden heute an vielen Stellen den morphologischen Rand des Beckens. Seit der Altsteinzeit war das Ries Siedlungsraum. Viele Zeugnisse sind bis heute erhalten, besonders gut die mittelalterlichen Zeugnisse in Nördlingen, Wemding und Oettingen. Die Exkursion versucht den Meteoritenkrater, interessante Böden und ein Stück die Geschichte des Rieses einzufangen. Das Verkosten lokaler Produkte wird nicht fehlen.

B-02: Hopfenland Hallertau: Hopfenanbau - Böden - Erosions-schutz

Robert Brandhuber, Johann Portner, Tobias Graf, Roswitha Walter Bayerische Landesanstalt für Landwirtschaft

Termin: Samstag 5. September 2015
Treffpunkt: Geschwister-Scholl-Platz, 8:00 Uhr
Rückkehr: Geschwister-Scholl-Platz, 18:00 Uhr

Preis: 40,00 €; incl. Mittagessen

Teilnehmer: 40

Die 1-Tagesexkursion führt durch das Hopfenanbaugebiet Hallertau. Der erste Exkursionspunkt liegt im lösslehmreichen Tertiärhügelland bei Aiglsbach. Erosionsschutz im Hopfen und die Vorstellung und Diskussion einer von Erosion geprägten Hangcatena bilden dort den Schwerpunkt. In Hüll, dem zweiten Exkursionspunkt, wird das dortige Hopfenforschungszentrum besucht. Den Abschluss bildet die Wurzelausgrabung einer Hopfenpflanze bei Mühlhausen am Rand des Donautals in einem Flugsandgebiet, verbunden mit Informationen zur Bewässerung von Hopfen.

B-03: Karstmorphologie und Bodengenese am Untersbergplateau (Berchtesgadener Alpen)

Carola Küfmann, Christine Mix
Department für Geographie und Landschaftsökologie

Termin: Samstag 5. September 2015

Treffpunkt: Geschwister-Scholl-Platz, 08:00 Uhr Rückkehr: Geschwister-Scholl-Platz, 18:00 Uhr

Preis: 85,00 € (incl. Lunchpaket und Bergbahn)

Teilnehmer: 20

Achtung: Die Exkursion führt ins Hochgebirge. Geeignetes Schuhwerk, wetterfeste Kleidung und hinreichende körperliche Eignung (Trittsicherheit, Kondition) sind unabdingbar. Wegen der besonderen Verantwortung und der rechtlichen Situation im Gebirge können die Exkursionsführer Teilnehmer, deren Ausrüstung oder körperliche Verfassung ungeeignet erscheinen, noch zu Beginn der Exkursion zurück lassen.

Die Exkursion führt in den klassischen Hochgebirgskarst eines Plateaugebirges wie es typisch ist für die östlichen Kalkhochalpen. Geomorphologische Grundzüge der Reliefgenese in Abhängigkeit von Geotektonik und Verwitterungsdynamik werden mit Schwerpunkt auf aktuellen Forschungsarbeiten im subalpinen Dolinenkarst erläutert. Pedologisch liegt der Fokus unter Einbeziehen der subalpinen und alpinen Vegetationsgesellschaften auf dem Karstökosystem. Die Exkursionsteilnehmer erhalten Einblick in das Messnetz und Aufschluss über erste Ergebnisse aus den engmaschigen Bodenkartierungen, Staub- und Erosionsmessungen.

B-04: Waldböden des Oberpfälzer Juras, Waldwachstum, Bio-massenutzung und Umweltmonitoring

C. Kölling¹, H. Pretzsch², R. Moshammer², W. Weis¹, L. Zimmermann¹, A. Schubert1

¹Bayerische Landesanstalt für Wald und Forstwirtschaft, Abt. Boden u. Klima ²Technische Universität München, Lehrstuhl für Waldwachstumskunde

Termin: Samstag 5. September 2015

Treffpunkt: Geschwister-Scholl-Platz, 08:00 Uhr Rückkehr: Geschwister-Scholl-Platz, 18:00 Uhr

Preis: 45,00 €; incl. Lunchpaket

Teilnehmer: 30

Waldböden sind neben dem Klima die Produktionsgrundlage der Forstwirtschaft. Der Oberpfälzer Jura im Raum Weltenburg bietet hervorragendes Anschauungsmaterial für unterschiedlich produktive Waldböden. Das Spektrum reicht von der basenarmen Braunerde über unterschiedlich gründige Böden auf Malmkalk und Alblehm bis zum Spitzenstandort auf einem Kolluvium. So unterschiedlich die Standorte, so verschieden sind die Freiheitsgrade für die forstliche Nutzung und die Anfälligkeit für Umweltveränderungen. Beide Themen werden an konkreten Forschungs- und Monitoringstandorten angesprochen. Am Schluss der Exkursion steht als landschaftliches und kulturelles Glanzlicht der Donaudurchbruch bei Kloster Weltenburg.

C-01: Waldböden des Bayerischen Tertiärhügellandes, Standortsinformationssystem und Umweltmonitoring

Carsten Lorz¹, Christian Kölling², A. Schubert²

¹Hochschule Weihenstephan-Triesdorf, Fakultät für Wald- und Forstwirtschaft

 $^{\rm 2}$ Bayerische Landesanstalt für Wald und Forstwirtschaft, Abt. Boden und Klima

Termin: Sonntag 6. September 2015

Treffpunkt: Geschwister-Scholl-Platz, 08:00 Uhr Rückkehr: Geschwister-Scholl-Platz, 17:00 Uhr

Preis: 50,00 €; incl. Lunchpaket

Teilnehmer: 30

Die Exkursion führt in das südliche Bayrische Tertiärhügelland. Im ersten Teil wird eine typische Catena des Gebietes anhand von ausgesuchten Profilen vorgestellt und insbesondere landschaftsbezogene Bodengenese und standortskundliche Bewertung diskutiert. Die Boden- und Standortverhältnisse sind durch das Auftreten gegensätzlicher Ausgangsgesteine und die Ausbildung von Staunässe in muldenförmigen Tiefenlinien, Verebnungen und Unterhängen stark reliefbestimmt. Im zweiten Teil wird das Bayerische Standortsinformationsystem und die Waldklimastation Freising vorgestellt, an der die Bayerische Landesanstalt für Wald und Forstwirtschaft seit Anfang der 1990er Jahre ein umfassendes Monitoring von Waldökosystemen durchführt.

C-02: Löss und Paläoböden in Bobingen – Eine geochemische Reise in die letzte Eiszeit

Roland Zech¹, Christoph Mayr², Gerhard Doppler³

- ¹ Geographisches Institut, Universität Bern
- ² Institut für Geographie, Friedrich Alexander-Universität Erlangen-Nürnberg

³ Bayerisches Landesamt für Umwelt

Termin: Sonntag 6.September 2015

Treffpunkt: Geschwister-Scholl-Platz, 08:00 Uhr Rückkehr: Geschwister-Scholl-Platz, 17:00 Uhr

Preis: 70,00 €; incl. Mittagessen

Teilnehmer: 30

Es werden die Löss-Paläoböden in Bobingen besucht. Ein besonderer Schwerpunkt ist, mittels innovativer geo-chemischer Methoden quantitative Vegetations- und Klimainformationen zu erhalten. Hierzu werden Lipidanalysen vorgestellt, einerseits GDGTs (Glycerol Dialkyl Glycerol Tetraether), also Membranbestandteile von Bodenbakterien, andererseits langkettige n-Alkane und Fettsäuren, also Blattwachse, die als Biomarker für Bäume und Gräser fungieren. An den Blattwachsen kann dank neuer technischer Entwicklungen komponenten-spezifische Isotopenanalytik durchgeführt werden (Deuterium und 14C). Darüber hinaus soll auch ein glazial-geographischer Überblick vermittelt werden, wobei während der Anfahrt an zwei Standorten auf der Würm- und Rißmoräne die unterschiedlich fortgeschrittene Bodenentwicklung diskutiert werden soll. Außerdem werden 10Be-Daten vorgestellt, um zu demonstrieren in wie weit mit sogenannten kosmogenen Nukliden verlässliche numerische Alter glazialer Sedimente ermittelt werden können.

C-03: Genese, Eigenschaften und ökologische Bedeutung von Unterwasserböden – die Moosach in der Münchner Schotter¬ebene

Karl Auerswald¹, Jürgen Geist²

¹ Lehrstuhl für Grünlandlehre, Technische Universität München

² Lehrstuhl für Aquatische Systembiologie, Technische Universität München

Termin: Sonntag 6. September 2015
Treffpunkt: Hauptbahnhof, 08:30 Uhr
Rückkehr: Hauptbahnhof, 16:00 Uhr
Preis: 30,00 € mit Mittagessen

Teilnehmer: 30

Fließgewässerböden werden bodenkundlich kaum bearbeitet, obwohl sie – trotz ihres flächenmäßig unbedeutenden Anteils – im Naturhaushalt eine außerordentlich wichtige Rolle spielen, da die gesamte Entwässerung einer Landschaft mit Ausnahme des Direktabflusses durch dieses schmale Band erfolgt. Der Porenraum der Fließgewässerböden, das Interstitial, stellt gleichzeitig einen wichtigen Lebensraum für viele Arten dar. Die funktionellen Eigenschaften des Interstitials sind darüber hinaus auch für die Biozönose des Freiwassers als Nahrungs- und Rekrutierungsreservoir bedeutend. Der Verlust von Funktionen der Unterwasserböden hätte daher vermutlich weitaus größere Bedeutung für den Naturhaushalt als der jeder anderen Gruppe von Böden. Das Exkursionsobjekt, die Moosach, ist ein stark anthropogen überprägtes Gewässer mit unterschiedlich gestalteten Nebenarmen, an der sich die Vielfalt der Unterwasserböden, ihre Funktionen, ihre Gefährdungen und mögliche Restaurierungsmaßnahmen auf engem Raum demonstrieren lassen.

D-01: Klimarelevanz von Hoch¬mooren am Alpenrand: Standort, Vegetation, Nutzung und Treibhausgasemissionen der ICOS-Standorte Mooseurach bei Königsdorf und Schechen¬filze bei Seeshaupt

Matthias Drösler¹, Jörg Eberl¹, Shomnath Adhikari¹, Janina Hommeltenberg², Hans Peter Schmid², Niko Rosskopf ³

¹ Hochschule Weihenstephan-Triesdorf

2 KI

³ Humboldt Unversität Berlin

Termin: Donnerstag 10. September 2015
Treffpunkt: Geschwister-Scholl-Platz, 8:00 Uhr
Rückkehr: Geschwister-Scholl-Platz, 18:00 Uhr

Preis: 65,00 €; incl. Lunchpaket

Teilnehmer: 40

Die Moorgebiete Mooseurach und Schechenfilze südlich des Starnberger Sees entstanden postglazial unter vergleichbaren Bedingungen. Das Schechenfilz ist ein weitgehend naturnahes Hochmoor mit Torfmächtigkeiten bis zu 6 m. Kleine Spirkenwäldchen (Pinus rotundata) und bunte Torfmoosrasen dominieren die Vegetation. Kleine Teilflächen wurden ehemals abgetorft und sind seit mehr als 10 Jahren renaturiert. Rezente Torbildung findet statt. Die Moorflächen in Mooseurach wurden seit Anfang des 20 Jahrhunderts landwirtschaftlich genutzt und vor ca. 50 Jahren mit Fichten und Kiefern aufgeforstet. Hier sind Drainagen weiterhin aktiv. Teilflächen sind aber mit verschiedenen Varianten renaturiert worden. Die Torfmächtigkeiten liegen bei 3-4 m. Entlang dieses für voralpine Hochmoore repräsentativen Nutzungsgradienten werden vier Bodenstandorte stratigraphisch vorgestellt und im Detail erläutert. Vor dem Hintergrund der Nutzungsgeschichte, der Nutzungsoptionen, der aktuellen Vegetation und der Klimarelevanz werden Management-Optionen diskutiert. Beide Moorgebiete sind Teil des TI-Projektes organische Böden und des ICOS-Programms (Integrated Carbon Observation System) und werden seit 2007 bzw. 2010 hinsichtlich des Spurengasaustausches erforscht. Gummistiefel sind erforderlich.

D-02: Raummuster (hoch-)alpiner Standorte als Resultat landschaftsdynamischer Prozesse

K.-F. Wetzel¹, P. Fiener¹, S. Grashey-Jansen¹, M. Heel¹, O. Sass²

¹ Institut für Geographie, Universität Augsburg

² Institut für Geographie und Raumforschung, Universität Graz

Termin: Donnerstag 10. September 2015
Treffpunkt: Geschwister-Scholl-Platz, 8:00 Uhr
Rückkehr: Geschwister-Scholl-Platz, 18:00 Uhr

Preis: 60,00 €; incl. Seilbahn (ohne Mittagessen im Karwendelhaus)

Teilnehmer: 30

Achtung: Die Exkursion führt ins Hochgebirge. Geeignetes Schuhwerk, wetterfeste Kleidung und hinreichende körperliche Eignung (Trittsicherheit, Kondition) sind unabdingbar. Wegen der besonderen Verantwortung und der rechtlichen Situation im Gebirge können die Exkursionsführer Teilnehmer, deren Ausrüstung oder körperliche Verfassung ungeeignet erscheinen, noch zu Beginn der Exkursion zurück lassen.

Waldbrände spielen in den Nördlichen Kalkalpin eine bislang deutlich unterschätze Rolle auch hinsichtlich der lokalen Bodenentwicklung. Ein Schwerpunkt des Waldbrandgeschehens im Raum Mittenwald / Scharnitz wird im Rahmen der Exkursion besucht. Ein weiterer häufig unterschätzter Faktor bei der Bodenbildung sind stoffliche Einträge von außen. So befinden sich auf hochgelegenen alpinen Karstlandschaften lokal verbraunte Böden mit einem deutlichen Silikatgehalt, der nur durch allochthone äolische Einträge erklärbar ist, wie am Beispiel des Karwendelgebirges gezeigt wird.

D-03: Böden und Landschaft auf tertiären Sedimenten der Schwäbischen Alb und Oberschwabens zwischen Ulm und Riedlingen

Peter Schad¹, Ludger Herrmann²

- ¹ Lehrstuhl für Bodenkunde, Technische Universität München
- ² Institut für Bodenkunde und Standortslehre, Universität Hohenheim

Termin: Donnerstag 10. September 2015
Treffpunkt: Geschwister-Scholl-Platz, 8:00 Uhr
Rückkehr: Geschwister-Scholl-Platz, 20:00 Uhr

Preis: 80,00 €; incl. Lunchpaket

Teilnehmer: 35

Die Exkursion führt auf Molassestandorte des südöstlichen Baden-Württemberg. Das Geotop "Erminger Turritellenplatte" ist eine Strandablagerung der Oberen Süßwassermolasse mit einer Massenanhäufung fossiler Gehäuse der Turmschnecke Turritella turris. Die Kiesgrube Eggingen zeigt einen Aufschluss der Graupensandrinne mit noch wenig fortgeschrittener rezenter Bodenentwicklung (Braunerde-Regosol) mit reliktischen Gleymerkmalen mit lateritähnlichem Raseneisenerz im Unterboden. Beim Jägerhof nahe Ehingen sehen wir einen Humuspelosol aus Mergeln, eine Braunerde-Rendzina aus Kalken sowie einen (Quellen) Kalkgley aus mehrfach geschichteten Hangsedimenten. Letzterer gehört zu einer Karstlandschaft, die auf der in geringer Tiefe anstehenden Malmkalke beruht. Eine kleine Wanderung zeigt den Wechsel von Versickerungsstellen und Quellgebieten mit Niedermooren und Anmoorgleyen. Der 787 m hohen Bussen schließlich ist durch einen Kalkhärtling vor Abtragung geschützt. An seinem Fuße finden wir einen vielfach geschichteten vergleyten Braunerde-Pseudogley, der im Unterboden Mergeltone der Brackwassermolasse aufweist. Weiter oben am Hang steht eine Normpararendzina an. Ein Ausblick vom Bussen, der bei schönem Wetter das Panorama vom Ulmer Münster bis zu den schweizerischen Alpen eröffnet, beschließt die Exkursion. Alle Böden werden nach der deutschen Systematik und nach der WRB angesprochen.

D-04: Musterstücke der Bodenschätzung bei München

Christoph Hirsch

Bayerisches Landesamt für Steuern, München

Termin: Donnerstag 10. September 2015
Treffpunkt: Geschwister-Scholl-Platz, 8:00 Uhr
Rückkehr: Geschwister-Scholl-Platz, 18:00 Uhr

Preis: 65,00 €; incl. Mittagessen

Teilnehmer: 40

Die Musterstücke der Bodenschätzung geben einen repräsentativen Überblick über den Formenreichtum der Böden einer Region. Sie sind fixe Referenzpunkte zur Einwertung aller Böden nach ihrer Ertragsfähigkeit. Bei der Exkursion werden Musterstücke mit Bodenzahlen zwischen 45 und 74 präsentiert. Die eintägige Exkursion führt von München aus in nordöstlicher Richtung. Es werden Profile am Rande der Münchner Schotterebene, im Erdinger Moos und auch im Bereich der Altmoränen des Inngletschers gezeigt.

D-05: Meteoric crater of "Nördlinger Ries"

Karl Stahr¹, Reinhard Böcker¹, Reinhard Jochum²

¹ Institute of Soil Science and Land evaluation, Hohenheim University

² Geological Survey of Bavaria

Date: Donnerstag 10. September 2015

Venue: Geschwister-Scholl-Platz, 8:00 Uhr

Return: Geschwister-Scholl-Platz, 20:45 Uhr

Price: 90,00 €; incl. two meals and entrance to the Ries museum

Participants: 40

Attention: This field trip is identical to B-01 but will be given in English. This field trip will only take place if enough participants register for B-01 and D-05.

The Ries meteoric crater is a unique geological formation in central Europe. Twenty-five million years ago a meteor with 1 km diameter hit the area and came through until the basement. Today the rock Suevite and the plateau of the Ries with its Neogene lake sediments as well as clays and limestones still document this event and the following periods. Especially the Pelosols or Vertisols formed from clays of the former Ries lake are interesting pedologic phenomena. At the edge of the Ries lake, fresh water or brackish water limestone reefs have been built up. At many places they form the present morphological rim of the basin. Since the stone age, the Ries was settled by humans. Various documents of these are preserved until today. The landform, the rocks, the soils, the ecology and the history will be demonstrated. Local products will be tested as well.

E-01: Experimenteller Trockenstress in einem Buchen-Fichten-Mischbestand

Karl-Heinz Häberle¹, Thomas Rötzer², Karin Pritsch³, Rainer Matyssek¹

- ¹ Lehrstuhl für Ökophysiologie der Pflanzen, Technische Universität München
- ² Lehrstuhl für Waldwachstumskunde, Technische Universität München
- ³ Institut für Bodenökologie, Helmholtz-Zentrum München

Termin: Samstag 5. September 2015

Treffpunkt: Geschwister-Scholl-Platz, 12:00 Uhr Rückkehr: Geschwister-Scholl-Platz, 18:00 Uhr

Preis: 20,00 €; ohne Mahlzeiten

Teilnehmer: 25

Kollaps des Wasserleitungssystems oder Kohlenstoffauszehrung – wo liegt die Achillesferse der wichtigsten Waldbaumarten? Findet bei Trockenheit eine Umverteilung der Bodenwasservorräte zugunsten der Buche statt? Vorgestellt wird eine für diese Fragestellung vollausgerüstete Versuchsfläche mit einem beweglichen Dachsystem, um Parzellen zeitweise vom Niederschlag auszuschließen, und einem Kran für den Kronenzugang. Die Auswirkungen der Trockenheit auf die Boden-Pflanze-Interaktion werden erläutert und Konsequenzen für die Bewirtschaftung von Mischwäldern diskutiert.

E-02: Boden- und Pflanzensensorik sowie Trockenstressversuche auf Ackerflächen im Tertiärhügelland nördlich von München

Kurt Heil, Pablo Rischbeck, Sebastian Kipp, Sabine von Tucher, Urs Schmidhalter Lehrstuhl für Pflanzenernährung, Technische Universität München

Termin: Samstag 5. September 2015

Treffpunkt: Geschwister-Scholl-Platz, 12:00 Uhr Rückkehr: Geschwister-Scholl-Platz, 18:00 Uhr

Preis: 20,00 €
Teilnehmer: 25

Der Schwerpunkt der Untersuchungen auf dem Versuchsgut Dürnast umfasst die sensorische Erfassung von Pflanzen (z.B. Biomasse, N-Gehalt, N-Aufnahme) sowie von Böden (Textur, Feuchte), die Entwicklung von Düngestrategien und Versuche zu Trocken-/Salzstress. Im Rahmen der Exkursion werden Instrumentierung, Mess- und Auswertemethoden von Sensordaten dargestellt. Die Sensoren umfassen reflexionsoptische und geophysikalische Geräte. Ihr Einsatz im Rahmen von Feldversuchen (Bodenheterogenität als Kovariate zur Erklärung von Erträgen), zur Detektion von toleranteren Früchten gegenüber Trockenstress und zur Ermittlung des N-Bedarfs von landwirtschaftlichen Kulturen werden vorgestellt.

F-01: TERENO-Forschungsstation Scheyern: Erfassung der Klimaänderung und ihrer Wirkung auf Interaktionen zwischen Agrarökosystemen und Atmosphäre

Eckart Priesack
Helmholtz Zentrum München, 85764 Neuherberg

Termin: Sonntag 6. September 2015

Treffpunkt: Geschwister-Scholl-Platz, 12:00 Uhr Rückkehr: Geschwister-Scholl-Platz, 17:00 Uhr

Preis: 20,00 €
Teilnehmer: 40

Die TERENO Forschungsstation Klostergut Scheyern ist Teil des Observatoriums Bayerische Alpen/Voralpenland. Der Schwerpunkt der Untersuchungen ist die Erfassung möglicher Auswirkungen eines sich verändernden Klimas auf Agrarökosysteme. Ziel der Exkursion ist es, einen Überblick zu geben über die Instrumentierung, die Messmethoden und erste Ergebnisse. Ausführlich gezeigt werden die Anlagen zur Erfassung von Spurengasflüssen, der Bodenfeuchtedynamik und des Wasser- und Stofftransports in Bodenmonolithen.

F-02: Landwirtschaftliche Dauerversuche auf lösslehmbedeckter Altmoräne bei Fürstenfeldbruck

Robert Brandhuber, Roswitha Walter, Robert Beck Bayerische Landesanstalt für Landwirtschaft (LfL)

Termin: Sonntag 6. September 2015
Treffpunkt: Hauptbahnhof, 12:00 Uhr
Rückkehr: Hauptbahnhof, 16:30 Uhr

Preis: 10,00 €
Teilnehmer: 30

Auf der LfL-Versuchsstation Puch bei Fürstenfeldbruck werden landwirtschaftliche Dauerversuche zu Fruchtfolge und Bodenbearbeitung mit Blick auf Bodengefüge, organischen Kohlenstoff und Regenwurmvorkommen sowie ein Bodenprofil (Braunerde aus Lösslehm über Altmoräne) gezeigt.

G-01: Boden- und Pflanzensensorik sowie Trockenstressversuche auf Ackerflächen im Tertiärhügelland nördlich von München

Kurt Heil, Pablo Rischbeck, Sebastian Kipp, Sabine von Tucher, Urs Schmidhalter Lehrstuhl für Pflanzenernährung, Technische Universität München

Termin: Donnerstag 10. September 2015

Treffpunkt: Hauptbahnhof, 9:00 Uhr Rückkehr: Hauptbahnhof, 13:00 Uhr Preis: 20.00 €: ohne Mahlzeiten

Teilnehmer: 30

Achtung: Diese Exkursion ist identisch mit E-02.

Der Schwerpunkt der Untersuchungen auf dem Versuchsgut Dürnast umfasst die sensorische Erfassung von Pflanzen (z.B. Biomasse, N-Gehalt, N-Aufnahme) und Böden (Textur, Feuchte), die Entwicklung von Düngestrategien und Versuche zu Trocken-/Salzstress. Im Rahmen der Exkursion werden Instrumentierung, Mess- und Auswertemethoden von Sensordaten dargestellt. Die Sensoren umfassen reflexionsoptische und geophysikalische Geräte. Ihr Einsatz im Rahmen von Feldversuchen (Bodenheterogenität als Kovariate zur Erklärung von Erträgen), zur Detektion von toleranteren Früchten gegenüber Trockenstress und zur Ermittlung des N-Bedarfs von landwirtschaftlichen Kulturen werden vorgestellt.

Anmeldung zur DBG 2015

Anmeldung zur DBG-Tagung und den Exkursionen in München 2015

Die Anmeldung ist zu richten an:

Deutsche Bodenkundliche Gesellschaft Am Bärenberg 70 D-37077 Göttingen Fax: +49-551-221 54, E-Mail: dbg@dbges.de

-ax: +49-551-221 54, E-Maii: dbg@dbges.c Tel.: +49-551-500 80 235

Name:				
Vorname:				
DBG-Mitgliedsnummer:				
Adresse dienstlich:				
oder Adresse privat:				
Telefon:				
Fax:				
E-Mail:				
Bitte für jeden Teilnehmer eine ausgenommen)!	gesonderte Anmeldung ausfüllen (Begleitperson für den festlichen Abend			
	llich zur Teilnahme an der Jahrestagung der DBG in München und zu den von mir id Veranstaltungen (s. folgende Seite) an.			
Die Tagungs-/Exkursions- u	Anmeldeschluss ist der 15. Juli 2015 I. Veranstaltungsgebühren überweise ich auf das Konto der DBG:			
	Bank: Volksbank Göttingen e.G. BLZ: 260 900 50 Konto-Nr.: 300 303 502 BIC/SWIFT: GENODEF1GOE IBAN: DE35260900500300303502			
Bitte beachten: Abbuchungen auf Grund erteilter Abbuchungsermächtigungen können für die Tagungs- u. Exkursionsbeiträge nicht vorgenommen werden. Anmeldungen werden erst nach Eingang der Zahlungen auf dem Tagungskonto bearbeitet und gelten ab dann als verbindlich. Bitte auf den Überweisungen deshalb unbedingt die Mittgliedsnummer angeben.				
lch wünsche Kind	derbetreuung: JA NEIN			

Anmeldung zur DBG 2015

Veranstaltung	Preis (€)	Bestätigung
Tagungsbeitrag DBG Mitglied	105,00	
Tagungsbeitrag Nicht-Mitglieder	150,00	
Tageskarte je Teilnahme (Datum eintragen)	55,00	
Begrüßungsabend Luisenstr. 37	-	
Bayerischer Abend mit ,Stoabergmusi' im ,Maximilianeum', Bayer.Landtag, Max-Planck-Str. 1	50,00	
acatech-Veranstaltung im Deutschen Museum, Eröffnung der 'Bodenausstellung'	frei	

Exkursionen

Nr.	Datum	Bezeichnung (Anzahl*)	€	Bestät.
A-01	02.09 bis 06.09	Böden und Landschaften am Großglockner (15)*	450,00	
A-02	04.09. bis 05.09.	Boden-, Standorts- und Vegetationsentwicklung der sub-alpinen und montanen Stufe im Wetterstein- und Ammergebirge (15)*	50,00	
B-01	05.09.	Der Meteoritenkrater "Nördlinger Ries" (40)	90,00	
B-02	05.09.	Hopfenland Hallertau: Hopfenanbau - Böden - Erosionsschutz (40) *	40,00	
B-03	05.09.	Karstmorphologie und Bodengenese am Unters- bergplateau (20) *	85,00	
B-04	05.09.	Waldböden des Oberpfälzer Juras, Waldwachstum, Biomassenutzung und Umweltmonitoring (30)	45,00	
C-01	06.09.	Waldböden des Bayerischen Tertiärhügellandes, Standortsinformationssystem und Umweltmonitoring (30)	50,00	
C-02	06.09.	Löss und Paläoböden in Bobingen – Eine geochemische Reise in die letzte Eiszeit (30) *	70,00	
C-03	06.09.	Genese, Eigenschaften und ökologische Bedeutung von Unterwasserböden – die Moosach in der Münchner Schotterebene (30)	30,00	
D-01	10.09.	Klimarelevanz von Hochmooren am Alpenrand: Standort, Vegetation, Nutzung und Treibhaus- gasemissionen der ICOS-Standorte Mooseurach bei Königsdorf und Schechenfilze bei Seeshaupt (40)	65,00	
D-02	10.09.	Raummuster (hoch-)alpiner Standorte als Resultat landschaftsdynamischer Prozesse (30) *	60,00	
D-03	10.09.	Böden und Landschaft auf tertiären Sedimenten der Schwäbischen Alb und Oberschwabens zwischen Ulm und Riedlingen (35)	80,00	
D-04	10.09.	Musterstücke der Bodenschätzung bei München (40)*	65,00	

Anmeldung zur DBG 2015

Nr.	Datum	Bezeichnung (Anzahl*)	€	Bestät.
D-05	10.09.	Meteoric crater of "Nördlinger Ries" (40) *	90,00	
E-01	05.09.	Experimenteller Trockenstress in einem Buchen- Fichten-Mischbestand (25)	20,00	
E-02	05.09.	Boden- und Pflanzensensorik sowie Trockenstressversuche auf Ackerflächen im Tertiärhügellandnördlich von München (25)	20,00	
F-01	06.09.	TERENO-Forschungsstation Scheyern: Erfassung der Klimaänderung und ihrer Wirkung auf Interaktionen zwischen Agrarökosystemen und Atmosphäre (40)	20,00	
F-02	06.09.	Landwirtschaftliche Dauerversuche auf lösslehmbedeckter Altmoräne bei Fürstenfeldbruck (30) *	10,00	
G-01	10.09.	Boden- und Pflanzensensorik sowie Trockenstressversuche auf Ackerflächen im Tertiärhügelland nördlich von München (30)	20,00	
		Gesamtkosten in Euro:		

^{*} Maximal mögliche Teilnehmerzahl

Wunsch nach einem vegetarischen Gericht bitte mit "V" hinter dem Exkursionsbeitrag ausdrücken.

Notizen

Sponsoren und Unterstützer der DBG Tagung München 2015



















Boden





Umwelt-Geräte-Technik GmbH (UGT)

Eberswalder Straße 58 15374 Müncheberg

UMS Umweltanalytische Meß-Systeme GmbH

Gmunder Strasse 37 81379 München

ecoTech Umwelt-Meßsysteme GmbH

Nikolausstr. 7 53129 Bonn

Bayerischer Bauernverband

Körperschaft des öffentlichen Rechts

80333 München

E. Schweizerbart'sche Verlagsbuchhandlung

Tiergartenstr. 17 69121 Heidelberg

UP Umweltanalytische Produkte GmbH

Taubenstr. 4 03046 Cottbus

STMS Books Wiley-VCH Verlag GmbH & Co. KGaAScience Publishers

Boschstr. 12 69469 Weinheim

Düngekalk-Hauptgemeinschaft

Annastr. 67–71 50968 Köln

Bundesverband Boden e.V.

Unter den Gärten 2 49152 Bad Essen

Ingenieurtechnischer Verband für Altlastenmanagement und Flächenrecycling e.V. (ITVA)

Invalidenstraße 34 10115 Berlin

Französische Botschaft in Berlin

Pariser Platz 5 10117 Berlin

ECOMATIK

Münchner Str. 22 85221 Dachau Germany

Impressum

Herausgeber und verantwortlich für den redaktionellen Inhalt

Deutsche Bodenkundliche Gesellschaft (DBG) Dr. Christian Ahl Am Bärenberg 70 D-37077 Göttingen

Konzeption, Redaktion und Gestaltung

vokativ GmbH Nikolaistraße 29, D-37073 Göttingen info@vokativ.de, www.vokativ.de

Bildnachweis / Copyright

Titelgestaltung: vokativ GmbH, Göttingen,

Foto Titel: Diego Delso, Wikimedia Commons, CC-BY-SA U3: Diego Delso, Wikimedia Commons, CC-BY-SA Kartenausschnitt: © OpenStreetMap-Mitwirkende

Alle Nutzungsrechte, auch für Abbildungen, Vervielfältigungen jeder Art, Vortrag, Funk, Tonträger- und Fernsehsendungen sowie Speicherung in Datenverarbeitungsanlagen, auch auszugsweise, liegen bei der Deutschen Bodenkundlichen Gesellschaft (DBG).

Für Programmänderungen, Umbesetzungen von Referenten und Verschiebungen oder für Ausfälle von Veranstaltungen kann vom Herausgeber, Organisator und der Redaktion keine Verantwortung übernommen werden.